

**МИНИСТЕРСТВО ОБРАЗОВАНИЯ И НАУКИ
РОССИЙСКОЙ ФЕДЕРАЦИИ**

Московский авиационный институт
(национальный исследовательский университет)

На правах рукописи

УДК 539.3



ДАНГ КУАНГ ЗАНГ

**НЕСТАЦИОНАРНЫЕ ОСЕСИММЕТРИЧНЫЕ ВОЛНЫ В УПРУГО-
ПОРИСТОМ ПОЛУПРОСТРАНСТВЕ**

01.02.04 – механика деформируемого твердого тела

Диссертация на соискание ученой степени
кандидата физико-математических наук

Научный руководитель

Профессор, д.ф.-м.н. Тарлаковский Д.В.

Москва 2014

Оглавление

Введение	4
Глава 1. Постановка задачи о распространении нестационарных осесимметричных волн в упруго-пористом полупространстве	10
§ 1.1. Современное состояние исследований.....	10
§ 1.2. Уравнения осесимметричного движения среды Био в цилиндрической системе координат.....	19
§ 1.3. Дополнительные условия и интегральные представления решений.....	23
Глава 2. Полупространство под действием кинематических возмущений (граничные условия первой группы)	32
§ 2.1. Изображения перемещений и напряжений	32
§ 2.2. Изображения функций влияния первой подгруппы.....	34
§ 2.3. Изображения функций влияния второй подгруппы.....	36
§ 2.4. Изображения функций влияния третьей подгруппы.....	38
§ 2.5. Оригиналы функций влияния первой группы.....	41
§ 2.6. Примеры расчетов.....	53
Глава 3. Полупространство под действием силовых возмущений (граничные условия второй группы)	56
§ 3.1. Изображения функций влияния первой подгруппы	56
§ 3.2. Изображения функций влияния второй подгруппы.....	58
§ 3.3. Изображения функций влияния третьей подгруппы.....	61
§ 3.4. Оригиналы функций влияния второй группы.....	63
§ 3.4. Пример расчетов.....	73
Глава 4. Полупространство под действием смешанных возмущений (граничные условия третьей группы)	75
§ 4.1. Изображения функций влияния первой подгруппы.....	75
§ 4.2. Изображения функций влияния второй подгруппы.....	77

§ 4.3. Изображения функций влияния третьей подгруппы.....	79
§ 4.4. Оригиналы функций влияния третьей группы.....	81
§ 4.5. Примеры расчетов	87
Глава 5. Полупространство под действием смешанных возмущений (граничные условия четвертой группы).....	91
§ 5.1. Изображения функций влияния первой подгруппы.....	91
§ 5.2. Изображения функций влияния второй подгруппы.....	93
§ 5.3. Изображения функций влияния третьей подгруппы.....	95
§ 5.4. Оригиналы функций влияния третьей группы.....	97
§ 5.5. Примеры расчетов	101
Заключение	105
Список использованной литературы.....	106

Введение

Математическое моделирование многокомпонентных континуумов типа пористых насыщенных жидкостью сред началось более 100 лет тому назад с исследований процесса консолидации грунтов. Многокомпонентность необходимо учитывать при решении значительного числа прикладных задач, возникающих в различных областях человеческой деятельности. Особенно часто возникает потребность исследования нестационарных процессов в насыщенных средах на основе модели двухкомпонентной среды.

Теоретические модели многокомпонентных сред разрабатывались Флориным В.А. [68], Френкелем Я.И. [69], Вио М.А. [8], Рахматулиным Х.А. [50], Рахматулиным Х.А., Соатовым Я.У., Филипповым И.Г., Артыковым Т.У. [51], Ляховым Г.М. [36,37], Ляховым Г.М. Поляковой И.И. [38], Эйслером Л.А. [73], Николаевским В.Н. [44], Николаевским В.Н., Баскиевым К.С., Горбуновым А.Т., Зотовым Т.А. [45], Михайловым Д.Н., Николаевским В.Н. [42], Егоровым А.Г., Зайцевым А.Н., Костериним А.В., Скворцовым Э.В. [30], Егоровым А.Г., Костериним А.В. [31], Егоровым А.Г., Костериним А.В., Скворцовым Э.В. [32], Сагомояном А.Я., Поручиковым В.Б. [54], Сагомояном А.Я. [55] и др.

Вопросы о распространении волн в упруго-пористых средах рассматривали Вио М.А. [8], Игумнов Л.А., Баженов [6], Berryman James G., Thigpen Lewis, Chin Raymond C.Y. [75], Трофимчук А.Н. [60,61], Трофимчук А.Н., Гомилко А.М., Савицкий О.А. [54], Гафурбаева С.М., Наримов Ш.Н [5,6], Van der Kogel H. [88], Zhang Wenfei [91], Цвинкер К., Костен К. [70], Филиппов А.Ф. [67], Gajo A., Mongiovi L. [82], Kumar R., Miglani A., Garg N. R. [83], Quiroga-Goode G., Carcione J.M. [86], Абдуллаев С.А., Соатов Я.У.

[1], Балыева А.В. [5], Дмитриев В.Л. [28], Aramaki Gunji., Yasuhara Kazuya [74], Diebels S., Ehlers W. [79], Dziecielski R. [80], Горшков А.Г., Тарлаковский Д.В., Салиев А.А. [13], Михайлов Д.Н., Николаевский В.Н. [42], Саатов Я.У., Наримов Ш.Н., Кудратов О. [52,53] и др.

К настоящему времени в этой области достигнуты большие успехи. Однако остаются нерешенными ещё много проблем, среди которых, прежде всего, нестационарные задачи о взаимодействии деформируемых тел с грунтами, упругими и многокомпонентными средами. Части из этих вопросов и посвящена диссертация.

Целью работы являются постановка задач о распространении осесимметричных нестационарных волн в упруго-пористом полупространстве и построение их аналитических решений.

Актуальность темы исследования. В настоящее время нестационарные задачи для упруго-пористой среды мало исследованы. Имеется ряд работ посвященных плоским задачам и их численно-аналитическим решениям. В то же время аналитические исследования нестационарных осесимметричных задач практически отсутствуют.

Актуальность этих задач продиктована насущными запросами практики (откачка подземных вод, нефти и газа, строительство земляных плотин, дамб и земляных сооружений, устойчивость откосов, подземное строительство и др.) и необходимостью дальнейшего развития общей теории многокомпонентных сред, включающей вопросы построения математических моделей и обоснования аналитических и численных методов решения конкретных краевых задач.

Таким образом, тема диссертации актуальна не только с фундаментальной, но с практической точки зрения.

Научная новизна диссертационной работы заключается в следующем:

- построены решения новых осесимметричных нестационарных задач о действии на упруго-пористое полупространство нестационарных поверхностных нагрузок;

- впервые построены интегральные представления решений этих задач с ядрами в виде нестационарных поверхностных функций влияния;

- получен явный вид ядер этих представлений.

Практическое значение работы заключается в построении точных решений задач о распространении осесимметричных нестационарных волн в упруго-пористом полупространстве. Они могут быть использованы для оценки точности численных и приближенных решений, а также в различных областях новой техники, в том числе при проектировании объектов ракетно-космических объектов в части прогнозирования процесса их посадки на грунт.

Достоверность и обоснованность полученных результатов подтверждается использованием в постановке задач апробированной модели упруго-пористой среды Био, применением строгого математического аппарата, а также построением решений на основе известных результатов для плоских задач.

Работа состоит из введения, четырех глав, заключения и списка используемой литературы.

В **первой** главе приводится обзор работ в области волновых процессов в упруго-пористых средах. Даны уравнения осесимметричного движения среды Био в цилиндрической системе координат. Рассмотрены все возможные граничные условия на границе полуплоскости и дано их интегральное представление решений с ядрами в виде нестационарных поверхностных функций влияния.

Во **второй** главе диссертации рассмотрено распространение осесимметричных нестационарных волн в упруго-пористом полупространстве под действием поверхностных кинематических возмущений. Построены изображения преобразований Ханкеля и Лапласа функция влияния и с помощью теорем о связи решений плоской и осесимметричной задач получен явный вид их оригиналов. Приведены примеров расчетов, результаты которых продемонстрированы в виде графиков.

В **третьей** главе рассмотрены осесимметричные нестационарные волны в упруго-пористом полупространстве под действием поверхностных силовых возмущений. Найдены изображения тех же преобразований соответствующих функций влияния. При отыскании их оригиналов аналогично второй главе использована связь решений плоской и осесимметричной задачи. Приведены примеры расчетов.

В **четвертой** и **пятой** главах исследованы аналогичные нестационарные задачи для различных вариантов смешанных поверхностных возмущений (заданы все возможные сочетания перемещений и напряжений). Построены изображения соответствующих функций влияния. Показано, что при некоторых граничных условиях их оригиналы могут быть найдены

последовательным обращением преобразований Ханкеля и Лапласа. Приведены примеры расчетов.

В **заключении** сформулированы основные результаты диссертационной работы.

Они обсуждались на

- IX Всероссийской научной конференции «Нелинейные колебания механических систем» (Нижний Новгород, 2012 г.);

- Украинско-Российском научном семинаре «Нестационарные процессы деформирования элементов конструкций, обусловленные воздействием полей различной физической природы» (Львов, 2012 г.);

- IV Всероссийском симпозиуме «Механика композиционных материалов и конструкций», (Москва, ИПРИМ РАН, 2012 г.);

- Московской молодежной научно-практической конференции «Инновация в авиации и космонавтике -2013» (Москва, 2013 г.);

- Ломоносовских чтениях (Москва, МГУ имени М.В. Ломоносова, 2013, 2014 г.);

- XIX и XX Международных симпозиумах «Динамические и технологические проблемы механики конструкций и сплошной сред» им. А.Г. Горшкова (Москва, 2013, 2014 г.г.);

- 2-й Всероссийской научной конференции «Механика наноструктурированных материалов и систем» (Москва, ИПРИМ РАН, 2013 г.).

- Международном научном семинаре «Динамическое деформирование и контактное взаимодействие тонкостенных конструкций при воздействии полей различной физической природы» (Москва, МАИ, 2014)

Глава 1

Постановка задач о распространении нестационарных осесимметричных волн в упруго-пористом полупространстве

1.1. Современное состояние исследований

Динамическому деформированию пористой среды посвящен ряд работ. Среди них важное место занимают работа Био М.А. [8], в которой отражена теория распространения упругих стационарных волн в двухкомпонентной среде, состоящей из упругого скелета и пор, заполненных вязкой сжимаемой жидкостью. При этом открытые поры с внешней поверхностью среды имеют сообщение, а изолированные являются просто элементами твердой части пористого скелета. Изучаются волны при низкочастотных и высокочастотных амплитудах.

В работах Френкеля Я.И [69] и Био М.А. [76,77] рассматривались вопросы отражения волн от свободной границы полупространства двухкомпонентной среды, состоящей из упругой и жидкой компонент (влажная почва, пористые звукопоглощающие материалы, пульпа). Изучены нестационарные упругие волны в бесконечной однородной упругой среде. Пористость понимается как объемная локальная несплошность материальной среды: полость, заключенная в объеме твердой фазы, заполненная газом в результате газовыделения или газопоглощения при литье. Индивидуальные морфологические особенности пор обусловлены их генезисом. Механизм зарождения пор в металлах не гомогенен. Обладая в общем случае произвольной формой и размерами, поры могут быть локализованы как внутри металла, так и на его границах, образуя замкнутые, тупиковые и сквозные поры. Наличие и степень пористости в твердых телах учитывается с

помощью коэффициента пористости, равного отношению объема пор к общему объему, занимаемому среде. Использована математическая теория разрывов. Показано, что в такой среде распространяются две продольные и одна поперечная волны. Получены дифференциальные уравнения, определяющие изменения интенсивности продольных и поперечных волн в процессе их распространения.

В других публикациях исследуется распространение упругих волн в пористых средах. В том числе, Berryman James G., Thigpen Lewis, Chin Raymond C.Y [75] построили теорию распространения упругих волн в частично насыщенных жидкостью пористых средах. Сформулирован вариационный принцип, из которого выводятся уравнения движения для твердой, жидкой и газовой составляющих с учетом их взаимодействия. В предположении, что в низкочастотном приближении изменением капиллярного давления можно пренебречь, эти уравнения упрощаются и принимают форму известных уравнений Био для полностью насыщенных пористых сред. Однако коэффициенты этих уравнений зависят от частоты и значительно сложнее коэффициентов уравнений Био. Приводится подробный анализ их структуры. Затем рассматривается распространение пространственных упругих волн в частично насыщенной пористой среде.

В работе Цвинкера К. и Костена К. [70] рассмотрены вопросы распространения волн сжатия в пористых упруго-твердых телах, содержащих воздух. Исследовано движение воздуха относительно упругой структуры. Показано, что в такой среде имеется две различные скорости, вызванные деформацией упругого скелета и сжатием воздуха.

Распространение волн в насыщенной среде, обусловленное действием подвижных нагрузок, а также движением в ней цилиндрических и сферических тел, изучено в работах Филиппова И.Г., Бахрамова Б.М. [63,64], Соатов Я.У. [58] и Мардонова Б.О. [39].

В работах Трофимчука А.Н. [60,61,62] рассматриваются плоские и осесимметричные нестационарные динамические задачи о вертикальном вдавливании жесткого штампа в гетерогенную насыщенную среду, состоящую из пористой твердой фазы и жидкости, заполняющей поры. Математическое описание такой среды осуществляется в рамках линейной модели Био. Путем совместного решения уравнения Био и уравнения движения жесткого штампа с применением интегральных преобразований Лапласа и Фурье (Ханкеля) получены парные интегральные уравнения относительно искомым контактных напряжений. Исследованы асимптотические решения интегральных уравнений. Показано, что в начале движения напряжения не зависят от пространственной координаты и пропорциональны скорости движения штампа. В осесимметричной задаче при переходе к статике напряжения пропорциональны перемещениям, а по пространственной координате имеют особенность.

В работах Гафурбаева С. М., Наримов Ш.Н. [10,11] приведена постановка и решение задачи об осесимметричном движении насыщенной пористой среды, возникающем при направленном сосредоточенном воздействии, симметрично приложенном относительно оси сферы. При помощи введения потенциальных функций уравнения движения насыщенных пористых сред сводятся к уравнениям, допускающим автомодельные решения. Эти решения анализируются в каждой из областей, возникающих за

фронтами соответствующих упругих волн. Компоненты тензора напряжений и давления в жидкости определяются соотношениями, удобными для исследования напряженного состояния насыщенных пористых сред, а также для определения динамических и кинематических характеристик на фронте разрушения, распространяющемся с постоянной скоростью за фронтом упругой волны.

Абдуллаев С.А. и Соатов А.С. [1] с использованием системы уравнений динамики насыщенных жидкостью упруго-пористых сред в форме М. Био построили аналитическое решение для дельтаобразной нормальной нагрузки, движущейся с постоянной скоростью по поверхности полупространства.

В статье Балыева А.В. [5] разработан численный метод решения пространственных задач теории упругости и теории фильтрации для среды с полостями и трещинами, а также связанных упругогидродинамических задач о притоке жидкости к трещине в пористой среде (в частности, при гидроразрыве пласта). Метод позволяет решать пространственные задачи теории упругости и сопряженные упругогидродинамические задачи с граничными условиями в форме равенств и неравенств, когда граница, разделяющая области реализации этих условий заранее неизвестна.

В работе Дмитриева В.Л. [28] проведено исследование волновых процессов в насыщенных газом или жидкостью пористых средах с учетом нестационарных сил межфазного взаимодействия и теплообмена. Анализируются особенности распространения и затухания гармонических волн и волн конечной длительности в таких средах. Исследуются процессы отражения и прохождения гармонических волн через границу раздела

однородной и пористой сред для случаев "закрытых" и "открытых" границ пористой среды.

В работах Филиппова И.Г., Бахрамова Б.М. [63,64,66] изучено влияние движения свободной воды в грунте через пористый упругий скелет на напряженно-деформированное состояние грунтового массива. Здесь учтены силовые воздействия фильтрационного потока жидкости на пористый скелет.

В работах Рахматулина Х.А., Соатова Я.У., Филиппова И.Г., Артыкова Т.У. [51], Соатова Я.У., Наримова Ш.Н., Кудратова О. [52,53], Соатова Я.У. [58] проведены расчеты сейсмических характеристик тонкослоистых двухкомпонентных сред. Исследовано распространение нестационарных сейсмических волн в водонасыщенных слоях грунта конечной толщины и установлено, что наличие насыщенного слоя между упругими однокомпонентными средами приводит к уменьшению амплитуды преломленных волн.

В статьях Малкова М.А.[41] и Чебана В.Г. [71] исследованы процессы динамического соударения двух полос из линейного упруго-однородного материала, а также удара четверти упругого пространства о неподвижную преграду. Решение соответствующих краевых задач для системы волновых уравнений получено относительно функций объемного расширения и вращения.

В статьях Нгуен Нгок Хоа, Тарлаковского Д.В. [46-48] дана постановка и проведены аналитические исследования задач о действии нестационарной поверхностной нагрузки на упруго-пористую полуплоскость, движение

которой описывается моделью Био, в том числе построены соответствующие нестационарные поверхностные функции влияния.

Yew C.H., Jogi P.N., Cray K.E [89,90] привели результаты глубинных измерений скоростей распространения продольных и поперечных волн в средах с пустыми порами, на основании которых вычислены механические параметры двухкомпонентной модели Био-Френкеля. Анализ волновых явлений в двухкомпонентных средах при сильных и слабых возмущениях проведен в статье Клеймана Я.З. [35].

В работах Партона В.З [49]., Джонса Д.Р [29]., Шехтера О.Я. [72]., Соатова Я.У.[58], Мардонова Б.О. [39] и Мардонова Б.О., Ибраимова О. [40] рассмотрены одномерные (плоские, цилиндрические и сферические) задачи о распространении слабых волн в водонасыщенных грунтах. В случае невязкого заполнителя расчетным путем показано, что сжатие (растяжение) упругого скелета в основном происходит на фронте продольной волны первого типа, а величина давления жидкости определяется силой взаимодействия между фазами. При этом максимальное значение порового давления достигается на фронте продольной волны второго типа.

В работах Филиппова И.Г., Бахрамова Б.М. [63,64], Филиппова И.Г., Чебана В.Г. [65], Филиппова И.Г. [66] и Chosch`a S.Ch [78] для решения двумерных задач дифракции плоских и цилиндрических упругих волн на различных препятствиях использовался обобщенный метод Вольтерра.

Дифракция плоских упругих волн и волн с круговыми фронтами на прямоугольном недеформируемом плоском теле, совершающем

поступательное движение, исследована в работах Dravinski M., Thau S.A [81], Kraut E.A [85].

В работах Аменицкого А.В., Белова А.А., Игумнова Л.А., Карелина И.С. [2], Аменицкого А.В., Белова А.А., Игумнова Л.А. [3], Аменицкого А.В., Игумнова Л.А., Карелина И.С. [4], Баженова В.Г., Игумнова Л.А. [6], Белова А.А., Игумнова Л.А., Карелина И.С., Литвинчук С.Ю. [7], Игумнова Л.А., Карелина И.С. [33] и Игумнова Л.А., Литвинчук С.Ю., Белова А.А. [34] приведены полученные методами граничных элементов (МГЭ) и граничных интегральных уравнений (ГИУ) результаты исследования процесса распространения нестационарных волн в пороупругих телах.

В работах Zhang`a Wenfei [91] исследование процесса распространения волн в вязкоупругих стратифицированных пористых средах проведено с использованием численным методом моделирования.

В статьях Gajo A., Mongiovi L. [82] проанализировано точное решение задачи о распространении сейсмических волн в пористой водонасыщенной среде, описываемой моделью Био. Решение получено для плоских волн в одномерной постановке. Определены параметры дисперсии волн 1-го и 2-го рода.

Kumar R., Miglani A., Garg N. R. [83,84] исследовали динамическую задачу Лэмба о возбуждении изотропной насыщенной пористой среды. Поведение среды описано теорией пороупругости Био. Для решения задачи использовано преобразование Лапласа-Ханкеля. Получена матрица собственных значений системы. Выполнены численные расчеты динамического отклика среды на внутреннюю точечную нагрузку. Получены

оценки амплитуд смещений и напряжений в ближней и дальней зоне от точки возбуждения.

В статье Quiroga-Goode G., Carcione J. M. [86] рассмотрено три типа источников возбуждения (непроницаемый поршень, жидкий поршень и проницаемый поршень) и три типа граничных условий, соответствующих различной степени перетекания жидкости через границу раздела. Решение соответствующих задач получено в пространстве Фурье-изображений, а переход в пространство оригиналов выполнен численно.

Aramaki Gunji, Yasuhara Kazuya [74] рассмотрели консолидацию пористой среды в осесимметричном теле согласно теории линейной консолидации Био. Приведены дифференциальные уравнения фильтрации и упругости, а также описан процесс получения интегральных уравнений задачи и их дискретизация. Уравнение фильтрации моделировалось линейными, а уравнения упругости - постоянными граничными элементами, для интерполяции по области применялись треугольные элементы. Рассмотрены два численных примера консолидации грунта в образцах при их испытании в трехосном приборе, (примеры отличались граничными условиями). Сравнение результатов расчетов с опытными данными показало их хорошее согласование.

В статье [79] Diebels S., Ehlers W представили математическую модель для описания динамических процессов в насыщенной деформируемой пористой среде. Расчеты проводились с использованием метода конечных элементов. Приведены результаты расчета плоского поля течения грунтовых вод при наложении ударной нагрузки на часть свободной поверхности.

В статье Dziecielski'a R. [80] исследовано распространение волн ускорения в среде, состоящей из упругого (вязкоупругого) пористого каркаса, насыщенного вязкой сжимаемой жидкостью. Изучены общие свойства таких волн, построены уравнения их распространения, проанализированы уравнения для амплитуд. Показано, что форма фронта волны и амплитуды перемещений на фронте изменяются в зависимости от пройденного расстояния. Установлено, что изменение амплитуд на фронте волны связано не только с относительным движением каркаса и жидкости (как в случае линейной двухфазной среды), но зависит также от начального возмущения среды на фронте волны. При этом скорость перемещений не зависит от энергии диссипации при относительном движении каркаса и жидкости.

Sarmcu K.S., Thayuddin M. [87] рассмотрели динамическую задачу о кручении полубесконечного круглого стержня из упруго-пористого материала с вязким жидким заполнителем. На боковой поверхности стержня выполняются условия непроницаемости и отсутствия касательного напряжения. Задача решена методом конечного преобразования Ханкеля с использованием операционного исчисления.

Из приведенного обзора следует, что точные аналитические решения рассматриваемых в диссертации осесимметричных нестационарных задач для упруго-пористого полупространства в литературе практически отсутствуют.

1.2. Уравнение осесимметричного движения среды Био в цилиндрической системе координат

Предполагается, что свойства материала полупространства $z \geq 0$ описываются моделью Био [8], уравнения движения которой имеют следующий вид:

$$\begin{aligned} N\Delta\mathbf{u} + (A + N)\text{grad div}\mathbf{u} + Q\text{grad div}\mathbf{U} &= \rho_{11} \frac{\partial^2\mathbf{u}}{\partial t^2} + \rho_{12} \frac{\partial^2\mathbf{U}}{\partial t^2}, \\ Q\text{grad div}\mathbf{u} + R\text{grad div}\mathbf{U} &= \rho_{12} \frac{\partial^2\mathbf{u}}{\partial t^2} + \rho_{22} \frac{\partial^2\mathbf{U}}{\partial t^2}. \end{aligned} \quad (1.1)$$

Здесь \mathbf{u} и \mathbf{U} - векторы смещения скелета и жидкости соответственно; A и N - упругие постоянные скелета среды; t - время; R - давление, которое должно быть приложено к жидкости, для того чтобы заполнить пористый объем (при этом общий объем остается неизменным); Q - величина сцепления между твердыми и жидкими компонентами при деформации; $\rho_{11} = (1 - \beta_0)\rho_s - \rho_{12}$; $\rho_{22} = \beta_0\rho_f - \rho_{12}$; β_0 - пористость среды; ρ_{12} - коэффициент динамической связи между твёрдыми и жидкими компонентами; ρ_s и ρ_f - плотность твёрдого и жидкого компонента соответственно; Δ - оператор Лапласа.

Уравнения (1.1) эквивалентны следующим волновым уравнениям относительно скалярных φ_1 , φ_2 и векторного ψ потенциалов перемещений [13]:

$$\Delta\varphi_k = \frac{1}{c_k^2} \frac{\partial^2\varphi_k}{\partial t^2} \quad (k = 1, 2), \quad \Delta\psi = \frac{1}{c_3^2} \frac{\partial^2\psi}{\partial t^2}, \quad (1.2)$$

где

$$\mathbf{u} = \text{grad}(\varphi_1 + \varphi_2) + \text{rot}\psi, \mathbf{U} = \text{grad}(\beta_1\varphi_1 + \beta_2\varphi_2) + \text{rot}(\beta_3\psi), \quad (1.3)$$

$$c_k^2 = \frac{P + Q\beta_k}{\rho_{11} + \rho_{12}\beta_k} \quad (k=1,2), \quad c_3^2 = \frac{N}{\rho_{11} + \beta_3\rho_{12}}, \quad \beta_3 = -\frac{\rho_{12}}{\rho_{22}}, \quad P = A + 2N, \quad (1.4)$$

а числа β_1 и β_2 являются корнями уравнения

$$(\rho_{22}Q - \rho_{12}P)\beta^2 + (\rho_{22}P - \rho_{11}R)\beta + \rho_{12}P - \rho_{11}Q = 0.$$

Компоненты e_{ij} и ε_{ij} тензоров деформаций в скелете и в жидкости связаны с векторами перемещений следующим образом:

$$e_{ij} = \frac{1}{2}(\nabla_i u_j + \nabla_j u_i), \quad \varepsilon_{ij} = \frac{1}{2}(\nabla_i U_j + \nabla_j U_i), \quad (1.5)$$

где $\nabla_i u_j$ и $\nabla_i U_j$ - ковариантные производные ковариантных компонент векторов \mathbf{u} и \mathbf{U} в некоторой криволинейной системе координат.

Напряжения в скелете и давление в жидкости определяются физическим законом.

$$\sigma_{ij} = 2Ne_{ij} + (Ae + Q\varepsilon)g_{ij}, \quad \sigma = Qe + R\varepsilon, \quad e = e_{ij}g^{ij}, \quad \varepsilon = \varepsilon_{ij}g^{ij}, \quad (1.6)$$

где g_{ij} , g^{ij} - компоненты метрического тензора, а e и ε - первые инварианты соответствующих тензоров.

Далее ограничимся вариантом симметричных относительно оси Oz поверхностных возмущений и нулевых начальных условий. При этом в цилиндрической системе координат r, z, θ ($-\pi < \theta \leq \pi$) перемещения и остальные компоненты напряженно-деформированного состояния являются функциями только времени, r и z . Тогда соотношения (1.2), (1.3), (1.5) и

(1.6) относительно физических компонент векторов и тензоров (им соответствует координаты в нижних индексах) с учетом формул для операторов принимают следующий вид [10]:

- уравнения движения

$$\Delta\varphi_k = \frac{1}{c_k^2} \frac{\partial^2 \varphi_k}{\partial t^2} \quad (k=1,2), \quad \Delta\Psi - \frac{\Psi}{r^2} = \frac{1}{c_3^2} \frac{\partial^2 \Psi}{\partial t^2}, \quad \Delta = \frac{\partial^2}{\partial r^2} + \frac{1}{r} \frac{\partial}{\partial r} + \frac{\partial^2}{\partial z^2}, \quad (1.7)$$

$$\Psi_r = \Psi_z \equiv 0, \quad \Psi_\theta = \Psi;$$

- кинематические соотношения

$$u_r = u = \frac{\partial(\varphi_1 + \varphi_2)}{\partial r} - \frac{\partial\Psi}{\partial z}, \quad u_z = w = \frac{\partial(\varphi_1 + \varphi_2)}{\partial z} + \frac{1}{r} \frac{\partial(r\Psi)}{\partial r}, \quad u_\theta \equiv 0,$$

$$U_r = U = \frac{\partial(\beta_1\varphi_1 + \beta_2\varphi_2)}{\partial r} - \beta_3 \frac{\partial\Psi}{\partial z}, \quad U_z = W = \beta_1 \frac{\partial(\beta_1\varphi_1 + \beta_2\varphi_2)}{\partial z} + \frac{\beta_3}{r} \frac{\partial(r\Psi)}{\partial r}, \quad (1.8)$$

$$U_\theta \equiv 0;$$

- выражения деформаций $e_{\alpha\beta}$ и $\varepsilon_{\alpha\beta}$, где $\{\alpha, \beta\} = \{r, z, \theta\}$, скелета и жидкости через перемещения

$$e_{rr} = \frac{\partial u}{\partial r}, \quad e_{rz} = \frac{1}{2} \left(\frac{\partial w}{\partial r} + \frac{\partial u}{\partial z} \right), \quad e_{\theta\theta} = \frac{u}{r}, \quad e_{zz} = \frac{\partial w}{\partial z},$$

$$\varepsilon_{rr} = \frac{\partial U}{\partial r}, \quad \varepsilon_{rz} = \frac{1}{2} \left(\frac{\partial W}{\partial r} + \frac{\partial U}{\partial z} \right), \quad \varepsilon_{\theta\theta} = \frac{U}{r}, \quad \varepsilon_{zz} = \frac{\partial W}{\partial z}, \quad (1.9)$$

$$e = e_{rr} + e_{\theta\theta} + e_{zz}, \quad \varepsilon = \varepsilon_{rr} + \varepsilon_{\theta\theta} + \varepsilon_{zz}, \quad e_{r\theta} = e_{z\theta} = \varepsilon_{r\theta} = \varepsilon_{z\theta} \equiv 0;$$

- связь напряжений $\sigma_{\alpha\beta}$, где $\{\alpha, \beta\} = \{r, z, \theta\}$, в скелете и давления σ в жидкости с кинематическими параметрами

$$\begin{aligned}
\sigma_{rr} &= 2N \frac{\partial u}{\partial r} + (Ae + Q\varepsilon), \quad \sigma_{zz} = 2N \frac{\partial w}{\partial z} + (Ae + Q\varepsilon), \\
\sigma_{\theta\theta} &= 2N \frac{u}{r} + (Ae + Q\varepsilon), \quad \sigma_{rz} = N \left(\frac{\partial w}{\partial r} + \frac{\partial u}{\partial z} \right), \quad \sigma = Qe + R\varepsilon, \\
e &= \frac{\partial u}{\partial r} + \frac{\partial w}{\partial z} + \frac{u}{r}, \quad \varepsilon = \frac{\partial U}{\partial r} + \frac{\partial W}{\partial z} + \frac{U}{r}.
\end{aligned} \tag{1.10}$$

Далее будем использовать безразмерные величины (штрихи соответствуют безразмерным величинам; в последующем изложении они опущены):

$$\begin{aligned}
r' &= \frac{r}{L}, \quad x' = \frac{x}{L}, \quad y' = \frac{y}{L}, \quad z' = \frac{z}{L}, \quad u' = \frac{u}{L}, \quad w' = \frac{w}{L}, \quad U' = \frac{U}{L}, \quad W' = \frac{W}{L}, \quad \tau = \frac{c_1 t}{L}, \\
\sigma'_{\alpha\beta} &= \frac{\sigma_{\alpha\beta}}{N}, \quad \{\alpha, \beta\} = \{r, z, \theta\}, \quad \sigma' = \frac{\sigma}{N}, \quad \varphi_j = \frac{\varphi_j}{L^2} \quad (j=1,2), \\
\Psi' &= \frac{\Psi}{L^2}, \quad \gamma_k = \frac{c_1}{c_k} \quad (k=1,2,3), \quad \eta_1 = \frac{A}{H}, \quad \eta_2 = \frac{Q}{H}, \quad \eta_3 = \frac{R}{H}, \quad H = P + 2Q + R,
\end{aligned}$$

где L - некоторый линейный размер; $Oxyz$ - прямоугольная декартова система координат, связанная с цилиндрическими координатами стандартным образом.

В безразмерном виде уравнения (1.7) принимают следующий вид (точками обозначено дифференцирование по τ , $k=1,2$):

$$\Delta \varphi_k = \gamma_k^2 \ddot{\varphi}_k, \quad \Delta \Psi - \frac{\Psi}{r^2} = \gamma_3^2 \ddot{\Psi}; \tag{1.11}$$

Соотношения (1.8), (1.9) сохраняют свой вид, а физический закон (1.10) преобразовывается так:

$$\begin{aligned}\sigma_{rr} &= 2\frac{\partial u}{\partial r} + (\eta_1 e + \eta_2 \varepsilon), \quad \sigma_{zz} = 2\frac{\partial w}{\partial z} + (\eta_1 e + \eta_2 \varepsilon), \\ \sigma_{\theta\theta} &= 2\frac{u}{r} + (\eta_1 e + \eta_2 \varepsilon), \quad \sigma_{rz} = \frac{\partial w}{\partial r} + \frac{\partial u}{\partial z}, \quad \sigma = \eta_2 e + \eta_3 \varepsilon.\end{aligned}\tag{1.12}$$

1.3. Дополнительные условия и интегральные представления решений

Линейные уравнения (1.2) описывают волновые движения в однородной изотропной насыщенной пористой среды. Для полной постановки начально-краевой задачи динамики насыщенных пористых сред эти уравнения необходимо дополнить начальными и граничными условиями.

Полагаем что, в начальный момент τ возмущения отсутствуют:

$$\varphi_j|_{\tau=0} = \psi|_{\tau=0} = \dot{\varphi}_j|_{\tau=0} = \dot{\psi}|_{\tau=0} = 0.\tag{1.13}$$

Основные граничные условия для насыщенных пористых сред имеют следующий вид [43]:

- кинематические условия (\mathbf{u}_0 - заданное перемещение)

$$\mathbf{u}|_{\Pi} = \mathbf{u}_0, \quad (\mathbf{U}, \mathbf{v})|_{\Pi} = (\mathbf{u}_0, \mathbf{v});\tag{1.14}$$

- силовые условия (\mathbf{P} - заданная сила; $\mathbf{p}^v = \sigma^{ij} \mathbf{v}_j \mathbf{e}_i$ - вектор напряжений)

$$\mathbf{p}^v|_{\Pi} = (1 - \beta)\mathbf{P}, \quad \sigma|_{\Pi} = \beta(\mathbf{P}, \mathbf{v});\tag{1.15}$$

- смешанные условия первого типа (заданы нормальное перемещение u_{n0} и вектор касательной силы \mathbf{P}_τ)

$$(\mathbf{u}, \mathbf{v})|_{\Pi} = (\mathbf{U}, \mathbf{v})|_{\Pi} = u_{n0}, \left[\mathbf{p}^{\nu} - (\mathbf{p}^{\nu}, \mathbf{v}) \mathbf{v} \right]|_{\Pi} = \mathbf{P}_{\tau}; \quad (1.16)$$

- смешанные условия второго типа (заданы вектор касательного перемещения \mathbf{u}_{τ} и нормальная сила P)

$$\left[\mathbf{u} - (\mathbf{u}, \mathbf{v}) \mathbf{v} \right]|_{\Pi} = \mathbf{u}_{\tau}, \left(\mathbf{p}^{\nu}, \mathbf{v} \right)|_{\Pi} = (1 - \beta)P, \sigma|_{\Pi} = \beta P. \quad (1.17)$$

Здесь Π - граничная поверхность; $\mathbf{v} = v_i \mathbf{e}^i$ - единичный вектор внешней нормали; \mathbf{e}_i и \mathbf{e}^i - ковариантные и контравариантные базисные векторы.

Применительно к полупространству $z \geq 0$ в случае осевой симметрии соотношения (1.14) - (1.17) имеют вид ($\mathbf{v} = \mathbf{e}_z$; $\mathbf{u}_0 = u_0 \mathbf{e}_r + w_0 \mathbf{e}_z$; $\mathbf{P} = P \mathbf{e}_z + \mathbf{P}_{\tau}$, $\mathbf{P}_{\tau} = Q \mathbf{e}_r$; $\mathbf{e}_r, \mathbf{e}_z, \mathbf{e}_{\theta}$ - базисные векторы цилиндрической системы координат):

$$u|_{z=0} = u_0(r, \tau), \quad w|_{z=0} = W|_{z=0} = w_0(r, \tau); \quad (1.18)$$

$$\sigma_{rz}|_{z=0} = (1 - \beta)Q(r, \tau), \quad \sigma_{zz}|_{z=0} = (1 - \beta)P(r, \tau), \quad \sigma|_{z=0} = \beta P(r, \tau); \quad (1.19)$$

$$w|_{z=0} = W|_{z=0} = w_0(r, \tau), \quad \sigma_{rz}|_{z=0} = Q(r, \tau); \quad (1.20)$$

$$u|_{z=0} = u_0(r, \tau), \quad \sigma_{zz}|_{z=0} = (1 - \beta)P(r, \tau), \quad \sigma|_{z=0} = \beta P(r, \tau). \quad (1.21)$$

Искомые перемещения как решения начально-краевой задачи (1.11), (1.13), (1.18) (или (1.19), или (1.20), или (1.21)) записываем в виде сверток (они обозначаются звездочками) по пространственным координатам x, y ($x^2 + y^2 = r^2$) и времени [19, 20, 24, 26]. При этом $G_{\alpha\beta}$ - поверхностные

функции влияния, где α и β индексы принимают одно из следующих значений: $u, w, U, W, zz, rr, \sigma$.

1. Граничные условия (1.18) (первая группа):

$$\begin{aligned}
 u(r, z, \tau) &= u_0(r, \tau) *** G_{uu}^{(1)} + \\
 &+ w_0(r, \tau) *** [G_{uw}^{(1)}(r, z, \tau) + G_{uW}^{(1)}(r, z, \tau)], \\
 w(r, z, \tau) &= u_0(r, \tau) *** G_{wu}^{(1)}(r, z, \tau) + \\
 &+ w_0(r, \tau) *** [G_{ww}^{(1)}(r, z, \tau) + G_{wW}^{(1)}(r, z, \tau)], \\
 U(r, z, \tau) &= u_0(r, \tau) *** G_{Uu}^{(1)}(r, z, \tau) + \\
 &+ w_0(r, \tau) *** [G_{Uw}^{(1)}(r, z, \tau) + G_{UW}^{(1)}(r, z, \tau)], \\
 W(r, z, \tau) &= u_0(r, \tau) *** G_{Wu}^{(1)}(r, z, \tau) + \\
 &+ w_0(r, \tau) *** [G_{Ww}^{(1)}(r, z, \tau) + G_{WW}^{(1)}(r, z, \tau)];
 \end{aligned} \tag{1.22}$$

$$\begin{aligned}
 \sigma_{zz}(r, z, \tau) &= u_0(r, \tau) *** G_{zzu}^{(1)}(r, z, \tau) + \\
 &+ w_0(r, \tau) *** [G_{zzw}^{(1)}(r, z, \tau) + G_{zzW}^{(1)}(r, z, \tau)], \\
 \sigma_{rz}(r, z, \tau) &= u_0(r, \tau) *** G_{rzu}^{(1)}(r, z, \tau) + \\
 &+ w_0(r, \tau) *** [G_{rzw}^{(1)}(r, z, \tau) + G_{rzW}^{(1)}(r, z, \tau)], \\
 \sigma(r, z, \tau) &= u_0(r, \tau) *** G_{\sigma u}^{(1)}(r, z, \tau) + \\
 &+ w_0(r, \tau) *** [G_{\sigma w}^{(1)}(r, z, \tau) + G_{\sigma W}^{(1)}(r, z, \tau)].
 \end{aligned} \tag{1.23}$$

Здесь

а) функции

$$G_{uu}^{(1)} = u, G_{wu}^{(1)} = w, G_{Uu}^{(1)} = U, G_{Wu}^{(1)} = W, G_{zzu}^{(1)} = \sigma_{zz}, G_{rzu}^{(1)} = \sigma_{rz}, G_{\sigma u}^{(1)} = \sigma \tag{1.24}$$

- решения уравнений (1.11) с начальными условиями (1.13) и следующими граничными условиями (*первая подгруппа*)

$$u|_{z=0} = \delta(x, y, \tau), \quad w|_{z=0} = W|_{z=0} = 0; \quad (1.25)$$

б) функции

$$G_{uw}^{(1)} = u, \quad G_{ww}^{(1)} = w, \quad G_{Uw}^{(1)} = U, \quad G_{Ww}^{(1)} = w, \quad G_{zzw}^{(1)} = \sigma_{zz}, \quad G_{rzw}^{(1)} = \sigma_{rz}, \quad G_{\sigma w}^{(1)} = \sigma \quad (1.26)$$

- решения уравнений (1.11) с начальными условиями (1.13) и следующими граничными условиями (*вторая подгруппа*)

$$w|_{z=0} = \delta(x, y, \tau), \quad u|_{z=0} = W|_{z=0} = 0; \quad (1.27)$$

в) функции

$$G_{uW}^{(1)} = u, \quad G_{wW}^{(1)} = w, \quad G_{UW}^{(1)} = U, \quad G_{WW}^{(1)} = w, \quad G_{zzW}^{(1)} = \sigma_{zz}, \quad G_{rZW}^{(1)} = \sigma_{rz}, \quad G_{\sigma W}^{(1)} = \sigma \quad (1.28)$$

- решения уравнений (1.11) с начальными условиями (1.13) и следующими граничными условиями (*третья подгруппа*)

$$W|_{z=0} = \delta(x, y, \tau), \quad u|_{z=0} = w_{z=0} = 0. \quad (1.29)$$

2. Граничные условия (1.19) (вторая группа):

$$\begin{aligned} u(r, z, \tau) &= Q(r, \tau) *** G_{wz}^{(2)}(r, z, \tau) + \\ &+ P(r, \tau) *** \left[(1 - \beta_0) G_{uz}^{(2)}(r, z, \tau) + \beta_0 G_{u\sigma}^{(2)}(r, z, \tau) \right], \\ w(r, z, \tau) &= Q(r, \tau) *** G_{wz}^{(2)}(r, \tau) + \\ &+ P(r, \tau) *** \left[(1 - \beta_0) G_{wz}^{(2)}(r, z, \tau) + \beta_0 G_{w\sigma}^{(2)}(r, z, \tau) \right], \\ U(r, z, \tau) &= Q(r, \tau) *** G_{Uz}^{(2)}(r, z, \tau) + \\ &+ P(r, \tau) *** \left[(1 - \beta_0) G_{Uz}^{(2)}(r, z, \tau) + \beta_0 G_{U\sigma}^{(2)}(r, z, \tau) \right], \\ W(r, z, \tau) &= Q(r, \tau) *** G_{Wz}^{(2)}(r, z, \tau) + \\ &+ P(r, \tau) *** \left[(1 - \beta_0) G_{Wz}^{(2)}(r, z, \tau) + \beta_0 G_{W\sigma}^{(2)}(r, z, \tau) \right]; \end{aligned} \quad (1.30)$$

$$\begin{aligned}
\sigma_{zz}(r, z, \tau) &= Q(r, \tau) *** G_{zzz}^{(2)}(r, z, \tau) + \\
&+ P(r, \tau) *** \left[(1 - \beta_0) G_{zzzz}^{(2)}(r, z, \tau) + \beta_0 G_{zz\sigma}^{(2)}(r, z, \tau) \right], \\
\sigma_{rz}(r, z, \tau) &= Q(r, \tau) *** G_{rzz}^{(2)}(r, z, \tau) + \\
&+ P(r, \tau) *** \left[(1 - \beta_0) G_{rzzz}^{(2)}(r, z, \tau) + \beta_0 G_{rzs}^{(2)}(r, z, \tau) \right], \\
\sigma(r, z, \tau) &= Q(r, \tau) *** G_{\sigma rz}^{(2)}(r, z, \tau) + \\
&+ P(r, \tau) *** \left[(1 - \beta_0) G_{\sigma zz}^{(2)}(r, z, \tau) + \beta_0 G_{\sigma\sigma}^{(2)}(r, z, \tau) \right].
\end{aligned} \tag{1.31}$$

Здесь

а) функции

$$G_{urz}^{(2)} = u, G_{wrz}^{(2)} = w, G_{Urz}^{(2)} = U, G_{Wzz}^{(2)} = W, G_{zzrz}^{(2)} = \sigma_{zz}, G_{rzz}^{(2)} = \sigma_{rz}, G_{\sigma rz}^{(2)} = \sigma \tag{1.32}$$

- решения уравнений (1.11) с начальными условиями (1.13) и следующими граничными условиями (*первая подгруппа*)

$$\sigma_{rz}|_{z=0} = \delta(x, y, \tau), \sigma_{zz}|_{z=0} = \sigma|_{z=0} = 0; \tag{1.33}$$

б) функции

$$G_{uzz}^{(2)} = u, G_{wzz}^{(2)} = w, G_{Uzz}^{(2)} = U, G_{Wzz}^{(2)} = W, G_{zzzz}^{(2)} = \sigma_{zz}, G_{rzz}^{(2)} = \sigma_{rz}, G_{\sigma zz}^{(2)} = \sigma \tag{1.34}$$

- решения уравнений (1.11) с начальными условиями (1.13) и следующими граничными условиями (*вторая подгруппа*)

$$\sigma_{rz}|_{z=0} = 0, \sigma_{zz}|_{z=0} = \delta(x, y, \tau), \sigma|_{z=0} = 0; \tag{1.35}$$

в) функции

$$G_{u\sigma}^{(2)} = u, G_{w\sigma}^{(2)} = w, G_{U\sigma}^{(2)} = U, G_{W\sigma}^{(2)} = W, G_{zz\sigma}^{(2)} = \sigma_{zz}, G_{rzs}^{(2)} = \sigma_{rz}, G_{\sigma\sigma}^{(2)} = \sigma \tag{1.36}$$

- решения уравнений (1.11) с начальными условиями (1.13) и следующими граничными условиями (*третья подгруппа*)

$$\sigma_{rz} \Big|_{z=0} = 0, \sigma_{zz} \Big|_{z=0} = 0, \sigma \Big|_{z=0} = \delta(x, y, \tau). \quad (1.37)$$

3. Граничные условия (1.20) (третья группа)

$$\begin{aligned} u(r, z, \tau) &= Q(r, \tau) *** G_{urz}^{(3)}(r, z, \tau) \\ &\quad + w_0(r, \tau) *** [G_{uw}^{(3)}(r, z, \tau) + G_{uW}^{(3)}(r, z, \tau)], \\ w(r, z, \tau) &= Q(r, \tau) *** G_{wrz}^{(3)}(r, z, \tau) \\ &\quad + w_0(r, \tau) *** [G_{ww}^{(3)}(r, z, \tau) + G_{wW}^{(3)}(r, z, \tau)], \\ U(r, z, \tau) &= Q(r, \tau) *** G_{Urz}^{(3)}(r, z, \tau) \\ &\quad + w_0(r, \tau) *** [G_{Uw}^{(3)}(r, z, \tau) + G_{UW}^{(3)}(r, z, \tau)], \\ W(r, z, \tau) &= Q(r, \tau) *** G_{Wrz}^{(3)}(r, z, \tau) \\ &\quad + w_0(r, \tau) *** [G_{Ww}^{(3)}(r, z, \tau) + G_{WW}^{(3)}(r, z, \tau)]; \end{aligned} \quad (1.38)$$

$$\begin{aligned} \sigma_{zz}(r, z, \tau) &= Q(r, \tau) *** G_{zzrz}^{(3)}(r, z, \tau) \\ &\quad + w_0(r, \tau) *** [G_{zzw}^{(3)}(r, z, \tau) + G_{zzW}^{(3)}(r, z, \tau)], \\ \sigma_{rz}(r, z, \tau) &= Q(r, \tau) *** G_{rzz}^{(3)}(r, z, \tau) \\ &\quad + w_0(r, \tau) *** [G_{rzw}^{(3)}(r, z, \tau) + G_{rzW}^{(3)}(r, z, \tau)], \\ \sigma(r, z, \tau) &= Q(r, \tau) *** G_{\sigma rz}^{(3)}(r, z, \tau) \\ &\quad + w_0(r, \tau) *** [G_{\sigma w}^{(3)}(r, z, \tau) + G_{\sigma W}^{(3)}(r, z, \tau)]. \end{aligned} \quad (1.39)$$

Здесь

а) функции

$$G_{urz}^{(3)} = u, G_{wrz}^{(3)} = w, G_{Urz}^{(3)} = U, G_{Wrz}^{(3)} = W, G_{zzrz}^{(3)} = \sigma_{zz}, G_{rzz}^{(3)} = \sigma_{rz}, G_{\sigma rz}^{(3)} = \sigma \quad (1.40)$$

- решения уравнений (1.11) с начальными условиями (1.13) и следующими граничными условиями (*первая подгруппа*)

$$w|_{z=0} = W|_{z=0} = 0, \sigma_{rz}|_{z=0} = \delta(x, y, \tau); \quad (1.41)$$

б) функции

$$G_{uw}^{(3)} = u, G_{ww}^{(3)} = w, G_{Uw}^{(3)} = U, G_{Ww}^{(3)} = W, G_{zzw}^{(3)} = \sigma_{zz}, G_{rzw}^{(3)} = \sigma_{rz}, G_{\sigma w}^{(3)} = \sigma \quad (1.42)$$

- решения уравнений (1.11) с начальными условиями (1.13) и следующими граничными условиями (*вторая подгруппа*)

$$w|_{z=0} = \delta(x, y, \tau), W|_{z=0} = 0, \sigma_{rz}|_{z=0} = 0; \quad (1.43)$$

в) функции

$$G_{uW}^{(3)} = u, G_{wW}^{(3)} = w, G_{UW}^{(3)} = U, G_{WW}^{(3)} = W, G_{zzW}^{(3)} = \sigma_{zz}, G_{rzw}^{(3)} = \sigma_{rz}, G_{\sigma W}^{(3)} = \sigma \quad (1.44)$$

- решения уравнений (1.11) с начальными условиями (1.13) и следующими граничными условиями (*третья подгруппа*)

$$w|_{z=0} = 0, W|_{z=0} = \delta(x, y, \tau), \sigma_{rz}|_{z=0} = 0. \quad (1.45)$$

4. Граничные условия (1.21) (четвертая группа)

$$\begin{aligned} u(r, z, \tau) &= u_0(r, \tau) *** G_{uu}^{(4)}(r, z, \tau) + \\ &+ P(r, \tau) *** \left[(1 - \beta) G_{uzz}^{(4)}(r, z, \tau) + \beta G_{u\sigma}^{(4)}(r, z, \tau) \right], \\ w(r, z, \tau) &= u_0(r, \tau) *** G_{wu}^{(4)}(r, z, \tau) + \\ &+ P(r, \tau) *** \left[(1 - \beta) G_{wzz}^{(4)}(r, z, \tau) + \beta G_{w\sigma}^{(4)}(r, z, \tau) \right], \\ U(r, z, \tau) &= u_0(r, \tau) *** G_{Uu}^{(4)}(r, z, \tau) + \\ &+ P(r, \tau) *** \left[(1 - \beta) G_{Uzz}^{(4)}(r, z, \tau) + \beta G_{U\sigma}^{(4)}(r, z, \tau) \right], \\ W(r, z, \tau) &= u_0(r, \tau) *** G_{Wu}^{(4)}(r, z, \tau) + \\ &+ P(r, \tau) *** \left[(1 - \beta) G_{Wzz}^{(4)}(r, z, \tau) + \beta G_{W\sigma}^{(4)}(r, z, \tau) \right]; \end{aligned} \quad (1.46)$$

$$\begin{aligned}
\sigma_{zz}(r, z, \tau) &= u_0(r, \tau) *** G_{zzu}^{(4)}(r, z, \tau) + \\
&+ P(r, \tau) *** \left[(1 - \beta) G_{zzzz}^{(4)}(r, z, \tau) + \beta G_{zz\sigma}^{(4)}(r, z, \tau) \right], \\
\sigma_{rz}(r, z, \tau) &= u_0(r, \tau) *** G_{rzu}^{(4)}(r, z, \tau) + \\
&+ P(r, \tau) *** \left[(1 - \beta) G_{rzzz}^{(4)}(r, z, \tau) + \beta G_{rzs\sigma}^{(4)}(r, z, \tau) \right], \\
\sigma(r, z, \tau) &= u_0(r, \tau) *** G_{\sigma u}^{(4)}(r, z, \tau) + \\
&+ P(r, \tau) *** \left[(1 - \beta) G_{\sigma zz}^{(4)}(r, z, \tau) + \beta G_{\sigma\sigma}^{(4)}(r, z, \tau) \right].
\end{aligned} \tag{1.47}$$

а) функции

$$G_{uu}^{(4)} = u, G_{wu}^{(4)} = w, G_{Uu}^{(4)} = U, G_{Wu}^{(4)} = W, G_{zzu}^{(4)} = \sigma_{zz}, G_{rzu}^{(4)} = \sigma_{rz}, G_{\sigma u}^{(4)} = \sigma \tag{1.48}$$

- решения уравнений (1.11) с начальными условиями (1.13) и следующими граничными условиями (*первая подгруппа*)

$$u|_{z=0} = \delta(x, y, \tau), \sigma_{zz}|_{z=0} = 0, \sigma|_{z=0} = 0; \tag{1.49}$$

б) функции

$$G_{uzz}^{(4)} = u, G_{wzz}^{(4)} = w, G_{Uzz}^{(4)} = U, G_{Wzz}^{(4)} = W, G_{zzzz}^{(4)} = \sigma_{zz}, G_{rzzz}^{(4)} = \sigma_{rz}, G_{\sigma zz}^{(4)} = \sigma \tag{1.50}$$

- решения уравнений (1.11) с начальными условиями (1.13) и следующими граничными условиями (*вторая подгруппа*)

$$u|_{z=0} = 0, \sigma_{zz}|_{z=0} = \delta(x, y, \tau), \sigma|_{z=0} = 0; \tag{1.51}$$

в) функции

$$G_{u\sigma}^{(4)} = u, G_{w\sigma}^{(4)} = w, G_{U\sigma}^{(4)} = U, G_{W\sigma}^{(4)} = W, G_{zz\sigma}^{(4)} = \sigma_{zz}, G_{rzs\sigma}^{(4)} = \sigma_{rz}, G_{\sigma\sigma}^{(4)} = \sigma \tag{1.52}$$

- решения уравнений (1.11) с начальными условиями (1.13) и следующими граничными условиями (*третья подгруппа*)

$$u|_{z=0} = 0, \sigma_{zz}|_{z=0} = 0, \sigma|_{z=0} = \delta(x, y, \tau). \tag{1.53}$$

Здесь и далее $\delta(x, y, \tau)$ - дельта-функция Дирака [12].

Глава 2

Полупространство под действием кинематических возмущений (граничные условия первой группы)

2.1 Изображения перемещений и напряжений

К уравнениям (1.7) и отношениям (1.8), (1.9), (1.12), (1.13) применяем преобразования Лапласа по времени и Ханкеля (порядка $\nu=0$ для функций φ_k , w , W , e , ε , σ_{zz} , σ и порядка $\nu=1$ для ψ , u , U , σ_{rz}) по радиусу r (индексы « L » и « H_v » указывают на соответствующие изображения; в случаях, не допускающих двойного толкования, порядок преобразования Ханкеля не указывается; s и q - параметры этих преобразований) [12]:

$$\frac{\partial^2 \varphi_l^{HL}}{\partial z^2} - k_l^2 (q^2, s^2) \varphi_l^{HL} = 0 \quad (l=1,2), \quad \frac{\partial^2 \psi^{HL}}{\partial z^2} - k_3^2 (q^2, s^2) \psi^{HL} = 0, \quad (2.1)$$

$$k_j (q, s) = \sqrt{q + \gamma_j^2 s} \quad (j=1,2,3), \quad \operatorname{Re} \sqrt{\cdot} > 0;$$

$$u^{HL} = -q (\varphi_1^{HL} + \varphi_2^{HL}) - \frac{\partial \psi^{HL}}{\partial z}, \quad w^{HL} = \frac{\partial (\varphi_1^{HL} + \varphi_2^{HL})}{\partial z} + q \psi^{HL},$$

$$U^{HL} = -q (\beta_1 \varphi_1^{HL} + \beta_2 \varphi_1^{HL}) - \beta_3 \frac{\partial \psi^{HL}}{\partial z}, \quad W^{HL} = \frac{\partial (\beta_1 \varphi_1^{HL} + \beta_2 \varphi_1^{HL})}{\partial z} + \beta_3 q \psi^{HL}, \quad (2.2)$$

$$e^{HL} = q u^{HL} + \frac{\partial w^{HL}}{\partial z}, \quad \varepsilon^{HL} = q U^{HL} + \frac{\partial W^{HL}}{\partial z};$$

$$\sigma_{zz}^{HL} = 2 \frac{\partial w^{HL}}{\partial z} + (\eta_1 e^{HL} + \eta_2 \varepsilon^{HL}), \quad \sigma_{rz}^{HL} = -q w^{HL} + \frac{\partial u^{HL}}{\partial z}, \quad (2.3)$$

$$\sigma^{HL} = \eta_2 e^{HL} + \eta_3 \varepsilon^{HL};$$

Ограниченные решения уравнений (2.1) имеют вид:

$$\begin{aligned}\Phi_l^{HL}(q,s) &= C_l E_l(q,z,s) \quad (l=1,2), \quad \Psi^{HL}(q,s) = C_3 E_3(q,z,s), \\ E_j(q,z,s) &= e^{-k_j(q^2,s^2)z} \quad (j=1,2,3),\end{aligned}\tag{2.4}$$

где C_1 , C_2 и C_3 - постоянные интегрирования.

Подстановка этих равенств в (2.2) и (2.3) приводит к следующим формулам для изображений перемещений и напряжений:

$$\begin{aligned}u^{HL}(q,s,z) &= -q \sum_{l=1}^2 C_l E_l(q,z,s) + C_3 k_3(q^2,s^2) E_3(q,z,s), \\ w^{HL}(q,s,z) &= -\sum_{l=1}^2 C_l k_l(q^2,s^2) E_l(q,z,s) + q C_3 E_3(q,z,s), \\ U^{HL}(q,s,z) &= -q \sum_{l=1}^2 \beta_j C_j E_l(q,z,s) + \beta_3 C_3 k_3(q^2,s^2) E_3(q,z,s), \\ W^{HL}(q,s,z) &= -\sum_{l=1}^2 \beta_l C_l k_l(q^2,s^2) E_l(q,z,s) + \beta_3 q C_3 E_3(q,z,s);\end{aligned}\tag{2.5}$$

$$\begin{aligned}\sigma_{zz}^{HL}(q,z,s) &= \sum_{l=1}^2 C_l \kappa_l(q^2,s^2) E_l(q,z,s) - 2q C_3 k_3(q^2,s^2) E_3(q,z,s), \\ \sigma_{rz}^{HL}(q,z,s) &= 2q \sum_{l=1}^2 C_l k_l(q^2,s^2) E_l(q,z,s) - C_3 \kappa_3(q^2,s^2) E_3(q,z,s), \\ \sigma^{HL}(q,z,s) &= s^2 \sum_{l=1}^2 C_l \lambda_{23l} \gamma_l^2 E_l(q,z,s),\end{aligned}\tag{2.6}$$

где

$$\begin{aligned}\kappa_l(q,s) &= 2q + (2 + \lambda_{12l}) \gamma_l^2 s, \quad \kappa_3(q,s) = 2q + \gamma_3^2 s, \\ \lambda_{12l} &= \eta_1 + \beta_l \eta_2, \quad \lambda_{23l} = \eta_2 + \beta_l \eta_3,\end{aligned}\tag{2.7}$$

2.2. Изображения функций влияния первой подгруппы

К граничным условиям (1.25) применяем указанные в п. 2.1 преобразования [12]:

$$u^{HL}|_{z=0} = \frac{1}{2\pi}, \quad w^{HL}|_{z=0} = W^{HL}|_{z=0} = 0. \quad (2.8)$$

Постановка в (2.8) соотношений (2.5) приводит к следующей системе линейных алгебраических уравнений относительно постоянных интегрирования [26]:

$$\mathbf{A}_1 \mathbf{C} = -\frac{1}{2\pi} \mathbf{b}_1, \quad (2.9)$$

где

$$\mathbf{A}_1 = \begin{pmatrix} q & q & -k_3(q^2, s^2) \\ k_1(q^2, s^2) & k_2(q^2, s^2) & -q \\ \beta_1 k_1(q^2, s^2) & \beta_2 k_2(q^2, s^2) & -\beta_3 q \end{pmatrix}, \quad \mathbf{C} = \begin{pmatrix} C_1 \\ C_2 \\ C_3 \end{pmatrix}, \quad \mathbf{b}_1 = \begin{pmatrix} 1 \\ 0 \\ 0 \end{pmatrix}.$$

Её решение записывается так:

$$\begin{aligned} C_1 &= \beta_{23} \frac{qk_2(q^2, s^2)}{2\pi R(q^2, s^2)}, \quad C_2 = \beta_{31} \frac{qk_1(q^2, s^2)}{2\pi R(q^2, s^2)}, \\ C_3 &= \beta_{21} \frac{k_1(q^2, s^2)k_2(q^2, s^2)}{2\pi R(q^2, s^2)}, \end{aligned} \quad (2.10)$$

где

$$\begin{aligned} R(q, s) &= q[(\beta_1 - \beta_3)k_1(q, s) + (\beta_3 - \beta_2)k_2(q, s)] + \\ &+ (\beta_2 - \beta_1)k_1(q, s)k_2(q, s)k_3(q, s). \end{aligned} \quad (2.11)$$

Учитывая эти равенства, из (2.5) и (2.6) с учетом обозначений (1.24) находим изображения соответствующих функций влияния:

$$\begin{aligned}
G_{uu}^{(1)HL} &= u^{HL} = \sum_{j=1}^3 u_j^{HL}(q, s) E_j(q, z, s), \\
G_{wu}^{(1)HL} &= w^{HL} = \sum_{l=1}^3 w_l^{HL}(q, s) E_j(q, z, s), \\
G_{Uu}^{(1)HL} &= U^{HL} = \sum_{j=1}^3 U_j^{HL}(q, s) E_j(q, z, s), \\
G_{Wu}^{(1)HL} &= W^{HL} = \sum_{j=1}^3 W_j^{HL}(q, s) E_j(q, z, s);
\end{aligned} \tag{2.12}$$

$$\begin{aligned}
G_{zzu}^{(1)HL} &= \sigma_{zz}^{HL} = \sum_{j=1}^3 \sigma_{zzj}^{HL}(q, s) E_j(q, z, s), \\
G_{rzu}^{(1)HL} &= \sigma_{rz}^{HL} = \sum_{j=1}^3 \sigma_{rzej}^{HL}(q, s) E_j(q, z, s), \\
G_{\sigma u}^{(1)HL} &= \sigma^{HL} = \sum_{j=1}^3 \sigma_j^{HL}(q, s) E_j(q, z, s).
\end{aligned} \tag{2.13}$$

Здесь

$$\begin{aligned}
u_l^{HL} &= (-1)^l \beta_{(3-l)3} \frac{q^2 k_{(3-l)}(q^2, s^2)}{2\pi R(q^2, s^2)}, \\
u_3^{HL} &= \beta_{21} \frac{k_1(q^2, s^2) k_2(q^2, s^2) k_3(q^2, s^2)}{2\pi R(q^2, s^2)}, \\
w_l^{HL} &= (-1)^l \beta_{(3-l)3} \frac{q k_{3-l}(q^2, s^2) k_l(q^2, s^2)}{2\pi R(q^2, s^2)}, \\
w_3^{HL} &= \beta_{21} \frac{q k_1(q^2, s^2) k_2(q^2, s^2)}{2\pi R(q^2, s^2)},
\end{aligned} \tag{2.14}$$

$$U_j^{HL}(q, s) = \beta_j u_j^{HL}(q, s), \quad W_j^{HL}(q, s) = \beta_j w_j^{HL}(q, s);$$

$$\begin{aligned}
\sigma_{zzl}^{HL} &= (-1)^{3-l} \beta_{(3-l)3} \frac{qk_{3-l}(q^2, s^2)\kappa_l(q^2, s^2)}{2\pi R(q^2, s^2)}, \\
\sigma_{zz3}^{HL} &= -\beta_{21} \frac{qk_1(q^2, s^2)k_2(q^2, s^2)k_3(q^2, s^2)}{\pi R(q^2, s^2)}, \\
\sigma_{rzl}^{HL} &= (-1)^{3-l} \beta_{(3-l)3} \frac{q^2 k_{(3-l)}(q^2, s^2)k_l(q^2, s^2)}{\pi R(q^2, s^2)}, \\
\sigma_{rz3}^{HL} &= -\beta_{21} \frac{k_1(q^2, s^2)k_2(q^2, s^2)\kappa_3(q^2, s^2)}{2\pi R(q^2, s^2)}, \\
\sigma_l^{HL} &= (-1)^{3-l} \lambda_{23l} \gamma_l^2 \beta_{(3-l)3} \frac{qs^2 k_{(3-l)}(q^2, s^2)}{2\pi R(q^2, s^2)}. \\
\beta_{ij} &= \beta_i - \beta_j \quad (i, j = 1, 2, 3)
\end{aligned} \tag{2.15}$$

2.3. Изображения функций влияния второй подгруппы

В этой случае изображения соответствующих граничных условий (1.27) записываются так:

$$w^{HL} \Big|_{z=0} = \frac{1}{2\pi}, \quad u^{HL} \Big|_{z=0} = W^{HL} \Big|_{z=0} = 0. \tag{2.16}$$

Постановка сюда соотношений (2.5) приводит к аналогичной (2.9) системе линейных алгебраических уравнений [23]:

$$\mathbf{A}_1 \mathbf{C} = -\frac{1}{2\pi} \mathbf{b}_2, \quad \mathbf{b}_2 = \begin{pmatrix} 0 \\ 1 \\ 0 \end{pmatrix}. \tag{2.17}$$

Находя ее решение

$$\begin{aligned}
C_1 &= \frac{\beta_3 q^2 - \beta_2 k_2(q^2, s^2) k_3(q^2, s^2)}{2\pi R(q^2, s^2)}, \\
C_2 &= -\frac{\beta_3 q^2 - \beta_1 k_1(q^2, s^2) k_3(q^2, s^2)}{2\pi R(q^2, s^2)}, \\
C_3 &= q \frac{\beta_1 k_1(q^2, s^2) - \beta_2 k_2(q^2, s^2)}{2\pi R(q^2, s^2)},
\end{aligned} \tag{2.18}$$

из (2.5) и (2.6) с учетом обозначений (1.26) получаем изображения функций влияния для этого типа граничных условий, которые имеют аналогичную (2.12), (2.13) структуру:

$$\begin{aligned}
G_{uw}^{(1)HL} &= u^{HL} = \sum_{j=1}^3 u_j^{HL}(q, s) E_j(q, z, s), \\
G_{ww}^{(1)HL} &= w^{HL} = \sum_{j=1}^3 w_j^{HL}(q, s) E_j(q, z, s), \\
G_{Uw}^{(1)HL} &= U^{HL} = \sum_{j=1}^3 U_j^{HL}(q, s) E_j(q, z, s), \\
G_{Ww}^{(1)HL} &= W^{HL} = \sum_{j=1}^3 W_j^{HL}(q, s) E_j(q, z, s);
\end{aligned} \tag{2.19}$$

$$\begin{aligned}
G_{zzw}^{(1)HL} &= \sigma_{zz}^{HL} = \sum_{j=1}^3 \sigma_{zzj}^{HL}(q, s) E_j(q, z, s), \\
G_{rzw}^{(1)HL} &= \sigma_{rz}^{HL} = \sum_{j=1}^3 \sigma_{rzj}^{HL}(q, s) E_j(q, z, s), \\
G_{\sigma w}^{(1)HL} &= \sigma^{HL} = \sum_{j=1}^3 \sigma_j^{HL}(q, s) E_j(q, z, s).
\end{aligned} \tag{2.20}$$

При этом коэффициенты перед экспонентами отличаются от указанных в (2.14), (2.15) и имеют вид:

$$\begin{aligned}
u_l^{HL} &= (-1)^l \frac{\beta_3 q^3 - q \beta_{3-l} k_{3-l}(q^2, s^2) k_3(q^2, s^2)}{2\pi R(q^2, s^2)}, \\
u_3^{HL} &= q \frac{\beta_1 k_1(q^2, s^2) - \beta_2 k_2(q^2, s^2) k_3(q^2, s^2)}{2\pi R(q^2, s^2)}, \\
w_l^{HL} &= (-1)^l k_l(q^2, s^2) \frac{\beta_3 q^2 - \beta_{3-l} k_{3-l}(q^2, s^2) k_3(q^2, s^2)}{2\pi R(q^2, s^2)}, \\
w_3^{HL} &= q^2 \frac{\beta_1 k_1(q^2, s^2) - \beta_2 k_2(q^2, s^2)}{2\pi R(q^2, s^2)}, \\
U_j^{HL} &= \beta_j u_j^{HL}, \quad W_j^{HL} = \beta_j w_j^{HL};
\end{aligned} \tag{2.21}$$

$$\begin{aligned}
\sigma_{zzl}^{HL} &= (-1)^{3-l} \kappa_l(q^2, s^2) \frac{\beta_3 q^2 - \beta_{3-l} k_{3-l}(q^2, s^2) k_3(q^2, s^2)}{2\pi R(q^2, s^2)}, \\
\sigma_{zz3}^{HL} &= -q^2 k_3(q^2, s^2) \frac{\beta_1 k_1(q^2, s^2) - \beta_2 k_2(q^2, s^2)}{\pi R(q^2, s^2)}, \\
\sigma_{rzl}^{HL} &= (-1)^{3-l} q k_l(q^2, s^2) \frac{\beta_3 q^2 - \beta_{3-l} k_{3-l}(q^2, s^2) k_3(q^2, s^2)}{\pi R(q^2, s^2)}, \\
\sigma_{rz3}^{HL} &= \kappa_3(q^2, s^2) \frac{\beta_1 k_1(q^2, s^2) - \beta_2 k_2(q^2, s^2)}{2\pi R(q^2, s^2)}, \\
\sigma_l^{HL} &= (-1)^l \lambda_{23l} \gamma_l^2 s^2 \frac{\beta_3 q^2 - \beta_{3-l} k_{3-l}(q^2, s^2) k_3(q^2, s^2)}{2\pi R(q^2, s^2)}.
\end{aligned} \tag{2.22}$$

2.4. Изображения функций влияния третьей подгруппы

В этом случае изображения граничных условий согласно (1.29) имеют вид:

$$W^{HL} \Big|_{z=0} = \frac{1}{2\pi}, \quad w^{HL} \Big|_{z=0} = 0, \quad u^{HL} \Big|_{z=0} = 0. \tag{2.23}$$

Отсюда с учетом (2.5) опять получаем аналогичную (2.9) систему линейных алгебраических уравнений относительно произвольных постоянных [23]:

$$\mathbf{A}_1 \mathbf{C} = -\frac{1}{2\pi} \mathbf{b}_3, \quad \mathbf{b}_3 = \begin{pmatrix} 0 \\ 0 \\ 1 \end{pmatrix}. \quad (2.24)$$

Её решение имеет вид

$$\begin{aligned} C_1 &= -\frac{q^2 - k_2(q^2, s^2)k_3(q^2, s^2)}{2\pi R(q^2, s^2)}, \\ C_2 &= \frac{q^2 - k_1(q^2, s^2)k_3(q^2, s^2)}{2\pi R(q^2, s^2)}, \\ C_3 &= -q \frac{k_1(q^2, s^2) - k_3(q^2, s^2)}{2\pi R(q^2, s^2)}. \end{aligned} \quad (2.25)$$

В результате изображения соответствующих функций влияния записываются так:

$$\begin{aligned} G_{uW}^{(1)HL} &= u^{HL} = \sum_{j=1}^3 u_j^{HL}(q, s) E_j(q, z, s), \\ G_{wW}^{(1)HL} &= w^{HL} = \sum_{j=1}^3 w_j^{HL}(q, s) E_j(q, z, s), \\ G_{UW}^{(1)HL} &= U^{HL} = \sum_{j=1}^3 U_j^{HL}(q, s) E_j(q, z, s), \\ G_{WW}^{(1)HL} &= W^{HL} = \sum_{j=1}^3 W_j^{HL}(q, s) E_j(q, z, s). \end{aligned} \quad (2.26)$$

$$\begin{aligned}
G_{zzW}^{(1)HL} &= \sigma_{zz}^{HL} = \sum_{j=1}^3 \sigma_{zzj}^{HL}(q, s) E_j(q, z, s), \\
G_{rzW}^{(1)HL} &= \sigma_{rz}^{HL} = \sum_{j=1}^3 \sigma_{rzj}^{HL}(q, s) E_j(q, z, s), \\
G_{\sigma W}^{(1)HL} &= \sigma_{\sigma u}^{HL} = \sum_{j=1}^3 \sigma_{\sigma u j}^{HL}(q, s) E_j(q, z, s).
\end{aligned} \tag{2.27}$$

Здесь

$$\begin{aligned}
u_i^{HL} &= (-1)^{3-l} q \frac{q^2 - k_{3-l}(q^2, s^2) k_3(q^2, s^2)}{2\pi R(q^2, s^2)}, \\
u_3^{HL} &= -q k_3(q^2, s^2) \frac{k_1(q^2, s^2) - k_2(q^2, s^2)}{2\pi R(q^2, s^2)}, \\
w_l^{HL} &= (-1)^{3-l} k_l(q^2, s^2) \frac{q^2 - k_{3-l}(q^2, s^2) k_3(q^2, s^2)}{2\pi R(q^2, s^2)}, \\
w_3^{HL} &= -q^2 \frac{k_1(q^2, s^2) - k_2(q^2, s^2)}{2\pi R(q^2, s^2)}, \\
U_j^{HL} &= \beta_j u_j^{HL}, \quad W_j^{HL} = \beta_j w_j^{HL};
\end{aligned} \tag{2.28}$$

$$\begin{aligned}
\sigma_{zjl}^{HL} &= (-1)^l \kappa_l(q^2, s^2) \frac{q^2 - k_{3-l}(q^2, s^2) k_3(q^2, s^2)}{2\pi R(q^2, s^2)}, \\
\sigma_{zz3}^{HL} &= q^2 k_3(q^2, s^2) \frac{k_1(q^2, s^2) - k_2(q^2, s^2)}{\pi R(q^2, s^2)}, \\
\sigma_{rzl}^{HL} &= (-1)^l q k_l(q^2, s^2) \frac{q^2 - k_{3-l}(q^2, s^2) k_3(q^2, s^2)}{\pi R(q^2, s^2)}, \\
\sigma_{rz3}^{HL} &= \kappa_3(q^2, s^2) \frac{k_1(q^2, s^2) - k_2(q^2, s^2)}{2\pi R(q^2, s^2)}, \\
\sigma_l^{HL} &= (-1)^l \lambda_{23l} \gamma_l^2 s^2 \frac{q^2 - k_{3-l}(q^2, s^2) k_3(q^2, s^2)}{2\pi R(q^2, s^2)}.
\end{aligned} \tag{2.29}$$

2.5. Оригиналы функций влияния первой группы

Поскольку оригиналы всех функций влияния находятся аналогично, то ограничимся только первой подгруппой. При этом будем рассматривать только напряжения на границе $z=0$. Соответствующие нетривиальные изображения определяются формулами (2.13) и (2.15):

$$G_{0zzu}^{(1)HL} = G_{zzu}^{(1)HL} \Big|_{z=0} = \sum_{j=1}^3 \sigma_{zzj}^{HL}(q^2, s^2), \quad G_{0rzu}^{(1)HL} = G_{rzu}^{(1)HL} \Big|_{z=0} = \sum_{j=1}^3 \sigma_{rzej}^{HL}(q^2, s^2),$$

$$G_{0\sigma u}^{(1)HL} = G_{\sigma u}^{(1)HL} \Big|_{z=0} = \sum_{l=1}^2 \sigma_l^{HL}(q^2, s^2). \quad (2.30)$$

Их оригиналы удобно находить с использованием доказанных в [12,14] утверждений о связи преобразований Фурье и Ханкеля (индексы « F » и « H_v » указывают на соответствующие изображения).

Утверждение 1. Пусть четная функция $f(x) \in S'$, а $g(r) \in S'_+$. Их изображения пропорциональны $g^{H_v}(q) = Cf^F(q)$, $q \geq 0$, $C \in R$, $C \neq 0$.

Тогда существует такое ядро $K_{cv}(r, x)$, что справедливо равенство

$$g(r) = \int_0^{\infty} K_{cv}(r, x) f(x) dx.$$

Причем

$$K_{c_0}(x, r) = -2Cx(x^2 - r^2)_+^{-3/2}, \quad K_{c_1}(x, r) = -K_{c_0}(r, x), \quad (2.31)$$

где $x_+^\alpha = x^\alpha H(x)$.

Утверждение 2. Пусть нечетная функция $f(x) \in S'$, а $g(r) \in S'_+$. Их изображения пропорциональны $g^{H_v}(q) = iCf^F(q)$, $q \geq 0$, $C \in R$, $C \neq 0$.

Тогда существует такое ядро $K_{sv}(r, x)$, что справедливо равенство

$$g(r) = \int_0^{\infty} K_{sv}(r, x) f(x) dx.$$

Причем

$$K_{s_0}(x, r) = 2Cx(r^2 - x^2)_+^{-3/2}, \quad K_{s_1}(x, r) = \frac{2C}{r} \delta(r - x) - K_{s_0}(r, x). \quad (2.32)$$

В этих утверждениях S' - множество обобщенных функций медленного роста, S'_+ - множество обобщенных функций медленного роста с носителями, принадлежащими положительной полуоси R_+ .

Сравнение функций (2.30) с изображениями функций влияния $\Gamma_{13,1}(x, \tau)$, $\Gamma_{33,1}(x, \tau)$ и $\Gamma_{\sigma,1}(x, \tau)$ для плоской задачи [46-48] показывает, что имеют место равенства [59]:

$$\begin{aligned} G_{0rzu}^{(1)HL}(q, s) &= C_1 \Gamma_{13,1}^{FL}(q, s), \quad G_{0zzu}^{(1)HL}(q, s) = iC_2 \Gamma_{33,1}^{FL}(q, s), \\ G_{0\sigma u}^{(1)HL}(q, s) &= iC_3 \Gamma_{\sigma,1}^{FL}(q, s). \end{aligned} \quad (2.33)$$

При этом функции $\Gamma_{13,1}(x, \tau)$, $\Gamma_{33,1}(x, \tau)$ и $\Gamma_{\sigma,1}(x, \tau)$ имеют вид:

$$\begin{aligned} \Gamma_{13,1}(x, \tau) &= \sigma_{13}^{(2)}(x, \tau) [H(|x| - \tau/\gamma_2) - H(|x| - \tau/\gamma_3)] + \\ &\quad + \sigma_{13}^{(1)}(x, \tau) [H(|x| - \tau/\gamma_3) - H(|x| - \tau/\gamma_1)], \\ \Gamma_{33,1}(x, \tau) &= \sigma_{33}^{(2)}(x, \tau) [H(\tau - \gamma_3 |x|) - H(\tau - \gamma_2 |x|)] + \\ &\quad + \sigma_{33}^{(1)}(x, \tau) [H(\tau - \gamma_1 |x|) - H(\tau - \gamma_3 |x|)], \\ \Gamma_{\sigma,1}(x, \tau) &= \sigma_{\sigma}^{(2)}(x, \tau) [H(\tau - \gamma_3 |x|) - H(\tau - \gamma_2 |x|)] + \\ &\quad + \sigma_{\sigma}^{(1)}(x, \tau) [H(\tau - \gamma_1 |x|) - H(\tau - \gamma_3 |x|)]. \end{aligned} \quad (2.34)$$

Здесь

$$\begin{aligned}
\sigma_{13}^{(1)}(x, \tau) &= \frac{\eta_1 \beta_{11}}{\pi} \left[2S_{1,1}^{(1)}(x, \tau) + \gamma_3^2 S_{1,2}^{(1)}(x, \tau) \right], \\
\sigma_{13}^{(2)} &= \frac{\eta_1 \beta_{11}}{\pi} \left[2S_{1,1}^{(2)}(x, \tau) + \gamma_3^2 S_{1,2}^{(2)}(x, \tau) \right], \\
\sigma_{33}^{(1)} &= \frac{\beta_3}{\pi} \left[2\eta_1 \beta_1 S_{2,1}^{(1)}(x, \tau; \gamma_2) + \xi_1 \gamma_1^2 S_{2,2}^{(1)}(x, \tau; \gamma_2) \right] - \frac{2\eta_1 \beta_{11}}{\pi} S_{3,1}^{(1)}(x, \tau) - \\
&\quad - \frac{\beta_3}{\pi} \left[2\eta_1 \beta_2 S_{2,1}^{(1)}(x, \tau; \gamma_1) + \xi_2 \gamma_2^2 S_{2,2}^{(1)}(x, \tau; \gamma_1) \right], \\
\sigma_{33}^{(2)} &= \frac{\beta_3}{\pi} \left[2\eta_1 \beta_1 S_{2,1}^{(2)}(x, \tau; \gamma_2) + \xi_1 \gamma_1^2 S_{2,2}^{(2)}(x, \tau; \gamma_2) \right] - \frac{2\eta_1 \beta_{11}}{\pi} S_{3,1}^{(2)}(x, \tau) - \\
&\quad - \frac{\beta_3}{\pi} \left[2\eta_1 \beta_2 S_{2,1}^{(2)}(x, \tau; \gamma_1) + \xi_2 \gamma_2^2 S_{2,2}^{(2)}(x, \tau; \gamma_1) \right], \\
\sigma_{\sigma}^{(1)}(x, \tau) &= \frac{\beta_3}{\pi} \left[\xi_3 \gamma_1^2 S_{2,2}^{(1)}(x, \tau; \gamma_2) - \xi_4 \gamma_2^2 S_{2,2}^{(1)}(x, \tau; \gamma_1) \right], \\
\sigma_{\sigma}^{(2)}(x, \tau) &= \frac{\beta_3}{\pi} \left[\xi_3 \gamma_1^2 S_{2,2}^{(2)}(x, \tau; \gamma_2) - \xi_4 \gamma_2^2 S_{2,2}^{(2)}(x, \tau; \gamma_1) \right].
\end{aligned} \tag{2.35}$$

В последних формулах использованы следующие обозначения и функции:

$$\begin{aligned}
\xi_1 &= 2\eta_1 + \eta_2 + \eta_3 \beta_1, \quad \xi_2 = 2\eta_1 + \eta_2 + \eta_3 \beta_2, \quad \xi_3 = \eta_3 + \eta_4 \beta_1, \quad \xi_4 = \eta_3 + \eta_4 \beta_2, \\
\beta_{11} &= \frac{1}{\alpha_1 \gamma_1^2}, \quad \beta_{12} = \frac{\alpha_2 \gamma_2^2}{\alpha_1 \gamma_1^2};
\end{aligned} \tag{2.36}$$

$$\begin{aligned}
S_{1,1}^{(m)}(x, \tau) &= \frac{S_{1,12}^{(m)}(x, \tau) - S_{0,12}^{(m)}(x, \tau) P_1^{(m)}(x, \tau) - S_{0,11}^{(m)}(x, \tau) S_{1,11}^{(m)}(x, \tau)}{P_0^{(m)}(x, \tau)} + \\
&\quad + \frac{2S_{0,11}^{(m)}(x, \tau) P_1^{(m)}(x, \tau) [S_{0,11}^{(m)}(x, \tau) - 1]}{[P_0^{(m)}(x, \tau)]^2} \quad (m = 1, 2),
\end{aligned}$$

$$\begin{aligned}
S_{1,2}^{(m)}(x, \tau) &= \frac{S_{1,22}^{(m)}(x, \tau) - S_{0,22}^{(m)}(x, \tau)P_1^{(m)}(x, \tau) - S_{0,21}^{(m)}(x, \tau)S_{1,21}^{(m)}(x, \tau)}{P_0^{(m)}(x, \tau)} + \\
&\quad + \frac{2S_{0,21}^{(m)}(x, \tau)P_1^{(m)}(x, \tau)[S_{0,21}^{(m)}(x, \tau) - 1]}{[P_0^{(m)}(x, \tau)]^2}, \\
S_{2,1}^{(m)}(x, \tau; \gamma) &= \frac{S_{2,12}^{(m)}(x, \tau; \gamma) - S_{0,12}^{(m)}(x, \tau)P_2^{(m)}(x, \tau; \gamma) - S_{0,11}^{(m)}(x, \tau)S_{2,11}^{(m)}(x, \tau; \gamma)}{P_0^{(m)}(x, \tau)} + \\
&\quad + \frac{2S_{0,11}^{(m)}(x, \tau)P_2^{(m)}(x, \tau; \gamma)[S_{0,11}^{(m)}(x, \tau) - 1]}{[P_0^{(m)}(x, \tau)]^2}, \tag{2.37} \\
S_{2,2}^{(m)}(x, \tau) &= \frac{2S_{0,21}^{(m)}(x, \tau)P_2^{(m)}(x, \tau; \gamma)[S_{0,21}^{(m)}(x, \tau) - 1]}{[P_0^{(m)}(x, \tau)]^2} + \\
&\quad + \frac{S_{2,22}^{(m)}(x, \tau; \gamma) - S_{0,22}^{(m)}(x, \tau)P_2^{(m)}(x, \tau) - S_{0,21}^{(m)}(x, \tau)S_{2,21}^{(m)}(x, \tau; \gamma)}{P_0^{(m)}(x, \tau)} \\
S_3^{(m)}(x, s) &= \frac{S_{3,1}^{(m)}(x, \tau)}{P_0^{(m)}(x, s)} - \frac{S_{0,11}^{(m)}(x, \tau)P_3^{(m)}(x, s)}{[P_0^{(m)}(x, s)]^2},
\end{aligned}$$

$$\begin{aligned}
P_1^{(1)}(x, \tau) &= \tau^2 k_1(\tau^2, -x^2) k_2^2(x^2, -\tau^2), \\
P_1^{(2)}(x, \tau) &= k_1(\tau^2, -x^2) k_2^2(x^2, -\tau^2) \left[\tau^2 + \beta_{12} k_1(\tau^2, -x^2) k_3(\tau^2, -x^2) \right], \\
P_0^{(1)}(x, \tau) &= T^2(x^2, \tau^2) + \tau^4 k_2^2(-\tau^2, x^2), \\
P_0^{(2)}(x, \tau) &= T^2(x^2, \tau^2) + \tau^4 k_1^2(\tau^2, -x^2), \\
T(x, \tau) &= \tau k_1(\tau, -x) + \beta_{12} k_1(\tau, -x) k_2(-\tau, x) k_3(-\tau, x);
\end{aligned} \tag{2.38}$$

$$\begin{aligned}
S_{1,11}^{(1)}(x, \tau) &= \tau^2 x \left[-\gamma_1^2 k_2^2(-\tau^2, x^2) + 2\gamma_2^2 k_1^2(\tau^2, -x^2) \right] k_1^{-1/2}(\tau^2, -x^2), \\
S_{1,12}^{(1)}(x, \tau) &= -\gamma_1^2 \tau^2 k_2^2(x^2, -\tau^2) \left[k_1^4(\tau^2, -x^2)^2 - \gamma_1^2 x^2 \right] k_1^{-3/2}(\tau^2, -x^2) + \\
&\quad + \gamma_2^2 \tau^2 \left[k_1^2(\tau^2, -x^2) - 2\gamma_1^2 x^2 \right] k_1^{-1/2}(\tau^2, -x^2), \\
S_{1,11}^{(2)}(x, \tau) &= \tau^2 x \left[\gamma_2^2 k_1^2(\tau^2, -x^2) - \gamma_1^2 k_2^2(-\tau^2, x^2) \right] k_1^{-1/2}(\tau^2, -x^2) + \\
&\quad + 2\beta_{12} x k_3(\tau^2, -x^2) \left[\gamma_2^2 k_1^2(\tau^2, -x^2) - \gamma_1^2 k_2^2(-\tau^2, x^2) \right] - \\
&\quad - \beta_{12} \gamma_3^2 x k_1^2(\tau^2, -x^2) k_2^2(-\tau^2, x^2) k_3^{-1/2}(\tau^2, -x^2), \\
S_{1,12}^{(2)}(x, \tau) &= -\gamma_1^2 \tau^4 k_2^2(-\tau^2, x^2) k_1^{-3/2}(\tau^2, -x^2) + \\
&\quad + \gamma_2^2 \tau^2 \left[k_1^2(\tau^2, -x^2) - 3\gamma_1^2 x^2 \right] k_1^{-1/2}(\tau^2, -x^2) + \\
&\quad + 2\beta_{12} \left\{ \left[k_3^2(\tau^2, -x^2) - 2\gamma_3^2 x^2 \right] \left[\gamma_2^2 k_1^2(\tau^2, -x^2) - \gamma_1^2 k_2^2(-\tau^2, x^2) \right] - \right. \\
&\quad \left. - 4\gamma_1^2 \gamma_2^2 x^2 k_3^2(\tau^2, -x^2) \right\} k_3^{-1/2}(\tau^2, -x^2) - \\
&\quad - \beta_{12} \gamma_3^2 \tau^2 k_1^2(\tau^2, -x^2) k_2^2(-\tau^2, x^2) k_3^{-3/2}(\tau^2, -x^2), \\
S_{0,11}^{(1)}(x, \tau) &= 2\tau^6 x + 2\beta_{12}^2 x \left[\gamma_2^2 k_1^2(\tau^2, -x^2) k_3^2(-\tau^2, x^2) + \right. \\
&\quad \left. + \gamma_3^2 k_1^2(\tau^2, -x^2) k_2^2(-\tau^2, x^2) - \gamma_1^2 k_2^2(-\tau^2, x^2) k_3^2(-\tau^2, x^2) \right], \\
&\quad + 4\beta_{12} \tau^4 x k_2(-\tau^2, x^2) k_3(-\tau^2, x^2) + 2\gamma_2^2 \tau^4 x + \\
&\quad + 2\beta_{12} \tau^2 x k_1^2(\tau^2, -x^2) \left[k_2^2(-\tau^2, x^2) + k_3^2(-\tau^2, x^2) \right] k_2^{-1}(-\tau^2, x^2) k_3^{-1}(-\tau^2, x^2),
\end{aligned}$$

$$\begin{aligned}
S_{0,12}^{(1)}(x, \tau) &= 2\tau^6 + 8\beta_{12}^2 x^2 \left[k_1^2(\tau^2, -x^2) - k_2^2(-\tau^2, x^2) + k_3^2(\tau^2, -x^2) \right] + \\
&\quad + 2\beta_{12}^2 \left[\gamma_2^2 k_1^2(\tau^2, -x^2) k_3^2(-\tau^2, x^2) + \gamma_3^2 k_1^2(\tau^2, -x^2) k_2^2(-\tau^2, x^2) - \right. \\
&\quad \left. - \gamma_1^2 k_2^2(-\tau^2, x^2) k_3^2(-\tau^2, x^2) \right] + 4\beta_{12} \tau^4 k_2(-\tau^2, x^2) k_3(-\tau^2, x^2) + \\
&\quad + 2\beta_{12} \tau^2 \left\{ 2\tau^2 x^2 \left[\gamma_1^2 (\gamma_2^2 - \gamma_3^2) + k_2^2(-\tau^2, x^2) + k_3^2(-\tau^2, x^2) \right] + \right. \\
&\quad \left. + k_1^2(\tau^2, -x^2) \left[2\gamma_2^2 \gamma_3^2 x^2 + k_2^2(-\tau^2, x^2) + k_3^2(-\tau^2, x^2) \right] \right\} k_2^{-1/2}(\tau^2, -x^2) k_3^{-1/2}(\tau^2, -x^2), \\
&\quad - 2\beta_{12} \tau^2 x^2 k_1^2(\tau^2, -x^2) \left[\gamma_2^4 k_3^4(-\tau^2, x^2) + \right. \\
&\quad \left. + \gamma_3^4 k_2^4(-\tau^2, x^2) \right] k_2^{-3/2}(\tau^2, -x^2) k_3^{-3/2}(\tau^2, -x^2) + 2\gamma_2^2 \tau^4, \\
S_{0,11}^{(2)}(x, \tau) &= 2(\gamma_2^2 - \gamma_1^2) \tau^4 x + 4\beta_{12} \tau^2 \gamma_2^2 x k_1(\tau^2, -x^2) k_3(\tau^2, -x^2) - \\
&\quad - 2\beta_{12} \tau^2 x k_2^2(-\tau^2, x^2) \left[\gamma_1^2 k_3^2(\tau^2, -x^2) - \gamma_3^2 k_1^2(\tau^2, -x^2) \right] k_1^{-1/2}(\tau^2, -x^2) k_3^{-1/2}(\tau^2, -x^2) - \\
&\quad - 2\beta_{12} x \left[\gamma_1^2 k_1^{-2}(\tau^2, -x^2) - \gamma_2^2 k_2^{-2}(-\tau^2, x^2) + \right. \\
&\quad \left. + \gamma_3^2 k_3^{-2}(\tau^2, -x^2) \right] k_1^2(\tau^2, -x^2) k_2^2(-\tau^2, x^2) k_3^2(\tau^2, -x^2), \\
S_{0,12}^{(2)}(x, \tau) &= 2(\gamma_2^2 - \gamma_1^2) \tau^4 - 2\beta_{12} \left[\gamma_1^2 k_1^{-2}(\tau^2, -x^2) - \gamma_2^2 k_2^{-2}(-\tau^2, x^2) + \right. \\
&\quad \left. + \gamma_3^2 k_3^{-2}(\tau^2, -x^2) \right] k_1^2(\tau^2, -x^2) k_2^2(-\tau^2, x^2) k_3^2(\tau^2, -x^2) - \\
&\quad - 8\beta_{12} x^2 \left[\gamma_2^2 \gamma_3^2 k_1^2(\tau^2, -x^2) - \gamma_1^2 \gamma_3^2 k_2^2(-\tau^2, x^2) + \gamma_1^2 \gamma_2^2 k_3^2(\tau^2, -x^2) \right] - \\
&\quad - 2\beta_{12} \tau^2 \left\{ \left[k_2^2(-\tau^2, x^2) + 4\gamma_2^2 x^2 \right] \left[\gamma_1^2 k_3^2(\tau^2, -x^2) + \gamma_3^2 k_1^2(\tau^2, -x^2) \right] - \right. \\
&\quad \left. - 2 \left[\gamma_2^2 k_1^2(\tau^2, -x^2) k_3^2(\tau^2, -x^2) + \gamma_1^2 \gamma_3^2 x^2 k_2^2(-\tau^2, x^2) \right] \right\} k_1^{-1/2}(\tau^2, -x^2) k_3^{-1/2}(\tau^2, -x^2) - \\
&\quad - 2\beta_{12} \tau^2 x^2 (\gamma_2^2 x^2 - \tau^2) \left[\gamma_3^4 k_1^4(\tau^2, -x^2) - \gamma_1^4 k_3^4(\tau^2, -x^2) \right] k_1^{-3/2}(\tau^2, -x^2) k_3^{-3/2}(\tau^2, -x^2),
\end{aligned}$$

$$\begin{aligned}
S_{1,21}^{(1)}(x, \tau) &= \tau \left\{ \tau^2 \left[k_2^2(-\tau^2, x^2) - 2k_1^2(\tau^2, -x^2) \right] + \right. \\
&\quad \left. + 2k_1^2(\tau^2, -x^2) k_2^2(-\tau^2, x^2) \right\} k_1^{-1/2}(\tau^2, -x^2), \\
S_{1,22}^{(1)}(x, \tau) &= \left\{ (\gamma_2^2 x^2 - \tau^2) \left[2k_1^2(\tau^2, -x^2) + 5\tau^2 \right] - \right. \\
&\quad \left. - 2\tau^2 \left[5k_1^2(\tau^2, -x^2) + 2\tau^2 \right] \right\} k_1^{-1/2}(\tau^2, -x^2) - \\
&\quad - \tau^4 k_2^2(-\tau^2, x^2) k_1^{-3/2}(\tau^2, -x^2), \\
S_{1,21}^{(2)}(x, \tau) &= \left[2\tau k_1^2(\tau^2, -x^2) k_2^2(-\tau^2, x^2) + \tau^3 k_2^2(-\tau^2, x^2) - \right. \\
&\quad \left. - 2\tau^3 k_1^2(\tau^2, -x^2) \right] k_1^{-1/2}(\tau^2, -x^2) + \\
&\quad + 2\beta_{12} \tau k_3(\tau^2, -x^2) \left[k_2^2(-\tau^2, x^2) - k_1^2(\tau^2, -x^2) \right] + \\
&\quad + \beta_{12} \tau k_1^2(\tau^2, -x^2) k_2^2(-\tau^2, x^2) k_3^{-1/2}(\tau^2, -x^2), \\
S_{1,22}^{(2)}(x, \tau) &= \left\{ (\gamma_2^2 x^2 - \tau^2) \left[2k_1^2(\tau^2, -x^2) + 5\tau^2 \right] - 4\tau^4 \right\} k_1^{-1/2}(\tau^2, -x^2) - \\
&\quad - \tau^2 \left[\tau^2 (\gamma_2^2 x^2 - \tau^2) + 10k_1^4(\tau^2, -x^2) \right] k_1^{-3/2}(\tau^2, -x^2) + \\
&\quad + \beta_{12} k_3(\tau^2, -x^2) \left[2k_2^2(-\tau^2, x^2) - k_1^2(\tau^2, -x^2) - 6\tau^2 \right] + \\
&\quad + 4\beta_{12} \tau^2 \left[k_2^2(-\tau^2, x^2) - k_1^2(\tau^2, -x^2) \right] k_3^{-1/2}(\tau^2, -x^2) - \\
&\quad - \beta_{12} \gamma_3^2 x^2 k_1^2(\tau^2, -x^2) k_2^2(-\tau^2, x^2) k_3^{-3/2}(\tau^2, -x^2), \\
S_{0,21}^{(1)}(x, \tau) &= \left\{ 2 \left[k_1^2(\tau^2, -x^2) k_2^2(-\tau^2, x^2) - \tau^4 \right] + \right. \\
&\quad \left. + 5\tau^2 \left[k_2^2(-\tau^2, x^2) - k_1^2(\tau^2, -x^2) \right] \right\} k_1^{-1/2}(\tau^2, -x^2) k_2^{-1/2}(\tau^2, -x^2) + \\
&\quad + \tau^4 \left[k_1^2(\tau^2, -x^2) - k_2^2(-\tau^2, x^2) \right] k_1^{-1/2}(\tau^2, -x^2) k_2^{-1/2}(\tau^2, -x^2),
\end{aligned}$$

$$\begin{aligned}
S_{0,22}^{(1)}(x, \tau) = & \left[2k_1^4(\tau^2, -x^2) + 5\tau^2 k_1^2(\tau^2, -x^2) - \tau^4 \right] k_1^{-3/2}(\tau^2, -x^2) + \\
& + \beta_{12} \left\{ \left[k_2(-\tau^2, x^2) k_3(-\tau^2, x^2) - k_1(\tau^2, -x^2) k_3(-\tau^2, x^2) - \right. \right. \\
& \quad \left. \left. - k_1(\tau^2, -x^2) k_2(-\tau^2, x^2) \right] + 2\tau^2 \left[k_1^2(\tau^2, -x^2) - \right. \right. \\
& \quad \left. \left. - k_3^2(-\tau^2, x^2) - k_2^2(-\tau^2, x^2) \right] \right\} k_1^{-1/2}(\tau^2, -x^2) k_2^{-1/2}(\tau^2, -x^2) k_3^{-1/2}(\tau^2, -x^2) - \\
& - \beta_{12} \tau^2 \left[k_2^4(-\tau^2, x^2) k_3^4(-\tau^2, x^2) + k_1^4(\tau^2, -x^2) k_3^4(-\tau^2, x^2) - \right. \\
& \quad \left. - k_1^4(\tau^2, -x^2) k_2^4(-\tau^2, x^2) \right] k_1^{-3/2}(\tau^2, -x^2) k_2^{-3/2}(\tau^2, -x^2) k_3^{-3/2}(\tau^2, -x^2) + \\
& + 4\beta_{12} k_2(-\tau^2, x^2) k_3(-\tau^2, x^2) \left[5\tau^2 + k_1^2(\tau^2, -x^2) \right] - \\
& - 2\beta_{12} \tau^2 \left\{ 2 \left[k_2^2(-\tau^2, x^2) k_3^2(-\tau^2, x^2) + 2\tau^2 k_3^2(-\tau^2, x^2) + \right. \right. \\
& \quad \left. \left. + \tau^2 k_2^2(-\tau^2, x^2) \right] + k_1^2(\tau^2, -x^2) \left[5k_2^2(-\tau^2, x^2) + \right. \right. \\
& \quad \left. \left. + 5k_3^2(-\tau^2, x^2) + 2\tau^2 \right] \right\} k_2^{-1/2}(\tau^2, -x^2) k_3^{-1/2}(\tau^2, -x^2) - \\
& - 2\beta_{12} \tau^4 (\tau^2 - \gamma_1^2 x^2) \left[k_2^4(-\tau^2, x^2) + k_2^4(-\tau^2, x^2) \right] k_2^{-3/2}(\tau^2, -x^2) k_3^{-3/2}(\tau^2, -x^2) + \\
& + 12\tau^2 k_2^2(-\tau^2, x^2) - 18\tau^4, \\
S_{0,21}^{(2)}(x, \tau) = & 4\tau^3 \left[k_2^2(-\tau^2, x^2) + k_1(\tau^2, -x^2) \right] + 2\beta_{12}^2 \tau \left[k_2^2(-\tau^2, x^2) k_3^2(\tau^2, -x^2) - \right. \\
& \quad \left. - k_1^2(\tau^2, -x^2) k_3^2(\tau^2, -x^2) + k_1^2(\tau^2, -x^2) k_2^2(-\tau^2, x^2) \right] + \\
& + 4\beta_{12} \tau k_1(\tau^2, -x^2) k_3(\tau^2, -x^2) \left[k_2^2(-\tau^2, x^2) - \tau^2 \right] + \\
& + 2\beta_{12} \tau^3 k_2^2(-\tau^2, x^2) \left[k_1^2(\tau^2, -x^2) + k_3^2(\tau^2, -x^2) \right] k_1^{-1/2}(\tau^2, -x^2) k_2^{-1/2}(\tau^2, -x^2), \\
S_{0,22}^{(2)}(x, \tau; \gamma_1) = & 12\tau^2 \left[k_2^2(-\tau^2, x^2) + k_1^2(\tau^2, -x^2) \right] + 4\tau^4 - \\
& - 8\beta_{12}^2 \tau^2 \left[k_1^2(\tau^2, -x^2) - k_2^2(-\tau^2, x^2) + k_3^2(\tau^2, -x^2) \right] + \\
& + 2\beta_{12}^2 \left[k_2^2(-\tau^2, x^2) k_3^2(\tau^2, -x^2) - k_1^2(\tau^2, -x^2) k_3^2(\tau^2, -x^2) + \right. \\
& \quad \left. + k_1^2(\tau^2, -x^2) k_2^2(-\tau^2, x^2) \right] + 4\beta_{12} k_1(\tau^2, -x^2) k_3(\tau^2, -x^2) \left[k_2^2(-\tau^2, x^2) - 5\tau^2 \right] \\
& - 2\beta_{12} \tau^2 \left\{ 2\tau^2 \left[2k_1^2(\tau^2, -x^2) + 2k_3^2(\tau^2, -x^2) - k_2^2(-\tau^2, x^2) \right] - \right. \\
& \quad \left. - 5k_2^2(-\tau^2, x^2) \left[k_1^2(\tau^2, -x^2) + k_3^2(\tau^2, -x^2) \right] \right\} k_1^{-1/2}(\tau^2, -x^2) k_3^{-1/2}(\tau^2, -x^2) - \\
& - 2\beta_{12} \tau^4 k_2^2(-\tau^2, x^2) \left[k_1^4(\tau^2, -x^2) + k_3^4(\tau^2, -x^2) \right] k_1^{-3/2}(\tau^2, -x^2) k_3^{-3/2}(\tau^2, -x^2),
\end{aligned}$$

$$\begin{aligned}
\mathcal{S}_{2,11}^{(1)}(x, \tau; \gamma_1) &= \tau^2 x \left[k_1^2(\tau^2, -x^2) - k_2^2(x^2, -\tau^2) \right] k_1^{-1/2}(\tau^2, -x^2) k_2^{-1/2}(\tau^2, -x^2), \\
\mathcal{S}_{2,12}^{(1)}(x, \tau; \gamma_1) &= \tau^2 \left[\gamma_2^2 k_1^2(\tau^2, -x^2) - \gamma_1^2 k_2^2(x^2, -\tau^2) - \right. \\
&\quad \left. - 2\gamma_1^2 \gamma_2^2 x^2 \right] k_1^{-1/2}(\tau^2, -x^2) k_2^{-1}(x^2, -\tau^2) - \\
&\quad - \tau^2 x^2 \left[\gamma_1^4 k_2^4(x^2, -\tau^2) + \gamma_2^4 k_1^4(\tau^2, -x^2) \right] k_1^{-3/2}(\tau^2, -x^2) k_2^{-3}(x^2, -\tau^2), \\
\mathcal{S}_{2,11}^{(2)}(x, \tau; \gamma_1) &= x \left[-\gamma_1^2 k_2^2(-\tau^2, x^2) + \gamma_2^2 k_1^2(\tau^2, -x^2) \right] k_1^{-1/2}(\tau^2, -x^2) k_2^{-1/2}(\tau^2, -x^2) + \\
&+ \beta_{12} x k_1^2(\tau^2, -x^2) \left[\gamma_2^2 k_3^2(\tau^2, -x^2) - \gamma_3^2 k_2^2(-\tau^2, x^2) \right] k_1^{-1/2}(\tau^2, -x^2) k_3^{-1/2}(\tau^2, -x^2) - \\
&\quad - 2\beta_{12} \gamma_1^2 x (\gamma_2^2 x^2 - \tau^2)^{1/2} (\tau^2 - \gamma_3^2 x^2)^{1/2}, \\
\mathcal{S}_{2,12}^{(2)}(x, \tau; \gamma_1) &= \left[-\gamma_1^2 k_2^2(-\tau^2, x^2) + \gamma_2^2 k_1^2(\tau^2, -x^2) \right] k_1^{-1/2}(\tau^2, -x^2) k_2^{-1/2}(\tau^2, -x^2) - \\
&\quad - x^2 \left[\gamma_1^4 k_2^4(-\tau^2, x^2) - \gamma_2^4 k_1^4(\tau^2, -x^2) \right] k_1^{-3/2}(\tau^2, -x^2) k_2^{-3/2}(\tau^2, -x^2) - \\
&\quad - 2\beta_{12} \gamma_1^2 (\gamma_2^2 x^2 - \tau^2)^{1/2} (\tau^2 - \gamma_3^2 x^2)^{1/2} - \\
&\quad - 4\beta_{12} \gamma_1^2 x^2 \left[\gamma_2^2 k_3^2(\tau^2, -x^2) - \gamma_3^2 k_2^2(-\tau^2, x^2) \right] k_2^{-1/2}(\tau^2, -x^2) k_3^{-1/2}(\tau^2, -x^2) + \\
&+ \beta_{12} (\tau^2 - \gamma_1^2 x^2) \left[\gamma_2^2 k_3^2(\tau^2, -x^2) - \gamma_3^2 k_2^2(-\tau^2, x^2) - 2\gamma_2^2 \gamma_3^2 x^2 \right] k_2^{-1/2}(\tau^2, -x^2) k_3^{-1/2}(\tau^2, -x^2) - \\
&- \beta_{12} x^2 (\tau^2 - \gamma_1^2 x^2) \left[\gamma_2^4 k_3^4(\tau^2, -x^2) - \gamma_3^4 k_2^4(-\tau^2, x^2) \right] k_2^{-3/2}(\tau^2, -x^2) k_3^{-3/2}(\tau^2, -x^2), \\
\mathcal{S}_{2,11}^{(1)}(x, \tau; \gamma_2) &= \mathcal{S}_{2,11}^{(2)}(x, \tau; \gamma_2) = \mathcal{S}_{2,11}^{(1)}(x, \tau; \gamma_1), \\
\mathcal{S}_{2,12}^{(1)}(x, \tau; \gamma_2) &= \mathcal{S}_{2,12}^{(2)}(x, \tau; \gamma_2) = \mathcal{S}_{2,12}^{(1)}(x, \tau; \gamma_1).
\end{aligned}$$

$$\begin{aligned}
S_{2,21}^{(1)}(x, \tau; \gamma_1) &= 2\tau k_1(\tau^2, -x^2)k_2(x^2, -\tau^2) + \\
&\quad + \tau^3 \left[k_2^2(x^2, -\tau^2) - k_1^2(\tau^2, -x^2) \right] k_1^{-1/2}(\tau^2, -x^2) k_2^{-1/2}(\tau^2, -x^2), \\
S_{2,22}^{(1)}(x, \tau; \gamma_1) &= 2k_1(\tau^2, -x^2)k_2(x^2, -\tau^2) + \\
&\quad + \tau^2 \left[5k_2^2(-\tau^2, x^2) - 5k_1^2(\tau^2, -x^2) - 2\tau^2 \right] k_1^{-1/2}(\tau^2, -x^2) k_2^{-1/2}(\tau^2, -x^2) + \\
&\quad + \tau^4 \left[k_1^4(\tau^2, -x^2) - k_2^4(x^2, -\tau^2) \right] k_1^{-3/2}(\tau^2, -x^2) k_2^{-3/2}(\tau^2, -x^2), \\
S_{2,21}^{(2)}(x, \tau; \gamma_1) &= 2\tau k_1(\tau^2, -x^2)k_2(-\tau^2, x^2) + \\
&\quad + 2\beta_{12}\tau k_2(-\tau^2, x^2)k_3(\tau^2, -x^2) \left[k_1^2(\tau^2, -x^2) + \tau^2 \right] + \\
&\quad + \tau^3 \left[k_2^2(-\tau^2, x^2) - k_1^2(\tau^2, -x^2) \right] k_1^{-1/2}(\tau^2, -x^2) k_2^{-1/2}(\tau^2, -x^2) - \\
&\quad - \beta_{12}\tau^3 k_1^2(\tau^2, -x^2) \left[k_3^2(\tau^2, -x^2) - k_2^2(-\tau^2, x^2) \right] k_2^{-1/2}(\tau^2, -x^2) k_3^{-1/2}(\tau^2, -x^2), \\
S_{2,22}^{(2)}(x, \tau; \gamma_1) &= 2 \left[k_1^2(\tau^2, -x^2)k_2^2(-\tau^2, x^2) - \tau^4 \right] k_1^{-1/2}(\tau^2, -x^2) k_2^{-1/2}(\tau^2, -x^2) + \\
&\quad + 5\tau^2 \left[k_2^2(-\tau^2, x^2) - k_1^2(\tau^2, -x^2) \right] k_1^{-1/2}(\tau^2, -x^2) k_2^{-1/2}(\tau^2, -x^2) - \\
&\quad - \tau^4 \left[k_1^4(\tau^2, -x^2) + k_2^4(-\tau^2, x^2) \right] k_1^{-3/2}(\tau^2, -x^2) k_2^{-3/2}(\tau^2, -x^2) + \\
&\quad + 2\beta_{12}k_2(-\tau^2, x^2)k_3(\tau^2, -x^2) \left[k_1^2(\tau^2, -x^2) + 5\tau^2 \right] - \\
&\quad - \beta_{12}\tau^2 \left\{ 5k_1^2(\tau^2, -x^2) \left[k_3^2(\tau^2, -x^2) - k_2^2(-\tau^2, x^2) \right] + \right. \\
&\quad \left. + 4\tau^2 \left[k_3^2(\tau^2, -x^2) - k_2^2(-\tau^2, x^2) \right] \right\} k_2^{-1/2}(\tau^2, -x^2) k_3^{-1/2}(\tau^2, -x^2) - \\
&\quad - \beta_{12}\tau^4 k_1^2(\tau^2, -x^2) \left[k_2^4(-\tau^2, x^2) + k_3^4(\tau^2, -x^2) \right] k_2^{-3/2}(\tau^2, -x^2) k_3^{-3/2}(\tau^2, -x^2),
\end{aligned}$$

$$S_{2,21}^{(1)}(x, \tau; \gamma_2) = S_{2,21}^{(2)}(x, \tau; \gamma_2) = S_{2,21}^{(1)}(x, \tau; \gamma_1),$$

$$S_{2,22}^{(1)}(x, \tau; \gamma_2) = S_{2,22}^{(2)}(x, \tau; \gamma_2) = S_{2,22}^{(1)}(x, \tau; \gamma_1),$$

$$\begin{aligned}
S_{3,1}^{(1)}(x, \tau) &= \frac{3}{2} \beta_3 \gamma_1^2 x k_1(\tau^2, -x^2) \left\{ \tau^2 \left[k_2^2(-\tau^2, x^2) + k_3^2(-\tau^2, x^2) \right] - \right. \\
&\quad \left. - 2k_2^2(-\tau^2, x^2) k_3^2(-\tau^2, x^2) \right\} - \\
&\quad - \beta_3 x k_1^{3/2}(\tau^2, -x^2) \left[\tau^2 (\gamma_2^2 + \gamma_3^2) - 2\gamma_2^2 k_{23}^2(-\tau^2, x^2) - 2\gamma_3^2 k_2^2(-\tau^2, x^2) \right], \\
S_{3,1}^{(2)}(x, \tau) &= \frac{3}{2} \beta_3 \gamma_1^2 x k_1(\tau^2, -x^2) \left\{ \tau^2 \left[k_2^2(-\tau^2, x^2) - k_3^2(\tau^2, -x^2) \right] - \right. \\
&\quad \left. - 2k_2^2(-\tau^2, x^2) k_3^2(\tau^2, -x^2) \right\} + \\
&\quad + \beta_3 x k_1^{3/2}(\tau^2, -x^2) \left[\tau^2 (\gamma_2^2 - \gamma_3^2) - 2\gamma_2^2 k_3^2(\tau^2, -x^2) + 2\gamma_3^2 k_2^2(-\tau^2, x^2) \right].
\end{aligned}$$

Из (2.34) и (2.35) следует, что $\Gamma_{13,1}(x, \tau)$ - четная, а $\Gamma_{33,1}(x, \tau)$ и $\Gamma_{\sigma,1}(x, \tau)$ - нечетные функции по x . Тогда, применяя для первой из них утверждение 1 при $\nu = 1$, а для двух других утверждение 2 при $\nu = 0$, получаем следующие результаты:

$$\begin{aligned}
G_{0rzu}^{(1)}(r, \tau) &= 2C_1 r \int_0^r \frac{\Gamma_{13,1}(x, \tau)}{(r^2 - x^2)^{3/2}} dx, \quad G_{0zzu}^{(1)}(r, \tau) = 2C_2 \int_0^r \frac{x \Gamma_{33,1}(x, \tau)}{(r^2 - x^2)^{3/2}} dx, \\
G_{0\sigma u}^{(1)}(r, \tau) &= 2C_3 \int_0^r \frac{x \Gamma_{\sigma,1}(x, \tau)}{(r^2 - x^2)^{3/2}} dx.
\end{aligned} \tag{2.39}$$

$$\begin{aligned}
\Gamma_{13,1}(x, \tau) &= \sigma_{13}^{(2)}(x, \tau) \left[H(|x| - \tau/\gamma_2) - H(|x| - \tau/\gamma_3) \right] + \\
&\quad + \sigma_{13}^{(1)}(x, \tau) \left[H(|x| - \tau/\gamma_3) - H(|x| - \tau/\gamma_1) \right], \\
\Gamma_{33,1}(x, \tau) &= \sigma_{33}^{(2)}(x, \tau) \left[H(|x| - \tau/\gamma_2) - H(|x| - \tau/\gamma_3) \right] + \\
&\quad + \sigma_{33}^{(1)}(x, \tau) \left[H(|x| - \tau/\gamma_3) - H(|x| - \tau/\gamma_1) \right], \\
\Gamma_{\sigma,1}(x, \tau) &= \sigma_{\sigma}^{(2)}(x, \tau) \left[H(|x| - \tau/\gamma_2) - H(|x| - \tau/\gamma_3) \right] + \\
&\quad + \sigma_{\sigma}^{(1)}(x, \tau) \left[H(|x| - \tau/\gamma_3) - H(|x| - \tau/\gamma_1) \right].
\end{aligned} \tag{2.40}$$

В развернутом виде соотношения (2.39) записываются так:

$$\begin{aligned}
G_{0rzu}^{(1)}(r, \tau) = & 2rC_1 \left\{ J \left[\sigma_{13}^{(1)}(x, \tau); \tau/\gamma_3, r \right] \left[H(\tau - \gamma_1 r) - H(\tau - \gamma_3 r) \right] + \right. \\
& + J \left[\sigma_{13}^{(1)}(x, \tau); \tau/\gamma_3, \tau/\gamma_1 \right] H(\gamma_1 r - \tau) + \\
& + J \left[\sigma_{13}^{(2)}(x, \tau); \tau/\gamma_2, r \right] \left[H(\tau - \gamma_3 r) - H(\tau - \gamma_2 r) \right] + \\
& \left. + J \left[\sigma_{13}^{(2)}(x, \tau); \tau/\gamma_2, \tau/\gamma_3 \right] H(\gamma_3 r - \tau) \right\}; \tag{2.41}
\end{aligned}$$

$$\begin{aligned}
G_{0zzu}^{(1)} = & 2C_2 \left\{ J \left[x\sigma_{33}^{(1)}(x, \tau); \tau/\gamma_3, r \right] \left[H(\tau - r\gamma_1) - H(\tau - r\gamma_3) \right] + \right. \\
& + J \left[x\sigma_{33}^{(1)}(x, \tau); \tau/\gamma_3, \tau/\gamma_1 \right] H(\gamma_1 r - \tau) + \\
& + J \left[x\sigma_{33}^{(2)}(x, \tau); \tau/\gamma_2, r \right] \left[H(\tau - r\gamma_3) - H(\tau - r\gamma_2) \right] + \\
& \left. + J \left[x\sigma_{33}^{(2)}(x, \tau); \tau/\gamma_2, \tau/\gamma_3 \right] H(\gamma_3 r - \tau) \right\}; \tag{2.42}
\end{aligned}$$

$$\begin{aligned}
G_{0\sigma u}^{(1)} = & 2C_3 \left\{ J \left[x\sigma_{\sigma}^{(1)}(x, \tau); \tau/\gamma_3, r \right] \left[H(\tau - r\gamma_1) - H(\tau - r\gamma_3) \right] + \right. \\
& + J \left[x\sigma_{\sigma}^{(1)}(x, \tau); \tau/\gamma_3, \tau/\gamma_1 \right] H(\gamma_1 r - \tau) + \\
& + J \left[x\sigma_{\sigma}^{(2)}(x, \tau); \tau/\gamma_2, r \right] \left[H(\tau - r\gamma_3) - H(\tau - r\gamma_2) \right] + \\
& \left. + J \left[x\sigma_{\sigma}^{(2)}(x, \tau); \tau/\gamma_2, \tau/\gamma_3 \right] H(\gamma_3 r - \tau) \right\}. \tag{2.43}
\end{aligned}$$

Здесь

$$C_1 = -\frac{\eta_1}{2\pi}, C_2 = -\frac{\eta_1}{2\pi}, C_3 = -\frac{1}{2\pi}. \tag{2.44}$$

В этих формулах использовано следующее обозначение:

$$J \left[f(x, \tau); x_1, x_2 \right] = \int_{x_1}^{x_2} \frac{f(x, \tau)}{(r^2 - x^2)^{3/2}} dx. \tag{2.45}$$

В них и далее учтено, что для многих материалов имеют место неравенства

$$\gamma_1 < \gamma_3 < \gamma_2.$$

Если точка $x = r$ принадлежит отрезку интегрирования, то интегралы в (2.41) - (2.43) понимаются в смысле регуляризованных значений. В частности,

$$\begin{aligned}
 J[f(x, \tau); a, r] &= \int_a^r \frac{f(x, \tau) - f(r, \tau)}{(r^2 - x^2)^{3/2}} dx - \frac{af(r, \tau)}{r^2 \sqrt{r^2 - a^2}}, \\
 J[xf(x, \tau); a, r] &= \int_a^r \frac{x[f(x, \tau) - f(r, \tau)]}{(r^2 - x^2)^{3/2}} dx - \frac{f(r, \tau)}{\sqrt{r^2 - a^2}}.
 \end{aligned}
 \tag{2.46}$$

2.6. Примеры расчетов

В качестве заполняющего полуплоскость материала рассматриваем песчаник, поры которого насыщены керосином, со следующими физическими характеристиками [15, 43]:

$$\begin{aligned}
 A &= 0,4026 \cdot 10^4 \text{ МПа}, N = 0,2493 \cdot 10^3 \text{ МПа}, R = 0,672 \cdot 10^4 \text{ МПа}, \\
 Q &= 0,295 \cdot 10^4 \text{ МПа}, \rho_{11} = 0,6087 \cdot 10^{-3} \text{ кг/м}^3, \\
 \rho_{22} &= 0,2159 \cdot 10^{-3} \text{ кг/м}^3, \rho_{12} = -0,19 \cdot 10^{-5} \text{ кг/м}^3.
 \end{aligned}$$

Этим величинам соответствуют следующие значения безразмерных параметров:

$$\begin{aligned}
 \beta_0 &= 0,3; \beta_1 = 0,8757; \beta_2 = -10,3287; \beta_3 = 0,0088; \gamma_1 = 1; \gamma_2 = 2,1612; \\
 \gamma_3 &= 1,963; \eta_1 = 0,055099; \eta_2 = 0,889802; \eta_3 = 0,651991; \eta_4 = 1,485214.
 \end{aligned}$$

Результаты расчетов представлены на рис. 2.1 - 2.3 в виде графиков функций влияния (на осях ординат указаны соответствующие напряжения). Сплошные кривые соответствуют моменту времени $\tau = 0,15$, точечные - $\tau = 0,3$, а пунктирные - $\tau = 0,45$. Отметим, что разрывы второго рода на графиках имеют место в точках, соответствующих поверхностным волнам типа Рэлея.

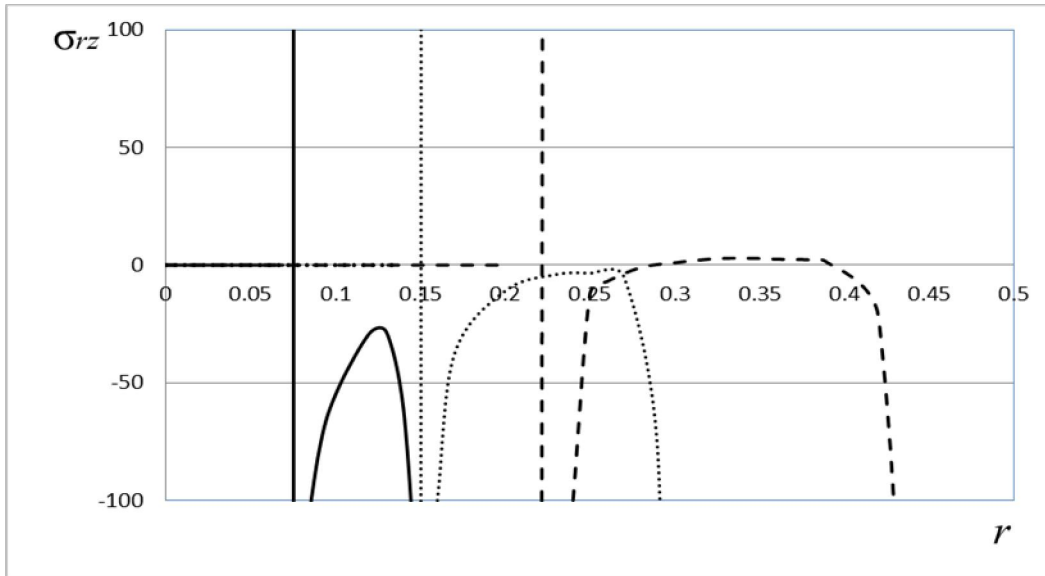


Рис. 2.1.

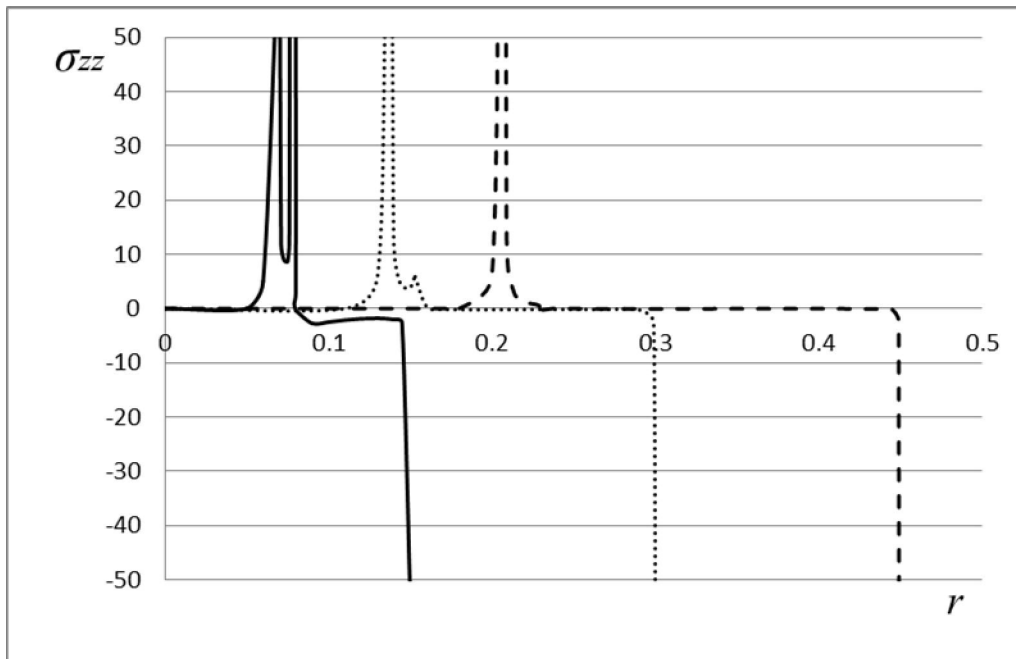


Рис. 2.2.

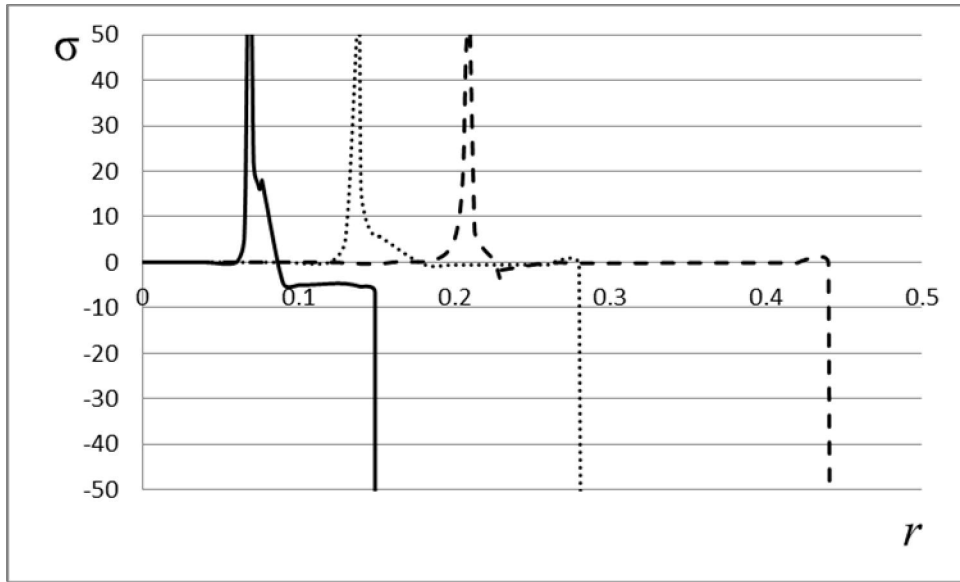


Рис. 2.3.

Глава 3

Полупространство под действием силовых возмущений (граничные условия второй группы)

3.1. Изображения функций влияния первой подгруппы

Аналогично главе 2 к граничным условиям (1.33) применяем указанные в п.2.1 интегральные преобразования:

$$\sigma_{rz}^{HL} \Big|_{z=0} = \frac{1}{2\pi}, \quad \sigma_{zz}^{HL} \Big|_{z=0} = \sigma^{HL} \Big|_{z=0} = 0. \quad (3.1)$$

Постановка соотношений (2.6) в граничные условия (3.1) приводит к подобной (2.9) системе линейных алгебраических уравнений к относительно столбца постоянных интегрирования \mathbf{C} [20, 25]:

$$\mathbf{A}_2 \mathbf{C} = -\frac{1}{2\pi} \mathbf{b}_1, \quad (3.2)$$

где

$$\mathbf{A}_2 = \begin{pmatrix} 2qk_1(q^2, s^2) & 2qk_2(q^2, s^2) & -\kappa_3(q^2, s^2) \\ \kappa_1(q^2, s^2) & \kappa_2(q^2, s^2) & -2qk_3(q^2, s^2) \\ s^2 \lambda_{231} \gamma_1^2 & s^2 \lambda_{232} \gamma_2^2 & 0 \end{pmatrix}.$$

Её решение имеет вид:

$$\begin{aligned} C_l &= (-1)^{3-l} \lambda_{23(3-l)} \gamma_{3-l}^2 \frac{qk_3(q^2, s^2)}{\pi R_1(q^2, s^2)} \quad (l=1, 2), \\ C_3 &= \frac{\lambda_{231} \gamma_1^2 \kappa_2(q^2, s^2) - \lambda_{232} \gamma_2^2 \kappa_1(q^2, s^2)}{2\pi R_1(q^2, s^2)}, \end{aligned} \quad (3.3)$$

где

$$R_1(q, s) = -\lambda_{231}\gamma_1^2 \left[\kappa_2(q^2, s^2)\kappa_3(q^2, s^2) - 4q^2k_2(q^2, s^2)k_3(q^2, s^2) \right] - \\ - \lambda_{232}\gamma_2^2 \left[4q^2k_1(q^2, s^2)k_3(q^2, s^2) - \kappa_1(q^2, s^2)\kappa_3(q^2, s^2) \right]. \quad (3.4)$$

Учитывая эти равенства, из (2.5) и (2.6) находим изображения функций влияния:

$$G_{urz}^{(2)HL}(r, \tau, z) = u^{HL} = \sum_{j=1}^3 u_j^{HL}(q, s) E_j(q, z, s), \\ G_{w_{rz}}^{(2)HL}(r, \tau, z) = w^{HL} = \sum_{j=1}^3 w_j^{HL}(q, s) E_j(q, z, s), \\ G_{U_{rz}}^{(2)HL}(r, \tau, z) = U^{HL} = \sum_{j=1}^3 U_j^{HL}(q, s) E_j(q, z, s), \\ G_{W_{rz}}^{(2)HL}(r, \tau, z) = W^{HL} = \sum_{j=1}^3 W_j^{HL}(q, s) E_j(q, z, s); \quad (3.5)$$

$$G_{r_{rz}}^{(2)HL}(r, \tau, z) = \sigma_{rz}^{HL} = \sum_{j=1}^3 \sigma_{rzj}^{HL}(q, s) E_j(q, z, s), \\ G_{zz_{rz}}^{(2)HL}(r, \tau, z) = \sigma_{zz}^{HL} = \sum_{j=1}^3 \sigma_{zzj}^{HL}(q, s) E_j(q, z, s), \\ G_{\sigma_{rz}}^{(2)HL}(r, \tau, z) = \sigma^{HL} = \sum_{l=1}^2 \sigma_l^{HL}(q, s) E_j(q, z, s). \quad (3.6)$$

Здесь

$$\begin{aligned}
u_l^{HL} &= (-1)^{3-l} \lambda_{23(3-l)} \gamma_{3-l}^2 \frac{q^2 k_3(q^2, s^2)}{\pi R_1(q^2, s^2)}, \\
u_3^{HL} &= k_3(q^2, s^2) \frac{\lambda_{231} \gamma_1^2 \kappa_2(q^2, s^2) - \lambda_{232} \gamma_2^2 \kappa_1(q^2, s^2)}{2\pi R_1(q^2, s^2)}, \\
w_1^{HL} &= (-1)^{3-l} \lambda_{23(3-l)} \gamma_{3-l}^2 \frac{q k_l(q^2, s^2) k_3(q^2, s^2)}{\pi R_1(q^2, s^2)}, \\
w_3^{HL} &= q \frac{\lambda_{231} \gamma_1^2 \kappa_2(q^2, s^2) - \lambda_{232} \gamma_2^2 \kappa_1(q^2, s^2)}{2\pi R_1(q^2, s^2)}, \\
U_j^{HL} &= \beta_j u_j^{HL}, \quad W_j^{HL} = \beta_j w_j^{HL};
\end{aligned} \tag{3.7}$$

$$\begin{aligned}
\sigma_{rzl}^{HL} &= (-1)^{3-l} 2\lambda_{23(3-l)} \gamma_{(3-l)}^2 \frac{q^2 k_3(q^2, s^2) k_l(q^2, s^2)}{\pi R_1(q^2, s^2)}, \\
\sigma_{rz3}^{HL} &= \kappa_3(q^2, s^2) \frac{\lambda_{231} \gamma_1^2 \kappa_2(q^2, s^2) - \lambda_{232} \gamma_2^2 \kappa_1(q^2, s^2)}{2\pi R_1(q^2, s^2)}, \\
\sigma_{zxl}^{HL} &= (-1)^{3-l} \lambda_{23(3-l)} \gamma_{(3-l)}^2 \frac{q \kappa_l(q^2, s^2) k_3(q^2, s^2)}{\pi R_1(q^2, s^2)}, \\
\sigma_{zz3}^{HL} &= q k_3(q^2, s^2) \frac{\lambda_{231} \gamma_1^2 \kappa_2(q^2, s^2) - \lambda_{232} \gamma_2^2 \kappa_1(q^2, s^2)}{\pi R_1(q^2, s^2)}, \\
\sigma_l^{HL} &= (-1)^{3-l} \lambda_{23l} \gamma_l^2 \lambda_{23(3-l)} \gamma_{(3-l)}^2 \frac{q s^2 k_3(q^2, s^2)}{\pi R_1(q^2, s^2)}.
\end{aligned} \tag{3.8}$$

3.2. Изображения функций влияния второй подгруппы

В этом варианте изображения соответствующих граничных условий (1.35) записывается так:

$$\sigma_{rz}|_{z=0} = 0, \quad \sigma_{zz}|_{z=0} = \frac{1}{2\pi}, \quad \sigma_l|_{z=0} = 0. \tag{3.9}$$

Постановка соотношений (2.6) в граничные условия (3.9) приводит к аналогичной (3.2) системе линейных алгебраических уравнений (столбец \mathbf{b}_2 указан в (2.17)) [19, 21]:

$$\mathbf{A}_2 \mathbf{C} = \frac{1}{2\pi} \mathbf{b}_2. \quad (3.10)$$

Её решение имеет вид

$$\begin{aligned} C_l &= (-1)^l \lambda_{23(3-l)} \gamma_{(3-l)}^2 \frac{\kappa_3(q^2, s^2)}{2\pi R_1(q^2, s^2)} \quad (l=1, 2) \\ C_3 &= -q \frac{\lambda_{231} \gamma_1^2 k_2(q^2, s^2) - \lambda_{232} \gamma_2^2 k_1(q^2, s^2)}{\pi R_1(q^2, s^2)}. \end{aligned} \quad (3.11)$$

В результате изображения перемещений и напряжений (соответствующие функции влияния) записываются так:

$$\begin{aligned} G_{uzz}^{(2)HL}(r, \tau, z) &= u^{HL} = \sum_{j=1}^3 u_j^{HL}(q, s) E_j(q, z, s), \\ G_{wzz}^{(2)HL}(r, \tau, z) &= w^{HL} = \sum_{j=1}^3 w_j^{HL}(q, s) E_j(q, z, s), \\ G_{Uzz}^{(2)HL}(r, \tau, z) &= U^{HL} = \sum_{j=1}^3 U_j^{HL}(q, s) E_j(q, z, s), \\ G_{Wzz}^{(2)HL}(r, \tau, z) &= W^{HL} = \sum_{j=1}^3 W_j^{HL}(q, s) E_j(q, z, s); \end{aligned} \quad (3.12)$$

$$\begin{aligned}
G_{rz}^{(2)HL}(r, \tau, z) &= \sigma_{rz}^{HL} = \sum_{j=1}^3 \sigma_{rzj}^{HL}(q, s) E_j(q, z, s), \\
G_{zz}^{(2)HL}(r, \tau, z) &= \sigma_{zz}^{HL} = \sum_{j=1}^3 \sigma_{zzj}^{HL}(q, s) E_j(q, z, s), \\
G_{\sigma rz}^{(2)HL}(r, \tau, z) &= \sigma_{\sigma rz}^{HL} = \sum_{l=1}^2 \sigma_l^{HL}(q, s) E_j(q, z, s).
\end{aligned} \tag{3.13}$$

Здесь

$$\begin{aligned}
u_l^{HL} &= (-1)^l \lambda_{23(3-l)} \gamma_{(3-l)}^2 \frac{q \kappa_3(q^2, s^2)}{2\pi R_1(q^2, s^2)}, \\
u_3^{HL} &= -k_3(q^2, s^2) q \frac{\lambda_{231} \gamma_1^2 k_2(q^2, s^2) - \lambda_{232} \gamma_2^2 k_1(q^2, s^2)}{\pi R_1(q^2, s^2)}, \\
w_1^{HL} &= (-1)^l \lambda_{23(3-l)} \gamma_{(3-l)}^2 \frac{\kappa_3(q^2, s^2) k_l(q^2, s^2)}{2\pi R_1(q^2, s^2)}, \\
w_3^{HL} &= -q^2 \frac{\lambda_{231} \gamma_1^2 k_2(q^2, s^2) - \lambda_{232} \gamma_2^2 k_1(q^2, s^2)}{\pi R_1(q^2, s^2)}, \\
U_j^{HL} &= \beta_j u_j^{HL}, \quad W_j^{HL} = \beta_j w_j^{HL};
\end{aligned} \tag{3.14}$$

$$\begin{aligned}
\sigma_{rzl}^{HL} &= (-1)^{3-l} \lambda_{23(3-l)} \gamma_{(3-l)}^2 \frac{q \kappa_3(q^2, s^2) k_l(q^2, s^2)}{\pi R_1(q^2, s^2)}, \\
\sigma_{rz3}^{HL} &= q \kappa_3(q^2, s^2) \frac{\lambda_{231} \gamma_1^2 k_2(q^2, s^2) - \lambda_{232} \gamma_2^2 k_1(q^2, s^2)}{\pi R_1(q^2, s^2)}, \\
\sigma_{zzl}^{HL} &= (-1)^{3-l} \lambda_{23(3-l)} \gamma_{(3-l)}^2 \frac{\kappa_3(q^2, s^2) \kappa_l(q^2, s^2)}{2\pi R_1(q^2, s^2)}, \\
\sigma_{zz3}^{HL} &= 2q^2 k_3(q^2, s^2) \frac{\lambda_{231} \gamma_1^2 k_2(q^2, s^2) - \lambda_{232} \gamma_2^2 k_1(q^2, s^2)}{\pi R_1(q^2, s^2)}, \\
\sigma_l^{HL} &= (-1)^{3-l} \lambda_{23l} \gamma_l^2 \lambda_{23(3-l)} \gamma_{(3-l)}^2 \frac{s^2 \kappa_3(q^2, s^2)}{2\pi R_1(q^2, s^2)}.
\end{aligned} \tag{3.15}$$

3.3. Изображения функций влияния третьей подгруппы

В этой случае используем изображения граничных условий (1.37):

$$\sigma_{rz}^{HL} \Big|_{z=0} = 0, \quad \sigma_{zz}^{HL} \Big|_{z=0} = 0, \quad \sigma^{HL} \Big|_{z=0} = \frac{1}{2\pi}. \quad (3.16)$$

Постановка соотношений (2.6) в граничные условия (3.16) приводит к системе линейных алгебраических уравнений (3.10) с измененной правой частью относительно постоянных интегрирования (столбец \mathbf{b}_3 указан в (2.24)) [20, 21]:

$$\mathbf{A}_2 \mathbf{C} = \frac{1}{2\pi} \mathbf{b}_3. \quad (3.17)$$

Вычисляя её решение

$$C_l = (-1)^{3-l} \frac{\kappa_{3-l}(q^2, s^2) \kappa_3(q^2, s^2) - 4q^2 k_{3-l}(q^2, s^2) k_3(q^2, s^2)}{2\pi s^2 R_1(q^2, s^2)},$$

$$C_3 = -q \frac{\kappa_1(q^2, s^2) k_2(q^2, s^2) - \kappa_2(q^2, s^2) k_1(q^2, s^2)}{\pi s^2 R_1(q^2, s^2)},$$

из (2.5) и (2.6) находим искомые функции влияния:

$$G_{u\sigma}^{(2)HL}(r, \tau, z) = u^{HL} = \sum_{j=1}^3 u_j^{HL}(q, s) E_j(q, z, s),$$

$$G_{w\sigma}^{(2)HL}(r, \tau, z) = w^{HL} = \sum_{j=1}^3 w_j^{HL}(q, s) E_j(q, z, s),$$

$$G_{U\sigma}^{(2)HL}(r, \tau, z) = U^{HL} = \sum_{j=1}^3 U_j^{HL}(q, s) E_j(q, z, s), \quad (3.18)$$

$$G_{W\sigma}^{(2)HL}(r, \tau, z) = W^{HL} = \sum_{j=1}^3 W_j^{HL}(q, s) E_j(q, z, s);$$

$$\begin{aligned}
G_{rz}^{(2)HL}(r, \tau, z) &= \sigma_{rz}^{HL} = \sum_{j=1}^3 \sigma_{rzj}^{HL}(q, s) E_j(q, z, s), \\
G_{zz}^{(2)HL}(r, \tau, z) &= \sigma_{zz}^{HL} = \sum_{j=1}^3 \sigma_{zzj}^{HL}(q, s) E_j(q, z, s), \\
G_{\sigma rz}^{(2)HL}(r, \tau, z) &= \sigma_{\sigma rz}^{HL} = \sum_{l=1}^2 \sigma_l^{HL}(q, s) E_j(q, z, s).
\end{aligned} \tag{3.19}$$

Здесь

$$\begin{aligned}
u_l^{HL} &= (-1)^{3-l} q \frac{\kappa_{3-l}(q^2, s^2) \kappa_3(q^2, s^2) - 4q^2 k_{3-l}(q^2, s^2) k_3(q^2, s^2)}{2\pi s^2 R_1(q^2, s^2)}, \\
u_3^{HL} &= -q k_3(q^2, s^2) \frac{\kappa_1(q^2, s^2) k_2(q^2, s^2) - \kappa_2(q^2, s^2) k_1(q^2, s^2)}{\pi s^2 R_1(q^2, s^2)}, \\
w_1^{HL} &= (-1)^{3-l} k_l(q^2, s^2) \frac{\kappa_{3-l}(q^2, s^2) \kappa_3(q^2, s^2) - 4q^2 k_{3-l}(q^2, s^2) k_3(q^2, s^2)}{2\pi s^2 R_1(q^2, s^2)}, \\
w_3^{HL} &= -q^2 \frac{\kappa_1(q^2, s^2) k_2(q^2, s^2) - \kappa_2(q^2, s^2) k_1(q^2, s^2)}{\pi s^2 R_1(q^2, s^2)}, \\
U_j^{HL} &= \beta_j u_j^{HL}, \quad W_j^{HL} = \beta_j w_j^{HL};
\end{aligned} \tag{3.20}$$

$$\begin{aligned}
\sigma_{rzl}^{HL} &= (-1)^l q \frac{\kappa_{3-l}(q^2, s^2) \kappa_3(q^2, s^2) - 4q^2 k_{3-l}(q^2, s^2) k_3(q^2, s^2)}{\pi s^2 R_1(q^2, s^2)}, \\
\sigma_{rz3}^{HL} &= q \kappa_3(q^2, s^2) \frac{\kappa_1(q^2, s^2) k_2(q^2, s^2) - \kappa_2(q^2, s^2) k_1(q^2, s^2)}{\pi s^2 R_1(q^2, s^2)}, \\
\sigma_{zjl}^{HL} &= (-1)^l \kappa_l(q^2, s^2) \frac{\kappa_{3-l}(q^2, s^2) \kappa_3(q^2, s^2) - 4q^2 k_{3-l}(q^2, s^2) k_3(q^2, s^2)}{2\pi s^2 R_1(q^2, s^2)}, \\
\sigma_{zz3}^{HL} &= 2q^2 \frac{\kappa_1(q^2, s^2) k_2(q^2, s^2) - \kappa_2(q^2, s^2) k_1(q^2, s^2)}{\pi s^2 R_1(q^2, s^2)}, \\
\sigma_l^{HL} &= (-1)^l \lambda_{23l} \gamma_l^2 \frac{\kappa_{3-l}(q^2, s^2) \kappa_3(q^2, s^2) - 4q^2 k_{3-l}(q^2, s^2) k_3(q^2, s^2)}{2\pi R_1(q^2, s^2)}.
\end{aligned} \tag{3.21}$$

3.4. Оригиналы функций влияния второй группы

Поскольку оригиналы всех функций влияния находятся аналогично, то ограничимся только третьей подгруппой. При этом будем рассматривать только напряжения на границе $z=0$. Соответствующие нетривиальные изображения определяются формулами (3.18) и (3.20):

$$\begin{aligned} G_{0u\sigma}^{(2)HL} &= G_{u\sigma}^{(2)HL} \Big|_{z=0} = \sum_{j=1}^3 u_j^{HL}(q, s, 0), & G_{0w\sigma}^{(2)HL} &= G_{w\sigma}^{(2)HL} \Big|_{z=0} = \sum_{j=1}^3 w_j^{HL}(q, s, 0), \\ G_{0U\sigma}^{(2)HL} &= G_{U\sigma}^{(2)HL} \Big|_{z=0} = \sum_{j=1}^3 U_j^{HL}(q, s, 0), & G_{0W\sigma}^{(2)HL} &= G_{W\sigma}^{(2)HL} \Big|_{z=0} = \sum_{j=1}^3 W_j^{HL}(q, s, 0). \end{aligned} \quad (3.22)$$

Сравнение этих функций с изображениями функций влияния $\tilde{\Gamma}_{u,2}^{(2)}(x, \tau)$ и $\tilde{\Gamma}_{w,2}^{(2)}(x, \tau)$ для плоской задачи [46-48] показывает, что имеют место равенства:

$$\begin{aligned} G_{0u\sigma}^{(2)HL}(q, s) &= \frac{\eta_1 i}{2\pi} \tilde{\Gamma}_{u,2}^{FL}(q, s), & G_{0w\sigma}^{(2)HL}(q, s) &= -\frac{\eta_1}{2\pi} \tilde{\Gamma}_{w,2}^{FL}(q, s), \\ G_{0U\sigma}^{(2)HL} &= \frac{\eta_1 i}{2\pi} \tilde{\Gamma}_{U,2}^{FL}(q, s), & G_{0W\sigma}^{(2)HL} &= -\frac{\eta_1}{2\pi} \tilde{\Gamma}_{W,2}^{FL}(q, s). \end{aligned} \quad (3.23)$$

При этом функции $\tilde{\Gamma}_{u,2}^{(2)}(x, \tau)$ и $\tilde{\Gamma}_{w,2}^{(2)}(x, \tau)$ имеют вид:

$$\begin{aligned} \tilde{\Gamma}_{u,2}^{(2)}(x, \tau) &= \sum_{k=1}^3 \tilde{u}^{(k)}(x, \tau) H(\tau - \gamma_k |x|), \\ \tilde{\Gamma}_{U,2}^{(2)}(x, \tau) &= \sum_{k=1}^3 \tilde{U}^{(k)}(x, \tau) H(\tau - \gamma_k |x|), \\ \tilde{\Gamma}_{w,2}^{(2)}(x, \tau) &= \sum_{k=1}^3 \tilde{w}^{(k)}(x, \tau) H(\tau - \gamma_k |x|), \\ \tilde{\Gamma}_{W,2}^{(2)}(x, \tau) &= \sum_{k=1}^3 \tilde{W}^{(k)}(x, \tau) H(\tau - \gamma_k |x|). \end{aligned} \quad (3.24)$$

Здесь

$$\begin{aligned}
\tilde{u}^{(1)}(x, \tau) &= u^{(2)}(x, \tau), \quad \tilde{w}^{(1)}(x, \tau) = w^{(2)}(x, \tau), \\
\tilde{u}^{(2)}(x, \tau) &= u^{(4)}(x, \tau) - u^{(3)}(x, \tau), \quad \tilde{u}^{(3)}(x, \tau) = u^{(3)}(x, \tau) - u^{(2)}(x, \tau), \\
\tilde{w}^{(2)}(x, \tau) &= w^{(4)}(x, \tau) - w^{(3)}(x, \tau), \quad \tilde{w}^{(3)}(x, \tau) = w^{(3)}(x, \tau) - w^{(2)}(x, \tau), \\
\tilde{U}^{(1)}(x, \tau) &= U^{(2)}(x, \tau), \quad \tilde{W}^{(1)}(x, \tau) = W^{(2)}(x, \tau) \\
\tilde{U}^{(2)}(x, \tau) &= U^{(4)}(x, \tau) - U^{(3)}(x, \tau), \quad \tilde{U}^{(3)}(x, \tau) = U^{(3)}(x, \tau) - U^{(2)}(x, \tau) \\
\tilde{W}^{(2)}(x, \tau) &= W^{(4)}(x, \tau) - W^{(3)}(x, \tau), \quad \tilde{W}^{(3)}(x, \tau) = W^{(3)}(x, \tau) - W^{(2)}(x, \tau),
\end{aligned} \tag{3.25}$$

где

$$\begin{aligned}
u^{(2)}(x, \tau) &= -\beta_{11} \frac{\operatorname{sign} x}{\pi} \tau_+ + \frac{(\beta_{12} - 1)\tau}{\pi Q_0^{(1)}(x, \tau)} \left[-4\kappa_3 \frac{\tau^2}{x^2} Q_1^{(2)}(x, \tau) - \chi_1 \tau^2 Q_{21}^{(2)}(x, \tau) + \right. \\
&\quad \left. + \chi_2 x^2 Q_{22}^{(2)}(x, \tau) - 4\chi_3 \frac{\tau^4}{x^2} Q_{23}^{(2)}(x, \tau) \right] - 2\beta_{11} Q_5(x, \tau) - \\
&\quad - \frac{8\chi_3 \tau^3}{\pi Q_0^{(1)}(x, \tau)} \left[\beta_{12} Q_3^{(2)}(x, \tau; \gamma_1) + \frac{Q_3^{(2)}(x, \tau; \gamma_2)}{x^2} \right] + \\
&\quad + \frac{2(\beta_{12} + 1)\tau}{\pi Q_{(0)}^{(1)}(x, \tau)} \left[\chi_1 \tau^2 Q_{41}^{(2)}(x, \tau; \gamma_1) - \chi_2 x^2 Q_{42}^{(2)}(x, \tau; \gamma_1) + 4\chi_3 \frac{\tau^4}{x^2} Q_{43}^{(2)}(x, \tau; \gamma_1) \right], \\
u^{(3)}(x, \tau) &= -\beta_{11} \frac{\operatorname{sign} x}{\pi} \tau_+ + \frac{(\beta_{12} - 1)\tau}{\pi Q_0^{(2)}(x, \tau)} \left[-4\chi_3 \frac{\tau^2}{x^2} Q_1^{(3)}(x, \tau) + \chi_1 \tau^2 Q_{21}^{(3)}(x, \tau) + \right. \\
&\quad \left. - \chi_2 x^2 Q_{22}^{(3)}(x, \tau) + 4\chi_3 \frac{\tau^4}{x^2} Q_{23}^{(3)}(x, \tau) \right] + \\
&\quad + \frac{8\chi_3 \tau^3}{\pi Q_0^{(2)}(x, \tau)} \left[\beta_{12} Q_3^{(3)}(x, \tau; \gamma_1) - \frac{Q_3^{(3)}(x, \tau; \gamma_2)}{x^2} \right] - \\
&\quad - \frac{2(\beta_{12} + 1)\tau}{\pi Q_{(0)}^{(2)}(x, \tau)} \left[\chi_1 \tau^2 Q_{41}^{(3)}(x, \tau; \gamma_1) - \chi_2 x^2 Q_{42}^{(3)}(x, \tau; \gamma_1) + 4\chi_3 \frac{\tau^4}{x^2} Q_{43}^{(3)}(x, \tau; \gamma_1) \right], \\
u^{(4)}(x, \tau) &= -\beta_{11} \frac{\operatorname{sign} x}{\pi} \tau_+,
\end{aligned}$$

$$\begin{aligned}
U^{(2)}(x, \tau) = & -\beta_{11}\beta_1 \frac{\text{sign}x}{\pi} \tau_+ + \frac{(\beta_{12}\beta_1 - \beta_2)\tau}{\pi Q_0^{(1)}(x, \tau)} \left[4\kappa_3 \frac{\tau^2}{x^2} Q_1^{(2)}(x, \tau) - \kappa_1 \tau^2 Q_{21}^{(2)}(x, \tau) + \right. \\
& \left. + \kappa_2 x^2 Q_{22}^{(2)}(x, \tau) - 4\kappa_3 \frac{\tau^4}{x^2} Q_{23}^{(2)}(x, \tau) \right] + 2\beta_{11}\beta_3 Q_5(x, \tau) - \\
& - \frac{8\kappa_3\beta_3\tau^3}{\pi Q_0^{(1)}(x, \tau)} \left[\beta_{12} Q_3^{(2)}(x, \tau; \gamma_1) + \frac{Q_3^{(2)}(x, \tau; \gamma_2)}{x^2} \right] - \\
& - \frac{2\beta_3\beta_{12}\tau}{\pi Q_{(0)}^{(1)}(x, \tau)} \left[\kappa_1 \tau^2 Q_{41}^{(2)}(x, \tau; \gamma_1) - \kappa_2 x^2 Q_{42}^{(2)}(x, \tau; \gamma_1) + 4\kappa_3 \frac{\tau^4}{x^2} Q_{43}^{(2)}(x, \tau; \gamma_1) \right] - \\
& - \frac{2\beta_3\tau}{\pi Q_{(0)}^{(1)}(x, \tau)} \left[\kappa_1 \tau^2 Q_{41}^{(2)}(x, \tau; \gamma_2) - \kappa_2 x^2 Q_{42}^{(2)}(x, \tau; \gamma_2) + 4\kappa_3 \frac{\tau^4}{x^2} Q_{43}^{(2)}(x, \tau; \gamma_2) \right],
\end{aligned}$$

$$\begin{aligned}
U^{(3)}(x, \tau) = & -\beta_{11}\beta_1 \frac{\text{sign}x}{\pi} \tau_+ + \frac{(\beta_{12}\beta_1 - \beta_2)\tau}{\pi Q_0^{(2)}(x, \tau)} \left[-4\kappa_3 \frac{\tau^2}{x^2} Q_1^{(3)}(x, \tau) + \kappa_1 \tau^2 Q_{21}^{(3)}(x, \tau) - \right. \\
& \left. - \kappa_2 x^2 Q_{22}^{(3)}(x, \tau) + 4\kappa_3 \frac{\tau^4}{x^2} Q_{23}^{(3)}(x, \tau) \right] + \\
& + \frac{8\kappa_3\beta_3\tau^3}{\pi Q_0^{(2)}(x, \tau)} \left[\beta_{12} Q_3^{(3)}(x, \tau; \gamma_1) - \frac{Q_3^{(3)}(x, \tau; \gamma_2)}{x^2} \right] + \\
& + \frac{2\beta_3\beta_{12}\tau}{\pi Q_{(0)}^{(2)}(x, \tau)} \left[\kappa_1 \tau^2 Q_{41}^{(3)}(x, \tau; \gamma_1) - \kappa_2 x^2 Q_{42}^{(3)}(x, \tau; \gamma_1) + 4\kappa_3 \frac{\tau^4}{x^2} Q_{43}^{(3)}(x, \tau; \gamma_1) \right] + \\
& + \frac{2\beta_3\tau}{\pi Q_{(0)}^{(2)}(x, \tau)} \left[\kappa_1 \tau^2 Q_{41}^{(3)}(x, \tau; \gamma_2) - \kappa_2 x^2 Q_{42}^{(3)}(x, \tau; \gamma_2) + 4\kappa_3 \frac{\tau^4}{x^2} Q_{43}^{(3)}(x, \tau; \gamma_2) \right],
\end{aligned}$$

$$U^{(4)}(x, \tau) = -\beta_{11}\beta_1 \frac{\text{sign}x}{\pi} \tau_+;$$

$$\begin{aligned}
w^{(2)}(x, \tau) = & -\beta_{11}Q_{10}(x, \tau) - \frac{4\chi_3\tau^2}{\pi x^2 Q_0^{(1)}(x, \tau)} \left[\beta_{12}Q_6^{(2)}(x, \tau; \gamma_1) + Q_6^{(2)}(x, \tau, \gamma_2) \right] + \\
& + \frac{\chi_1\tau^2}{\pi Q_0^{(1)}(x, \tau)} \left[\beta_{12}Q_7^{(2)}(x, \tau; \gamma_1) + Q_7^{(2)}(x, \tau, \gamma_2) \right] + \\
& + \frac{\chi_2x^2}{\pi Q_0^{(1)}(x, \tau)} \left[\beta_{12}Q_8^{(2)}(x, \tau; \gamma_1) - Q_8^{(2)}(x, \tau, \gamma_2) \right] + \\
& + \frac{4\chi_3\tau^4}{\pi x^2 Q_0^{(1)}(x, \tau)} \left[\beta_{12}Q_9^{(2)}(x, \tau; \gamma_1) + Q_9^{(2)}(x, \tau, \gamma_2) \right],
\end{aligned}$$

$$\begin{aligned}
w^{(3)}(x, \tau) = & -\beta_{11}Q_{10}(x, \tau) + \frac{4\chi_3\tau^2}{\pi x^2 Q_0^{(2)}(x, \tau)} \left[\beta_{12}Q_6^{(3)}(x, \tau; \gamma_1) + Q_6^{(3)}(x, \tau, \gamma_2) \right] - \\
& - \frac{\chi_1\tau^2}{\pi Q_0^{(2)}(x, \tau)} \left[\beta_{12}Q_7^{(3)}(x, \tau; \gamma_1) + Q_7^{(3)}(x, \tau, \gamma_2) \right] - \\
& - \frac{\chi_2x^2}{\pi Q_0^{(2)}(x, \tau)} \left[\beta_{12}Q_8^{(3)}(x, \tau; \gamma_1) + Q_8^{(3)}(x, \tau, \gamma_2) \right] + \\
& + \frac{4\chi_3\tau^4}{\pi x^2 Q_0^{(2)}(x, \tau)} \left[\beta_{12}Q_9^{(3)}(x, \tau; \gamma_1) - Q_9^{(3)}(x, \tau, \gamma_2) \right],
\end{aligned}$$

$$w^{(4)}(x, \tau) = -\beta_{11}Q_{10}(x, \tau).$$

$$\begin{aligned}
W^{(2)}(x, \tau) = & -\beta_{11}\beta_1 Q_{10}(x, \tau) - \frac{4\kappa_3\tau^2}{\pi x^2 Q_0^{(1)}(x, \tau)} \left[\beta_{12}\beta_1 Q_6^{(2)}(x, \tau; \gamma_1) + \beta_2 Q_6^{(2)}(x, \tau, \gamma_2) \right] + \\
& + \frac{\kappa_1\tau^2}{\pi Q_0^{(1)}(x, \tau)} \left[\beta_{12}\beta_1 Q_7^{(2)}(x, \tau; \gamma_1) + \beta_2 Q_7^{(2)}(x, \tau, \gamma_2) \right] + \\
& + \frac{\kappa_2 x^2}{\pi Q_0^{(1)}(x, \tau)} \left[\beta_{12}\beta_1 Q_8^{(2)}(x, \tau; \gamma_1) - \beta_2 Q_8^{(2)}(x, \tau, \gamma_2) \right] + \\
& + \frac{4\kappa_3\tau^4}{\pi x^2 Q_0^{(1)}(x, \tau)} \left[\beta_{12}\beta_1 Q_9^{(2)}(x, \tau; \gamma_1) + \beta_2 Q_9^{(2)}(x, \tau, \gamma_2) \right] - \\
& - 2\beta_{11}\beta_3 Q_{11}(x, \tau) + \frac{8\kappa_3\beta_3\tau^4}{\pi x^2 Q_0^{(1)}(x, \tau)} \left[\beta_{12} Q_{12}^{(2)}(x, \tau; \gamma_1) + Q_{12}^{(2)}(x, \tau, \gamma_2) \right] + \\
& + \frac{2\kappa_1\beta_3\tau^4}{\pi Q_0^{(1)}(x, \tau)} \left[\beta_{12} Q_{13}^{(2)}(x, \tau; \gamma_1) - Q_{13}^{(2)}(x, \tau, \gamma_2) \right] + \\
& + \frac{2\kappa_2\beta_3\tau^2 x^2}{\pi Q_0^{(1)}(x, \tau)} \left[\beta_{12} Q_{14}^{(2)}(x, \tau; \gamma_1) + Q_{14}^{(2)}(x, \tau, \gamma_2) \right] - \\
& - \frac{8\kappa_3\beta_3\tau^6}{\pi x^2 Q_0^{(1)}(x, \tau)} \left[\beta_{12} Q_{15}^{(2)}(x, \tau; \gamma_1) + Q_{15}^{(2)}(x, \tau, \gamma_2) \right] + \left. \vphantom{\frac{8\kappa_3\beta_3\tau^6}{\pi x^2 Q_0^{(1)}(x, \tau)}} \right\};
\end{aligned}$$

$$\begin{aligned}
W^{(3)}(x, \tau) = & -\beta_{11}\beta_1 Q_{10}(x, \tau) + \frac{4\kappa_3\tau^2}{\pi x^2 Q_0^{(2)}(x, \tau)} \left[\beta_{12}\beta_1 Q_6^{(3)}(x, \tau; \gamma_1) + \beta_2 Q_6^{(3)}(x, \tau, \gamma_2) \right] - \\
& - \frac{\kappa_1\tau^2}{\pi Q_0^{(2)}(x, \tau)} \left[\beta_{12}\beta_1 Q_7^{(3)}(x, \tau; \gamma_1) + \beta_2 Q_7^{(3)}(x, \tau, \gamma_2) \right] - \\
& - \frac{\kappa_2 x^2}{\pi Q_0^{(2)}(x, \tau)} \left[\beta_{12}\beta_1 Q_8^{(3)}(x, \tau; \gamma_1) + \beta_2 Q_8^{(3)}(x, \tau, \gamma_2) \right] + \\
& + \frac{4\kappa_3\tau^4}{\pi x^2 Q_0^{(2)}(x, \tau)} \left[\beta_{12}\beta_1 Q_9^{(3)}(x, \tau; \gamma_1) - \beta_2 Q_9^{(3)}(x, \tau, \gamma_2) \right] - \\
& - 2\beta_{11}\beta_3 Q_{11}(x, \tau) - \frac{8\beta_3\kappa_3\tau^4}{\pi x^2 Q_0^{(2)}(x, \tau)} \left[\beta_{12} Q_{12}^{(3)}(x, \tau; \gamma_1) + Q_{12}^{(3)}(x, \tau, \gamma_2) \right] + \\
& - \frac{2\beta_3\kappa_1\tau^4}{\pi Q_0^{(2)}(x, \tau)} \left[\beta_{12} Q_{13}^{(3)}(x, \tau; \gamma_1) + Q_{13}^{(3)}(x, \tau, \gamma_2) \right] + \\
& + \frac{2\beta_3\kappa_2\tau^2 x^2}{\pi Q_0^{(2)}(x, \tau)} \left[\beta_{12} Q_{14}^{(3)}(x, \tau; \gamma_1) - Q_{14}^{(3)}(x, \tau, \gamma_2) \right] - \\
& - \frac{8\beta_3\kappa_3\tau^6}{\pi x^2 Q_0^{(2)}(x, \tau)} \left[\beta_{12} Q_{15}^{(3)}(x, \tau; \gamma_1) - Q_{15}^{(3)}(x, \tau, \gamma_2) \right] \Bigg\}, \\
W^{(4)}(x, \tau) = & -\beta_{11}\beta_1 Q_{10}(x, \tau) - \beta_{11}\beta_1 Q_{11}(x, \tau);
\end{aligned}$$

В этих формулах использованы обозначения в дополнение к (2.36)

$$\chi_1 = 2 \left[-(\xi_1 \gamma_1^2 + \gamma_3^2 \eta_1) \right], \chi_2 = -\gamma_3^2 \xi_1 \gamma_1^2, \chi_3 = \eta_1,$$

и следующие функции:

$$Q_{20}^{(1)}(x, \tau) = -4\eta_1 \xi_3 \gamma_1^2 \tau^2 \sqrt{\gamma_3^2 x^2 - \tau^2} \sqrt{\gamma_2^2 x^2 - \tau^2},$$

$$Q_{30}^{(1)}(x, \tau) = 4\eta_1 \xi_4 \gamma_2^2 \tau^2 \sqrt{\tau^2 - \gamma_1^2 x^2} \sqrt{\gamma_3^2 x^2 - \tau^2},$$

$$Q_{20}^{(2)}(x, \tau) = 4\eta_1 \xi_3 \gamma_1^2 \text{sign}x \tau^2 \sqrt{\tau^2 - \gamma_3^2 x^2} \sqrt{\gamma_2^2 x^2 - \tau^2},$$

$$Q_{30}^{(2)}(x, \tau) = -4\eta_1 \xi_4 \gamma_2^2 \tau^2 \sqrt{\tau^2 - \gamma_1^2 x^2} \sqrt{\tau^2 - \gamma_3^2 x^2},$$

$$Q_{40}(x, \tau) = (\gamma_3^2 x^2 - 2\tau^2) \left[\xi_3 \gamma_1^2 (\xi_2 \gamma_2^2 x^2 - 2\eta_1 \tau^2) - \xi_4 \gamma_2^2 (\xi_1 \gamma_1^2 x^2 - 2\eta_1 \tau^2) \right],$$

$$Q_0^{(1)}(x, \tau) = \left[Q_{20}^{(1)}(x, \tau) + Q_{40}(x, \tau) \right]^2 + \left[Q_{30}^{(1)}(x, \tau) \right]^2,$$

$$Q_0^{(2)}(x, \tau) = \left[Q_{30}^{(2)}(x, \tau) + Q_{40}(x, \tau) \right]^2 + \left[Q_{20}^{(2)}(x, \tau) \right]^2;$$

$$Q_1^{(2)}(x, \tau) = \frac{Q_{30}^{(1)}(x, \tau)}{4\eta_1 \xi_4 \gamma_2^2 \tau^2} \left[Q_{20}^{(1)}(x, \tau) + Q_{40}(x, \tau) \right], \quad Q_1^{(3)}(x, \tau) = -\frac{Q_{30}^{(2)}(x, \tau)}{4\eta_1 \xi_4 \gamma_2^2 \tau^2} Q_{20}^{(2)}(x, \tau),$$

$$Q_{21}^{(2)}(x, \tau) = Q_{30}^{(1)}(x, \tau), \quad Q_{21}^{(3)}(x, \tau) = Q_{20}^{(2)}(x, \tau);$$

$$Q_{22}^{(2)}(x, \tau) = Q_{30}^{(1)}(x, \tau), \quad Q_{22}^{(3)}(x, \tau) = Q_{20}^{(2)}(x, \tau);$$

$$Q_{23}^{(2)}(x, \tau) = Q_{30}^{(1)}(x, \tau), \quad Q_{23}^{(3)}(x, \tau) = Q_{20}^{(2)}(x, \tau);$$

$$Q_3^{(2)}(x, \tau; \gamma_1) = \frac{(\gamma_1^2 x^2 - \tau^2)(\gamma_3^2 x^2 - \tau^2)}{(\gamma_1^2 x^2 - 2\tau^2)} Q_{20}^{(1)}(x, \tau),$$

$$Q_3^{(3)}(x, \tau; \gamma_1) = \frac{(\gamma_1^2 x^2 - \tau^2)(\gamma_3^2 x^2 - \tau^2)}{(\gamma_1^2 x^2 - 2\tau^2)} Q_{20}^{(2)}(x, \tau);$$

$$Q_3^{(2)}(x, \tau; \gamma_2) = \frac{\text{sign}x \sqrt{\tau^2 - \gamma_1^2 x^2} \sqrt{\gamma_2^2 x^2 - \tau^2} (\gamma_3^2 x^2 - \tau^2)}{(\gamma_1^2 x^2 - 2\tau^2)} \left[Q_{20}^{(1)}(x, \tau) + Q_{40}(x, \tau) \right],$$

$$Q_3^{(3)}(x, \tau; \gamma_2) = \frac{\text{sign}x \sqrt{\tau^2 - \gamma_1^2 x^2} \sqrt{\gamma_2^2 x^2 - \tau^2} (\gamma_3^2 x^2 - \tau^2)}{(\gamma_1^2 x^2 - 2\tau^2)} \left[Q_{30}^{(2)}(x, \tau) + Q_{40}(x, \tau) \right],$$

$$Q_{41}^{(2)}(x, \tau; \gamma_1) = \frac{\text{sign}x \sqrt{\tau^2 - \gamma_1^2 x^2} \sqrt{\gamma_3^2 x^2 - \tau^2}}{\gamma_3^2 x^2 - 2\tau^2} \left[Q_{20}^{(1)}(x, \tau) + Q_{40}(x, \tau) \right],$$

$$Q_{41}^{(3)}(x, \tau; \gamma_1) = \frac{\sqrt{\tau^2 - \gamma_1^2 x^2} \sqrt{\tau^2 - \gamma_3^2 x^2}}{\gamma_3^2 x^2 - 2\tau^2} Q_{20}^{(2)}(x, \tau),$$

$$Q_{41}^{(2)}(x, \tau; \gamma_2) = \frac{\sqrt{\gamma_3^2 x^2 - \tau^2} \sqrt{\gamma_2^2 x^2 - \tau^2}}{\gamma_3^2 x^2 - 2\tau^2} Q_{30}^{(1)}(x, \tau),$$

$$Q_{41}^{(3)}(x, \tau; \gamma_2) = \frac{\text{sign}x \sqrt{\gamma_2^2 x^2 - \tau^2} \sqrt{\tau^2 - \gamma_3^2 x^2}}{\gamma_3^2 x^2 - 2\tau^2} \left[Q_{30}^{(2)}(x, \tau) + Q_{40}(x, \tau) \right],$$

$$Q_{42}^{(2)}(x, \tau; \gamma_1) = Q_{41}^{(2)}(x, \tau; \gamma_1), Q_{42}^{(3)}(x, \tau; \gamma_1) = Q_{41}^{(3)}(x, \tau; \gamma_1);$$

$$Q_{42}^{(2)}(x, \tau; \gamma_2) = Q_{41}^{(2)}(x, \tau; \gamma_2), Q_{42}^{(3)}(x, \tau; \gamma_2) = Q_{41}^{(3)}(x, \tau; \gamma_2);$$

$$Q_{43}^{(2)}(x, \tau; \gamma_1) = Q_{42}^{(2)}(x, \tau; \gamma_1), Q_{43}^{(3)}(x, \tau; \gamma_1) = Q_{42}^{(3)}(x, \tau; \gamma_1);$$

$$Q_{43}^{(2)}(x, \tau; \gamma_2) = Q_{42}^{(2)}(x, \tau; \gamma_2); Q_{43}^{(3)}(x, \tau; \gamma_2) = Q_{42}^{(3)}(x, \tau; \gamma_2);$$

$$Q_5(x, \tau) = -\frac{\tau \text{ sign}x \sqrt{\tau^2 - \gamma_1^2 x^2} \sqrt{\gamma_3^2 x^2 - \tau^2}}{\pi x^2 (\gamma_3^2 x^2 - 2\tau^2)},$$

$$Q_6^{(2)}(x, \tau; \gamma_1) = \text{sign}x (\gamma_1^2 x^2 - \tau^2) \sqrt{\gamma_3^2 x^2 - \tau^2} Q_{30}^{(1)}(x, \tau),$$

$$Q_6^{(3)}(x, \tau; \gamma_1) = \text{sign}x (\gamma_1^2 x^2 - \tau^2) \sqrt{\tau^2 - \gamma_3^2 x^2} \left[Q_{30}^{(2)}(x, \tau) + Q_{40}(x, \tau) \right];$$

$$Q_6^{(2)}(x, \tau; \gamma_2) = \sqrt{\tau^2 - \gamma_1^2 x^2} \sqrt{\gamma_3^2 x^2 - \tau^2} \sqrt{\gamma_2^2 x^2 - \tau^2} \left[Q_{20}^{(1)}(x, \tau) + Q_{40}(x, \tau) \right],$$

$$Q_6^{(3)}(x, \tau; \gamma_2) = \sqrt{\tau^2 - \gamma_1^2 x^2} \sqrt{\tau^2 - \gamma_3^2 x^2} \sqrt{\gamma_2^2 x^2 - \tau^2} Q_{20}^{(2)}(x, \tau);$$

$$Q_7^{(2)}(x, \tau; \gamma_1) = \sqrt{\tau^2 - \gamma_1^2 x^2} \left[Q_{20}^{(1)}(x, \tau) + Q_{40}(x, \tau) \right],$$

$$Q_7^{(3)}(x, \tau; \gamma_1) = \sqrt{\tau^2 - \gamma_1^2 x^2} \left[Q_{30}^{(2)}(x, \tau) + Q_{40}(x, \tau) \right];$$

$$Q_7^{(2)}(x, \tau; \gamma_2) = \sqrt{\gamma_2^2 x^2 - \tau^2} Q_{30}^{(1)}(x, \tau), Q_7^{(3)}(x, \tau; \gamma_2) = \sqrt{\gamma_2^2 x^2 - \tau^2} Q_{20}^{(2)}(x, \tau);$$

$$Q_9^{(2)}(x, \tau; \gamma_1) = Q_8^{(2)}(x, \tau; \gamma_1) = Q_7^{(2)}(x, \tau; \gamma_1);$$

$$Q_9^{(3)}(x, \tau; \gamma_1) = Q_8^{(3)}(x, \tau; \gamma_1) = Q_7^{(3)}(x, \tau; \gamma_1);$$

$$Q_9^{(2)}(x, \tau; \gamma_2) = Q_8^{(2)}(x, \tau; \gamma_2) = Q_7^{(2)}(x, \tau; \gamma_2);$$

$$Q_9^{(3)}(x, \tau; \gamma_2) = Q_8^{(3)}(x, \tau; \gamma_2) = Q_7^{(3)}(x, \tau; \gamma_2);$$

$$Q_{11}(x, \tau) = \frac{\tau^2 \sqrt{\tau^2 - \gamma_1^2 x^2}}{\pi x^2 \gamma_3^2 x^2 - 2\tau^2}; \quad Q_{12}^{(2)}(x, \tau; \gamma_1) = \frac{(\gamma_1^2 x^2 - \tau^2) \sqrt{\gamma_3^2 x^2 - \tau^2}}{\gamma_1^2 x^2 - 2\tau^2} Q_{30}^{(1)}(x, \tau),$$

$$Q_{12}^{(3)}(x, \tau; \gamma_1) = \frac{(\gamma_1^2 x^2 - \tau^2) \sqrt{\tau^2 - \gamma_3^2 x^2}}{\gamma_3^2 x^2 - 2\tau^2} [Q_{30}^{(2)}(x, \tau) + Q_{40}(x, \tau)];$$

$$Q_{12}^{(2)}(x, \tau; \gamma_2) = \frac{\sqrt{\tau^2 - \gamma_1^2 x^2} \sqrt{\gamma_3^2 x^2 - \tau^2} \sqrt{\gamma_2^2 x^2 - \tau^2}}{\gamma_3^2 x^2 - 2\tau^2} [Q_{20}^{(1)}(x, \tau) + Q_{40}(x, \tau)],$$

$$Q_{12}^{(3)}(x, \tau; \gamma_2) = \frac{\sqrt{\tau^2 - \gamma_1^2 x^2} \sqrt{\tau^2 - \gamma_3^2 x^2} \sqrt{\gamma_2^2 x^2 - \tau^2}}{\gamma_3^2 x^2 - 2\tau^2} Q_{20}^{(2)}(x, \tau);$$

$$Q_{13}^{(2)}(x, \tau; \gamma_1) = \frac{\sqrt{\tau^2 - \gamma_1^2 x^2}}{\gamma_3^2 x^2 - 2\tau^2} [Q_{20}^{(1)}(x, \tau) + Q_{40}(x, \tau)],$$

$$Q_{13}^{(3)}(x, \tau; \gamma_1) = \frac{\sqrt{\tau^2 - \gamma_1^2 x^2}}{\gamma_3^2 x^2 - 2\tau^2} [Q_{30}^{(2)}(x, \tau) + Q_{40}(x, \tau)];$$

$$Q_{13}^{(2)}(x, \tau; \gamma_2) = \frac{\sqrt{\gamma_2^2 x^2 - \tau^2}}{\gamma_3^2 x^2 - 2\tau^2} Q_{30}^{(1)}(x, \tau), \quad Q_{13}^{(3)}(x, \tau; \gamma_2) = \frac{\sqrt{\gamma_2^2 x^2 - \tau^2}}{\gamma_2^2 x^2 - 2\tau^2} Q_{20}^{(2)}(x, \tau);$$

$$Q_{10}(x, \tau) = \frac{\gamma_1^2 x}{\pi \sqrt{\tau^2 - \gamma_1^2 x^2}} - \frac{x}{\pi} \sqrt{\tau^2 - \gamma_1^2 x^2}$$

$$Q_{15}^{(2)}(x, \tau; \gamma_1) = Q_{14}^{(2)}(x, \tau; \gamma_1) = Q_{13}^{(2)}(x, \tau; \gamma_1),$$

$$Q_{15}^{(3)}(x, \tau; \gamma_1) = Q_{14}^{(3)}(x, \tau; \gamma_1) = Q_{13}^{(3)}(x, \tau; \gamma_1);$$

$$Q_{15}^{(2)}(x, \tau; \gamma_2) = Q_{14}^{(2)}(x, \tau; \gamma_2) = Q_{13}^{(2)}(x, \tau; \gamma_2),$$

$$Q_{15}^{(3)}(x, \tau; \gamma_2) = Q_{14}^{(3)}(x, \tau; \gamma_2) = Q_{13}^{(3)}(x, \tau; \gamma_2).$$

Из (3.24) следует, что $\tilde{\Gamma}_{u,2}^{(2)}(x, \tau), \tilde{\Gamma}_{U,2}^{(2)}(x, \tau)$ - нечетные, а $\tilde{\Gamma}_{w,2}^{(2)}(x, \tau), \tilde{\Gamma}_{W,2}^{(2)}(x, \tau)$ - четные функции по x . Применяя теперь для первой из них утверждение 2 при $\nu=1$, а для второй утверждение 1 при $\nu=0$, получаем следующие результаты:

$$\begin{aligned}
G_{0u\sigma}^{(2)}(r, \tau) &= \frac{\eta_1}{\pi} \left[\frac{1}{r} \tilde{\Gamma}_{u,2}^{(2)}(r, \tau) - r \int_r^\infty \frac{\tilde{\Gamma}_{u,2}^{(2)}(x, \tau)}{(x^2 - r^2)^{3/2}} dx \right], \\
G_{0U\sigma}^{(2)}(r, \tau) &= \frac{\eta_1}{\pi} \left[\frac{1}{r} \tilde{\Gamma}_{U,2}^{(2)}(r, \tau) - r \int_r^\infty \frac{\tilde{\Gamma}_{U,2}^{(2)}(x, \tau)}{(x^2 - r^2)^{3/2}} dx \right], \\
G_{0w\sigma}^{(2)}(r, \tau) &= \frac{\eta_1}{\pi} \int_r^\infty \frac{x \tilde{\Gamma}_{w,2}^{(2)}(x, \tau)}{(x^2 - r^2)^{3/2}} dx, \quad G_{0W\sigma}^{(2)}(r, \tau) = \frac{\eta_1}{\pi} \int_r^\infty \frac{x \tilde{\Gamma}_{W,2}^{(2)}(x, \tau)}{(x^2 - r^2)^{3/2}} dx.
\end{aligned} \tag{3.26}$$

В развернутом виде с учетом (3.24) эти представления записываются так:

$$\begin{aligned}
\tilde{G}_{0u\sigma}(r, \tau) &= \frac{\eta_1}{\pi r} \tilde{\Gamma}_{u,2}^{(2)}(r, \tau) - \frac{\eta_1 r}{\pi} \sum_{k=1}^3 I[\tilde{u}^{(k)}(x, \tau); r, \tau/\gamma_k] H(\tau - \gamma_k r), \\
\tilde{G}_{0U\sigma}(r, \tau) &= \frac{\eta_1}{\pi r} \tilde{\Gamma}_{U,2}^{(2)}(r, \tau) - \frac{\eta_1 r}{\pi} \sum_{k=1}^3 I[\tilde{U}^{(k)}(x, \tau); r, \tau/\gamma_k] H(\tau - \gamma_k r), \\
\tilde{G}_{0w\sigma}(r, \tau) &= \frac{\eta_1 r}{\pi} \sum_{k=1}^3 I[x \tilde{w}^{(k)}(x, \tau); r, \tau/\gamma_k] H(\tau - \gamma_k r), \\
\tilde{G}_{0W\sigma}(r, \tau) &= \frac{\eta_1 r}{\pi} \sum_{k=1}^3 I[x \tilde{W}^{(k)}(x, \tau); r, \tau/\gamma_k] H(\tau - \gamma_k r).
\end{aligned} \tag{3.27}$$

В этих формулах использовано следующее обозначение:

$$I[f(x, \tau); x_1, x_2] = \int_{x_1}^{x_2} \frac{f(x, \tau)}{(x^2 - r^2)^{3/2}} dx. \tag{3.28}$$

Если точка $x = r$ принадлежит отрезку интегрирования, то интегралы в (3.27) понимаются в смысле регуляризованных значений. В частности,

$$\begin{aligned}
I[f(x, \tau); r, a] &= \int_r^a \frac{f(x, \tau) - f(r, \tau)}{(x^2 - r^2)^{3/2}} dx - \frac{af(r, \tau)}{r^2 \sqrt{a^2 - r^2}}, \\
I[xf(x, \tau); r, a] &= \int_r^a \frac{x[f(x, \tau) - f(r, \tau)]}{(x^2 - r^2)^{3/2}} dx - \frac{f(r, \tau)}{\sqrt{a^2 - r^2}}.
\end{aligned} \tag{3.29}$$

3.5. Пример расчетов

Рассматривается материал с физическими характеристиками, указанными в п.2.6.

Результаты расчетов представлены на рис. 3.1 – 3.4 в виде графиков функций влияния (на осях ординат указаны соответствующие перемещения). Сплошные кривые соответствуют моменту времени $\tau = 0,15$, точечные - $\tau = 0,3$, а пунктирные - $\tau = 0,45$. Аналогично п. 2.6 разрывы второго рода на графиках имеют место в точках, соответствующих поверхностным волнам типа Рэлея.

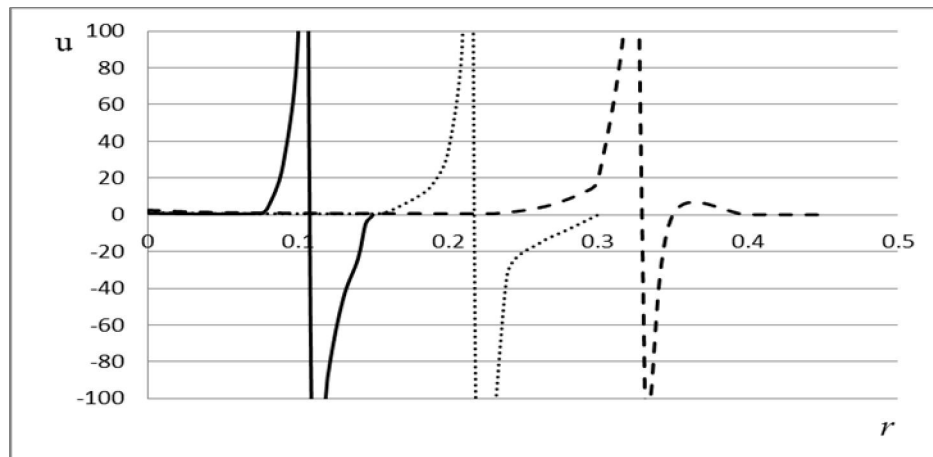


Рис.3.1

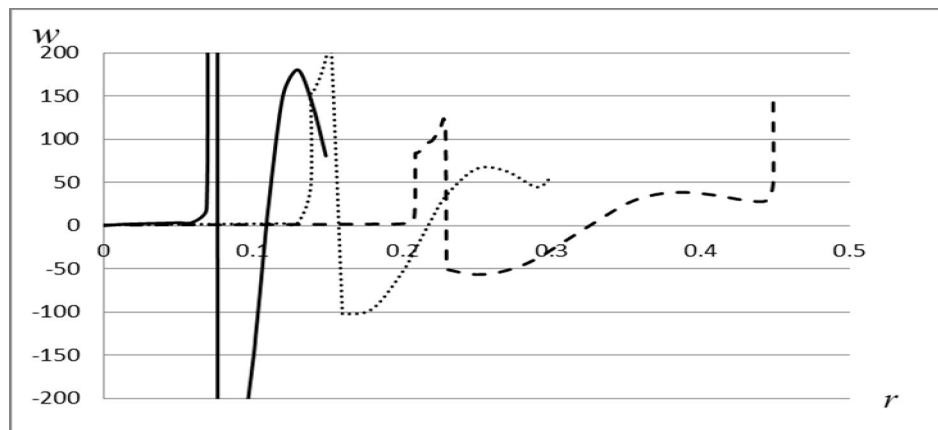


Рис.3.2

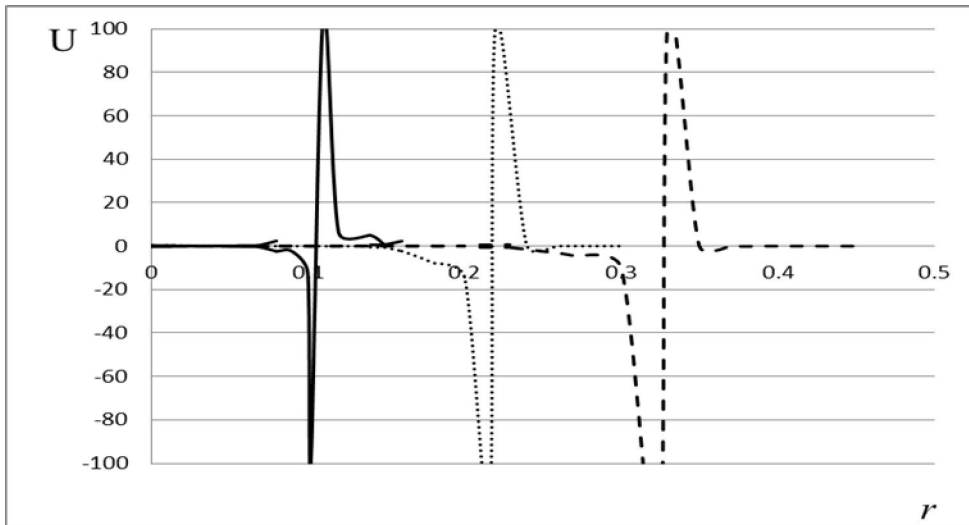


Рис.3.3

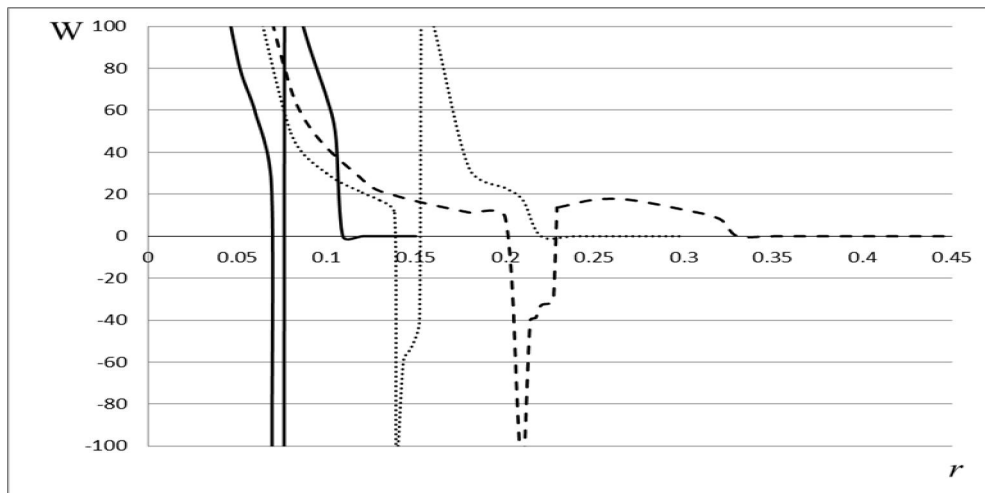


Рис.3.4

Глава 4

Полупространство под действием смешанных возмущений

(граничные условия третьей группы)

4.1. Изображения функций влияния первой подгруппы

К граничным условиям (1.41) применяем указанные в п. 2.1 преобразования:

$$w^{HL}\Big|_{z=0} = 0, \quad W^{HL}\Big|_{z=0} = 0, \quad \sigma_{rz}^{HL}\Big|_{z=0} = \frac{1}{2\pi} \quad (4.1)$$

Отсюда с учетом соотношений (2.5) и (2.6) получаем аналогичную (2.7) систему линейных алгебраических уравнений относительно постоянных интегрирования [23]:

$$\mathbf{A}_3 \mathbf{C} = \frac{1}{2\pi} \mathbf{b}_1, \quad (4.2)$$

где

$$\mathbf{A}_3 = \begin{pmatrix} 2qk_1(q^2, s^2) & 2qk_2(q^2, s^2) & -\kappa_3(q^2, s^2) \\ k_1(q^2, s^2) & k_2(q^2, s^2) & -q \\ \beta_1 k_1(q^2, s^2) & \beta_2 k_2(q^2, s^2) & -\beta_3 q \end{pmatrix}$$

Подставляя ее решение

$$C_1 = -\frac{q\beta_{23}}{2\pi\beta_{12}\gamma_3^2 s^2 k_1(q^2, s^2)}, \quad C_2 = \frac{q\beta_{13}}{2\pi\beta_{12}\gamma_3^2 s^2 k_2(q^2, s^2)}, \quad C_3 = \frac{\beta_{12}}{2\pi\beta_{12}\gamma_3^2 s^2}. \quad (4.3)$$

в (2.5) и (2.6) находим изображения соответствующих функций влияния:

$$\begin{aligned}
G_{urz}^{(3)HL} &= u^{HL} = \sum_{j=1}^3 u_j^{HL}(q, s) E_j(q, z, s), \\
G_{wrz}^{(3)HL} &= w^{HL} = \sum_{j=1}^3 w_j^{HL}(q, s) E_j(q, z, s), \\
G_{Urz}^{(3)HL} &= U^{HL} = \sum_{j=1}^3 U_j^{HL}(q, s) E_j(q, z, s), \\
G_{Wrz}^{(3)HL} &= W^{HL} = \sum_{j=1}^3 W_j^{HL}(q, s) E_j(q, z, s).
\end{aligned} \tag{4.4}$$

$$\begin{aligned}
G_{zzrz}^{(3)HL} &= \sigma_{zz}^{HL} = \sum_{j=1}^3 \sigma_{zzj}^{HL}(q, s) E_j(q, z, s), \\
G_{rzz}^{(3)HL} &= \sigma_{rz}^{HL} = \sum_{j=1}^3 \sigma_{rzj}^{HL}(q, s) E_j(q, z, s), \\
G_{\sigma rz}^{(3)HL} &= \sigma_{\sigma u}^{HL} = \sum_{j=1}^3 \sigma_{\sigma u j}^{HL}(q, s) E_j(q, z, s).
\end{aligned} \tag{4.5}$$

Здесь

$$\begin{aligned}
u_l^{HL}(q, z, s) &= (-1)^{3-l} \frac{\beta_{(3-l)3} q^2}{2\pi\beta_{12}\gamma_3^2 s^2 k_l(q^2, s^2)}, \quad u_3^{HL}(q, z, s) = \frac{\beta_{12} k_3(q^2, s^2)}{2\pi\beta_{12}\gamma_3^2 s^2}, \\
w_l^{HL}(q, z, s) &= (-1)^{3-l} \frac{q^2 \beta_{(3-l)3}}{2\pi\beta_{12}\gamma_3^2 s^2}, \quad w_3^{HL}(q, z, s) = \frac{\beta_{12} q}{2\pi\beta_{12}\gamma_3^2 s^2}, \\
U_j^{HL} &= \beta_j u_j^{HL}, \quad W_j^{HL}(q, z, s) = \beta_j w_j^{HL};
\end{aligned} \tag{4.6}$$

$$\begin{aligned}
\sigma_{rzl}^{HL}(q, z, s) &= (-1)^l \frac{q^2 \beta_{(3-l)3}}{\pi\beta_{12}\gamma_3^2 s^2 k_l(q^2, s^2)}, \quad \sigma_{rz3}^{HL}(q, z, s) = -\frac{\kappa_3(q^2, s^2)}{2\pi\gamma_3^2 s^2}, \\
\sigma_{zzl}^{HL}(q, z, s) &= (-1)^l \frac{q\beta_{(3-l)3} \kappa_l(q^2, s^2)}{2\pi\beta_{12}\gamma_3^2 s^2 k_l(q^2, s^2)}, \quad \sigma_{zz3}^{HL}(q, z, s) = -\frac{q\kappa_3(q^2, s^2)}{\pi\gamma_3^2 s^2}, \\
\sigma_l^{HL}(q, z, s) &= (-1)^l \frac{\lambda_{23l} \gamma_l^2 q \beta_{(3-l)3}}{\pi\beta_{12}\gamma_3^2 k_l(q^2, s^2)}.
\end{aligned} \tag{4.7}$$

В этих формулах и далее использованы обозначения

$$\beta_{3(3-l)} = \beta_3 - \beta_{3-l} \quad (l = 1, 2). \quad (4.8)$$

4.2. Изображения функций влияния второй подгруппы

В этой случае изображения соответствующих граничных условий (1.43) заменяется так:

$$w^{HL} \Big|_{z=0} = \frac{1}{2\pi}, \quad W^{HL} \Big|_{z=0} = 0, \quad \sigma_{rz}^{HL} \Big|_{z=0} = 0. \quad (4.9)$$

Постановка сюда соотношений (2.5) и (2.6) приводит к аналогичной (2.17) системе линейных алгебраических уравнений [23]:

$$\mathbf{A}_3 \mathbf{C} = -\frac{1}{2\pi} \mathbf{b}_2, \quad (4.10)$$

Её решение записывается так:

$$C_1 = -\frac{2\beta_{32}q^2 - \beta_2\gamma_3^2s^2}{2\pi\beta_{12}\gamma_3^2s^2k_1(q^2, s^2)}, \quad C_2 = \frac{(2\beta_{31}q^2 - \beta_1\gamma_3^2s^2)}{2\pi\beta_{12}\gamma_3^2s^2k_2(q^2, s^2)}, \quad C_3 = -\frac{q}{\pi\gamma_3^2s^2}, \quad (4.11)$$

Учитывая эти равенства, из (2.5) и (2.6) получаем изображения соответствующих функций влияния [23]:

$$\begin{aligned}
G_{uw}^{(3)HL} &= u^{HL} = \sum_{j=1}^3 u_j^{HL}(q, s) E_j(q, z, s), \\
G_{ww}^{(3)HL} &= w^{HL} = \sum_{j=1}^3 w_j^{HL}(q, s) E_j(q, z, s), \\
G_{Uw}^{(3)HL} &= U^{HL} = \sum_{j=1}^3 U_j^{HL}(q, s) E_j(q, z, s), \\
G_{Ww}^{(3)HL} &= W^{HL} = \sum_{j=1}^3 W_j^{HL}(q, s) E_j(q, z, s);
\end{aligned} \tag{4.12}$$

$$\begin{aligned}
G_{zzw}^{(3)HL} &= \sigma_{zz}^{HL} = \sum_{j=1}^3 \sigma_{zzj}^{HL}(q, s) E_j(q, z, s), \\
G_{rzw}^{(3)HL} &= \sigma_{rz}^{HL} = \sum_{j=1}^3 \sigma_{rzej}^{HL}(q, s) E_j(q, z, s), \\
G_{\sigma w}^{(3)HL} &= \sigma^{HL} = \sum_{j=1}^3 \sigma_j^{HL}(q, s) E_j(q, z, s).
\end{aligned} \tag{4.13}$$

Здесь

$$\begin{aligned}
u_l^{HL} &= (-1)^{3-l} \left(\frac{\beta_{3(3-l)} q^3 s^{-2}}{\pi \beta_{12} \gamma_3^2 k_l(q^2, s^2)} - \frac{q \beta_{(3-l)}}{2\pi \beta_{12} k_l(q^2, s^2)} \right), \quad u_3^{HL} = -\frac{q k_3(q^2, s^2)}{\pi \gamma_3^2 s^2}, \\
w_l^{HL} &= (-1)^{3-l} \left(\frac{\beta_{3(3-l)} q^2 s^{-2}}{\pi \beta_{12} \gamma_3^2} - \frac{\beta_{(3-l)}}{2\pi \beta_{12}} \right), \quad w_3^{HL} = -\frac{q^2}{\pi \gamma_3^2 s^2};
\end{aligned} \tag{4.14}$$

$$\begin{aligned}
\sigma_{z\bar{z}}^{HL} &= (-1)^l \left[\frac{2\beta_{3(3-l)} q^4}{\pi\beta_{12}\gamma_3^2 s^2 k_l(q^2, s^2)} + \frac{\beta_{3(3-l)}\varsigma_l - \beta_{3-l}\gamma_3^2}{\pi\beta_{12}\gamma_3^2} + \right. \\
&\quad \left. + \frac{q^2}{k_l(q^2, s^2)} - \frac{\beta_{3-l}\varsigma_l}{2\pi\beta_{12}} \frac{s^2}{k_l(q^2, s^2)} \right], \\
\sigma_{z3}^{HL} &= 2q \frac{qk_3(q^2, s^2)}{\pi\gamma_3^2 s^2}, \quad \sigma_{r\bar{z}l}^{HL} = (-1)^l \frac{q(2\beta_{3(3-l)}q^2 - \beta_{3-l}\gamma_3^2 s^2)}{\pi\beta_{12}\gamma_3^2 s^2}, \\
\sigma_{r\bar{z}3}^{HL} &= \frac{q(2q^2 + \gamma_3^2 s^2)}{\pi\gamma_3^2 s^2}, \quad \sigma_l^{HL} = (-1)^l \lambda_{23l} \gamma_l^2 \frac{2\beta_{3(3-l)}q^2 - \beta_{3-l}\gamma_3^2 s^2}{2\pi\beta_{12}\gamma_3^2 k_l(q^2, s^2)}.
\end{aligned} \tag{4.15}$$

В этих формулах и далее использованы обозначения

$$\varsigma_l = (2 + \lambda_{12l}) \gamma_l^2 \quad (l=1,2). \tag{4.16}$$

4.3. Изображения функций влияния третьей подгруппы

В этом варианте используем изображения граничных условий (1.45):

$$w^{HL} \Big|_{z=0} = 0, \quad W^{HL} \Big|_{z=0} = \frac{1}{2\pi}, \quad \sigma_{rz}^{HL} \Big|_{z=0} = 0. \tag{4.17}$$

Постановка соотношений (2.5) и (2.6) в эти граничные условия приводит к системе линейных алгебраических уравнений относительно постоянных интегрирования [23]:

$$\mathbf{A}_3 \mathbf{C} = -\frac{1}{2\pi} \mathbf{b}_3, \tag{4.18}$$

Её решение имеет вид:

$$C_1 = -\frac{1}{2\pi\beta_{12}k_1(q^2, s^2)}, \quad C_2 = \frac{1}{2\pi\beta_{12}k_2(q^2, s^2)}, \quad C_3 = 0. \tag{4.19}$$

Учитывая эти равенства, из (2.5) и (2.6) находим изображения соответствующих функций влияния [23]:

$$\begin{aligned}
G_{uW}^{(3)HL} &= u^{HL} = \sum_{j=1}^3 u_j^{HL}(q, s) E_j(q, z, s), \\
G_{wW}^{(3)HL} &= w^{HL} = \sum_{j=1}^3 w_j^{HL}(q, s) E_j(q, z, s), \\
G_{UW}^{(3)HL} &= U^{HL} = \sum_{j=1}^3 U_j^{HL}(q, s) E_j(q, z, s), \\
G_{WW}^{(3)HL} &= W^{HL} = \sum_{j=1}^3 W_j^{HL}(q, s) E_j(q, z, s);
\end{aligned} \tag{4.20}$$

$$\begin{aligned}
G_{zzW}^{(3)HL} &= \sigma_{zz}^{HL} = \sum_{j=1}^3 \sigma_{zzj}^{HL}(q, s) E_j(q, z, s), \\
G_{rzW}^{(3)HL} &= \sigma_{rz}^{HL} = \sum_{j=1}^3 \sigma_{rzj}^{HL}(q, s) E_j(q, z, s), \\
G_{\sigma W}^{(3)HL} &= \sigma_{\sigma u}^{HL} = \sum_{j=1}^3 \sigma_{\sigma u j}^{HL}(q, s) E_j(q, z, s).
\end{aligned} \tag{4.21}$$

Здесь

$$\begin{aligned}
u_l^{HL} &= (-1)^{3-l} \frac{q}{2\pi\beta_{12} k_l(q^2, s^2)}, \quad u_3^{HL} = 0, \\
w_l^{HL} &= (-1)^{3-l} \frac{1}{2\pi\beta_{12}}, \quad w_3^{HL} = 0;
\end{aligned} \tag{4.22}$$

$$\begin{aligned}
\sigma_{zzl}^{HL} &= (-1)^l \frac{\kappa_l(q^2, s^2)}{2\pi\beta_{12} k_l(q^2, s^2)}, \quad \sigma_{zz3}^{HL} = 0, \quad \sigma_{rzl}^{HL} = (-1)^l \frac{2q}{2\pi\beta_{12}}, \\
\sigma_{rz3}^{HL} &= 0, \quad \sigma_l^{HL} = (-1)^l \lambda_{23l} \gamma_l^2 \frac{1}{2\pi\beta_{12} k_l(q^2, s^2)}.
\end{aligned} \tag{4.23}$$

4.4. Оригиналы функций влияния третьей группы

Изображения функций влияния этой группы, как следует и п.п. 2.1 – 2.3, по сравнению с функциями, полученными в гл. 2 и 3 имеют более простую структуру. Поэтому их оригиналы могут быть найдены с помощью последовательного обращения преобразований Лапласа и Ханкеля с помощью их свойств и таблиц [12]. В качестве примера ограничимся только функциями влияния второй подгруппы. Соответствующие изображения определяются формулами (4.12) - (4.15).

Предварительно с помощью (4.14) и (4.15) преобразуем слагаемые в (4.12) и (4.13) следующим образом [23]:

$$\begin{aligned}
 u_j^{HL} E_j(q, z, s) &= (-1)^{3-j} \left(\frac{\beta_{3(3-j)}}{\pi\beta_{12}\gamma_3^2} q^2 s^{-2} - \frac{\beta_{3-j}}{2\pi\beta_{12}} \right) f_{1j}^{HL}(q, s, z), \\
 u_3^{HL} E_3(q, z, s) &= -\frac{1}{\pi\gamma_3^2} f_{23}^{HL}(q, s, z); \\
 w_j^{HL} E_j(q, z, s) &= (-1)^{3-j} \left(\frac{\beta_{3(3-j)}}{\pi\beta_{12}\gamma_3^2} q^2 s^{-2} - \frac{\beta_{3-j}}{2\pi\beta_{12}} \right) f_{7j}^{HL}(q, s, z) \\
 w_3^{HL} E_3(q, z, s) &= -\frac{1}{\pi\gamma_3^2} q^2 s^{-2} f_{73}^{HL}(q, s, z); \\
 \sigma_{zj}^{HL} E_j(q, z, s) &= \frac{(-1)^j}{2\pi\beta_{12}\gamma_3^2} \left[4\beta_{3(3-j)} q^4 s^{-4} + 2(\beta_{3(3-j)}\zeta_j - \beta_{3-j}\gamma_3^2) q^2 s^{-2} - \right. \\
 &\quad \left. -\beta_{3-j}\gamma_3^2\zeta_j \right] f_{4j}^{HL}(q, s, z), \\
 \sigma_{zz3}^{HL} E_3(q, z, s) &= \frac{2}{\pi\gamma_3^2} q^2 s^{-2} f_{53}^{HL}(q, s, z), \quad \sigma_{rz3}^{HL} = \frac{1}{\pi} \left(\frac{2}{\gamma_3^2} q^2 s^{-2} + 1 \right) f_{63}^{HL}(q, s, z), \\
 \sigma_{rj}^{HL} E_j(q, z, s) &= \frac{(-1)^j}{\pi\beta_{12}\gamma_3^2} (2\beta_{3(3-j)} q^2 s^{-2} - \beta_{3-j}\gamma_3^2) f_{6j}^{HL}(q, s, z), \\
 \sigma_j^{HL} E_j(q, z, s) &= \frac{(-1)^j \lambda_{23j} \gamma_j^2}{2\pi\beta_{12}\gamma_3^2} \left[2\beta_{3(3-j)} f_{3j}^{HL}(q, s, z) - \beta_{3-j} f_{4j}^{HL}(q, s, z) \right].
 \end{aligned} \tag{4.24}$$

Здесь

$$\begin{aligned}
f_{1l}^{HL}(q, s, z) &= \frac{qE_l(q, s, z)}{k_l(q^2, s^2)}, \quad f_{2l}^{HL}(q, s, z) = \frac{qk_l(q^2, s^2)}{s^2} E_l(q, s, z), \\
f_{3l}^{HL}(q, s, z) &= \frac{q^2 E_l(q, s, z)}{k_l(q^2, s^2)}, \quad f_{4l}^{HL}(q, s, z) = \frac{s^2 E_l(q, s, z)}{k_l(q^2, s^2)}, \\
f_{5l}^{HL}(q, s, z) &= k_l(q^2, s^2) E_l(q, s, z), \quad f_{6l}^{HL}(q, s, z) = qE_l(q, s, z). \\
f_{7l}^{HL}(q, z, s) &= E_l(q, z, s)
\end{aligned} \tag{4.25}$$

Оригиналы этих и связанных с ними функций имеют вид ($r_3 = \sqrt{r^2 + z^2}$, $H(\tau)$ - функция Хевисайда) [23]:

$$\begin{aligned}
f_{1l}(r, \tau, z) &= \frac{r}{r_3} [\delta(\tau - \gamma_l r_3) + \gamma_l r_3 \delta'(\tau - \gamma_l r_3)], \\
f_{2l}(r, \tau, z) &= \\
&= \frac{r}{r_3^6} [3\tau(4z^2 - r^2)H(\tau - \gamma_l r_3) + \gamma_l^2 r_3(5z^2 - 3r^2)\delta(\tau - \gamma_l r_3) + \gamma_l^3 r_3^2 z^2 \delta'(\tau - \gamma_l r_3)], \\
f_{3l}(r, \tau, z) &= \frac{2z^2 - r^2}{r_3^5} \delta(\tau - \gamma_l r_3) + \gamma_l \frac{2z^2 - r^2}{r_3^4} \delta'(\tau - \gamma_l r_3) - \gamma_l^2 \frac{r^2}{r_3^3} \delta''(\tau - \gamma_l r_3), \\
f_{4l}(r, \tau, z) &= \frac{1}{r_3} \delta''(\tau - \gamma_l r_3), \\
f_{5l}(r, \tau, z) &= r_3^{-5} (2z^2 - r^2)H(\tau - \gamma_l r_3) + \gamma_l^2 z^2 r_3^3 \delta(\tau - \gamma_l r_3), \\
f_{6l}(r, \tau, z) &= \frac{rz}{r_3^3} \left[\frac{3}{r_3^2} \delta(\tau - \gamma_l r_3) + \frac{3\gamma_l}{r_3} \delta'(\tau - \gamma_l r_3) + \gamma_l^2 \delta''(\tau - \gamma_l r_3) \right];
\end{aligned} \tag{4.26}$$

$$\begin{aligned}
f_{7l}(r, z, \tau) &= \frac{z}{r_3^3} [\delta(\tau - \gamma_l r_3) + \gamma_l r_3 \delta'(\tau - \gamma_l r_3)], \\
[q^2 s^{-2} f_{7l}(q, z, s)]^{H_0^{-1}L^{-1}} &= \\
&= -\frac{z}{r_3^4} \left[3\tau \frac{3r^2 - 2z^2}{r_3^2} H(\tau - \gamma_l r_3) + 2\gamma_l^2 \frac{2r^2 - z^2}{r_3} \delta(\tau - \gamma_l r_3) + \gamma_l^3 r^2 \delta'(\tau - \gamma_l r_3) \right], \\
[q^2 s^{-2} f_{5l}(q, s, z)]^{H_0^{-1}L^{-1}} &= \tau \frac{9r^4 - 72r^2 z^2 + 24z^4}{r_3^9} H(\tau - \gamma_l r_3) + \\
&+ \gamma_l^2 \frac{4r^4 - 31r^2 z^2 + 10z^4}{r_3^7} \delta(\tau - \gamma_l r_3) + \gamma_l^3 \frac{r^4 - 7r^2 z^2 + 2z^4}{r_3^6} \delta'(\tau - \gamma_l r_3) - (4.27) \\
&- \gamma_l^4 \frac{r^2 z^2}{r_3^5} \delta''(\tau - \gamma_l r_3), \\
[q^2 s^{-2} f_{1l}(q, s, z)]^{H_1^{-1}L^{-1}} &= \\
&= \frac{r}{r_3^4} \left[\frac{3\tau(4z^2 - r^2)}{r_3^2} H(\tau - \gamma_l r_3) + \frac{2\gamma_l(2z^2 - r^2)}{r_3} \delta(\tau - \gamma_l r_3) - \gamma_l^3 r^2 \delta'(\tau - \gamma_l r_3) \right], \\
[q^2 s^{-2} f_{4l}(q, s, z)]^{H_0^{-1}L^{-1}} &= \frac{2z^2 - r^2}{r_3^5} \delta(\tau - \gamma_l r_3) + \gamma_l \frac{2z^2 - r^2}{r_3^4} \delta'(\tau - \gamma_l r_3) \\
&- \gamma_l^2 \frac{r^2}{r_3^3} \delta''(\tau - \gamma_l r_3), \\
[q^4 s^{-4} f_{4l}(q, s, z)]^{H_0^{-1}L^{-1}} &= \rho_0 \tau H(\tau - \gamma_l r) + \rho_2 \gamma_l^2 \delta(\tau - \gamma_l r) + \rho_3 \gamma_l^3 \delta'(\tau - \gamma_l r) + \\
&+ \rho_4 \gamma_l^4 \delta''(\tau - \gamma_l r), \\
q^2 s^{-2} [f_{6l}(q, s, z)]^{H_1^{-1}L^{-1}} &= \zeta_0 \tau H(\tau - \gamma_l r_3) + \zeta_2 \gamma_l^2 \delta(\tau - \gamma_l r_3) + \zeta_3 \gamma_l^3 \delta'(\tau - \gamma_l r_3) + \\
&+ \zeta_4 \gamma_l^4 \delta''(\tau - \gamma_l r_3).
\end{aligned}$$

В результате приходим к следующим равенствам для оригиналов слагаемых в формулах (4.20) и (4.21) ($j=1,2,3$; $l=1,2$) [23]:

$$\begin{aligned}
\left[u_j^{HL} E_j(q, z, s) \right]^{H_1^{-1}L^{-1}} &= u_{jr}(r, \tau, z) + u_{js}(r, \tau, z), \\
\left[w_j^{HL} E_j(q, z, s) \right]^{H_0^{-1}L^{-1}} &= w_{jr}(r, \tau, z) + w_{js}(r, \tau, z), \\
\left[U_j^{HL} E_j(q, z, s) \right]^{H_1^{-1}L^{-1}} &= U_{jr}(r, \tau, z) + U_{js}(r, \tau, z), \\
\left[W_j^{HL} E_j(q, z, s) \right]^{H_0^{-1}L^{-1}} &= W_{jr}(r, \tau, z) + W_{js}(r, \tau, z),
\end{aligned} \tag{4.28}$$

$$\begin{aligned}
\left[\sigma_{zj}^{HL} E_j(q, z, s) \right]^{H_0^{-1}L^{-1}} &= \sigma_{zjr}(r, \tau, z) + \sigma_{zjs}(r, \tau, z), \\
\left[\sigma_{rj}^{HL} E_j(q, z, s) \right]^{H_1^{-1}L^{-1}} &= \sigma_{rjr}(r, \tau, z) + \sigma_{rjs}(r, \tau, z), \\
\sigma_l(r, \tau, z) &= \frac{(-1)^l \lambda_{23l} \gamma_l^2}{\pi \beta_{12} \gamma_3^2 r_3} \left\{ \beta_{3(3-l)} \frac{2z^2 - r^2}{r_3^4} [\delta(\tau - \gamma_l r) + \gamma_l r_3 \delta'(\tau - \gamma_l r)] - \right. \\
&\quad \left. - \left(\frac{\beta_{3(3-l)} \gamma_l^2 r^2}{r_3^2} + \frac{1}{2} \beta_{3-l} \right) \delta''(\tau - \gamma_l r) \right\};
\end{aligned}$$

Здесь

$$\begin{aligned}
u_{lr}(r, \tau, z) &= \frac{3(-1)^{3-l} \beta_{3(3-l)} \tau r (4z^2 - r^2) H(\tau - \gamma_l r_3)}{\pi \beta_{12} \gamma_3^2 r_3^6}, \\
u_{3r}(r, \tau, z) &= -\frac{3r\tau(4z^2 - r^2)}{\pi \gamma_3^2 r_3^6} H(\tau - \gamma_3 r_3), \\
w_{lr}(r, \tau, z) &= \frac{3(-1)^l \beta_{3(3-l)} \tau z (3r^2 - 2z^2)}{\pi \beta_{12} \gamma_3^2 r_3^6} H(\tau - \gamma_l r_3), \\
w_{3r}(r, \tau, z) &= \frac{1}{\pi \gamma_3^2} \frac{3z\tau(3r^2 - 2z^2)}{r_3^6} H(\tau - \gamma_3 r_3), \\
W_{jr}(r, \tau, z) &= \beta_j w_{jr}(r, \tau, z), \\
U_{jr}(r, \tau, z) &= \beta_j u_{jr}(r, \tau, z);
\end{aligned} \tag{4.29}$$

$$\begin{aligned}
\sigma_{zlr}(r, \tau, z) &= \frac{4(-1)^l \beta_{3(3-l)} \rho_0}{2\pi \beta_{12} \gamma_3^2} \tau H(\tau - \gamma_l r), \\
\sigma_{zz3r}(r, \tau, z) &= \frac{2\tau(9r^4 - 72r^2 z^2 + 24z^4)}{\pi \gamma_3^2 r_3^9} H(\tau - \gamma_3 r_3), \\
\sigma_{r_zlr}(r, \tau, z) &= \frac{2\tau(-1)^j \beta_{3(3-j)} R_1(r, z)}{\pi \beta_{12} \gamma_3^2} H(\tau - \gamma_l r_3), \\
\sigma_{r_z3r}(r, \tau, z) &= -\frac{6z\tau(3r^2 - 2z^2)}{\pi \gamma_3^2 r_3^6} H(\tau - \gamma_3 r_3); \\
u_{ls}(r, \tau, z) &= \frac{(-1)^{3-l} r}{2\pi \beta_{12} \gamma_3^2 r_3^5} \left\{ \left[4\beta_{3(3-l)} \gamma_l (2z^2 - r^2) - \beta_{3-l} \gamma_3^2 r_3^2 \right] \delta(\tau - \gamma_l r_3) - \right. \\
&\quad \left. - \left[2\beta_{3(3-l)} \gamma_l^3 r^3 + \beta_{3-l} \gamma_3^2 r_3^2 \right] r_3 \delta'(\tau - \gamma_l r_3) \right\}, \\
w_{ls}(r, \tau, z) &= \frac{(-1)^l r}{2\pi \beta_{12} \gamma_3^2 r_3^5} \left\{ \left[2\beta_{3(3-j)} \gamma_l^2 z (2r^2 - z^2) - \beta_{3-l} \gamma_3^2 z r_3^2 \right] \delta(\tau - \gamma_l r_3) \right. \\
&\quad \left. + \left[2\beta_{3(3-j)} z r_3 \gamma_l^3 r^2 - \beta_{3-l} \gamma_3^2 z \gamma_l r_3^3 \right] \delta'(\tau - \gamma_l r_3) \right\}, \\
u_{3s}(r, \tau, z) &= -\frac{r}{\pi r_3^5} \left[(5z^2 - 3r^2) \delta(\tau - \gamma_3 r_3) + \gamma_3 r_3 z^2 \delta'(\tau - \gamma_3 r_3) \right], \\
w_{3s}(r, \tau, z) &= \frac{z}{\pi \gamma_3^2 r_3^5} \left\{ 2\gamma_3^2 (2r^2 - z^2) \delta(\tau - \gamma_3 r_3) + \gamma_3^3 r^2 \delta'(\tau - \gamma_3 r_3) \right\}, \\
U_{js}(r, \tau, z) &= \beta_j u_{js}(r, \tau, z), \\
W_{js}(r, \tau, z) &= \beta_j w_{js}(r, \tau, z);
\end{aligned} \tag{4.30}$$

$$\begin{aligned}
\sigma_{zls}(r, \tau, z) &= \frac{(-1)^l}{2\pi\beta_{12}\gamma_3^2} \left\{ 2 \left[2\beta_{3(3-l)}\rho_2\gamma_l^2 + (\beta_{3(3-l)}\varsigma_l - \beta_{3-l}\gamma_3^2) \frac{2z^2 - r^2}{r_3^5} \right] \delta(\tau - \gamma_l r) + \right. \\
&+ 2 \left[2\beta_{3(3-l)}\rho_3\gamma_l^3 + \gamma_l (\beta_{3(3-l)}\varsigma_l - \beta_{3-l}\gamma_3^2) \frac{2z^2 - r^2}{r_3^4} \right] \delta'(\tau - \gamma_l r) + \\
&\left. + \left[4\beta_{3(3-l)}\rho_4\gamma_l^4 - (2\beta_{3(3-l)}\varsigma_l - 2\beta_{3-l}\gamma_3^2) \frac{\gamma_l^2 r^2}{r_3^3} - \frac{\beta_{3-l}\gamma_l^2\varsigma_l}{r_3} \right] \right\} \delta''(\tau - \gamma_l r), \\
\sigma_{z3s}(r, \tau, z) &= \frac{2}{\pi r_3^5} \left[\frac{4r^4 - 31r^2z^2 + 10z^4}{r_3^2} \delta(\tau - \gamma_3 r_3) + \right. \\
&\left. + \gamma_3 \frac{r^4 - 7r^2z^2 + 2z^4}{r_3} \delta'(\tau - \gamma_3 r_3) - \gamma_3^2 r^2 z^2 \delta''(\tau - \gamma_3 r_3) \right], \\
\sigma_{rzs}(r, \tau, z) &= \frac{(-1)^j}{\pi\beta_{12}\gamma_3^2 r_3^5} \left[2\beta_{3-j}\gamma_l^2 R_2(r, z) r_3^5 - 3\beta_{3-j}\gamma_3^2 r z \right] \delta(\tau - \gamma_l r_3) + \\
&+ \left[2\beta_{3-j}\gamma_l^3 R_3(r, z) r_3^5 - 3\beta_{3-j}\gamma_3^2 r z \gamma_l r_3 \right] \delta'(\tau - \gamma_l r_3) + \\
&+ \left[2\beta_{3-j}\gamma_l^4 R_4(r, z) r_3^5 - \beta_{3-j}\gamma_3^2 r z \gamma_l^2 r_3^2 \right] \delta''(\tau - \gamma_l r_3) \\
\sigma_{rz3s}(r, \tau, z) &= \frac{1}{\pi\gamma_3^2 r_3^5} \left\{ \left[2\gamma_l^2 z(2r^2 - z^2) + \gamma_3^2 z r_3^2 \right] \delta(\tau - \gamma_l r_3) \right. \\
&\left. + \left[2z r_3 \gamma_l^3 r^2 + \gamma_3^2 z \gamma_l r_3^3 \right] \delta'(\tau - \gamma_l r_3) \right\}
\end{aligned} \tag{4.31}$$

Тогда в соответствии с (4.28) имеют место равенства:

$$\begin{aligned}
G_{uw}^{(3)}(r, \tau, z) &= u_r(r, \tau, z) + u_s(r, \tau, z), \\
G_{ww}^{(3)}(r, \tau, z) &= w_r(r, \tau, z) + w_s(r, \tau, z), \\
G_{Uw}^{(3)}(r, \tau, z) &= U_r(r, \tau, z) + U_s(r, \tau, z), \\
G_{Ww}^{(3)}(r, \tau, z) &= W_r(r, \tau, z) + W_s(r, \tau, z), \\
u_r(r, \tau, z) &= \sum_{j=1}^3 u_{jr}(r, \tau, z), \quad u_s(r, \tau, z) = \sum_{j=1}^3 u_{js}(r, \tau, z), \\
w_r(r, \tau, z) &= \sum_{j=1}^3 w_{jr}(r, \tau, z), \quad w_s(r, \tau, z) = \sum_{j=1}^3 w_{js}(r, \tau, z), \\
U_r(r, \tau, z) &= \sum_{j=1}^3 U_{jr}(r, \tau, z), \quad U_s(r, \tau, z) = \sum_{j=1}^3 U_{js}(r, \tau, z), \\
W_r(r, \tau, z) &= \sum_{j=1}^3 W_{jr}(r, \tau, z), \quad W_s(r, \tau, z) = \sum_{j=1}^3 W_{js}(r, \tau, z);
\end{aligned} \tag{4.32}$$

$$\begin{aligned}
G_{zzw}^{(3)}(r, \tau, z) &= \sigma_{zzr}(r, \tau, z) + \sigma_{zss}(r, \tau, z), \\
G_{rzw}^{(3)}(r, \tau, z) &= \sigma_{rzt}(r, \tau, z) + \sigma_{rzs}(r, \tau, z), \\
G_{\sigma w}^{(3)}(r, \tau, z) &= \sum_{j=1}^3 \sigma_j(r, \tau, z); \\
\sigma_{zzr}(r, \tau, z) &= \sum_{j=1}^3 \sigma_{zzjr}(r, \tau, z), \quad \sigma_{zss}(r, \tau, z) = \sum_{j=1}^3 \sigma_{zzjs}(r, \tau, z), \\
\sigma_{rzt}(r, \tau, z) &= \sum_{j=1}^3 \sigma_{rztjr}(r, \tau, z), \quad \sigma_{rzs}(r, \tau, z) = \sum_{j=1}^3 \sigma_{rztjs}(r, \tau, z).
\end{aligned} \tag{4.33}$$

4.5. Примеры расчетов

Результаты вычислений для материала с физическими характеристиками, указанными в п.2.6, по формулам (4.30), (4.31), (4.33) регулярных составляющих функций влияния $u_r(r, \tau, z)$, $U_r(r, \tau, z)$, $w_r(r, \tau, z)$, $W_r(r, \tau, z)$, $\sigma_{rzt}(r, \tau, z)$ и $\sigma_{zzr}(r, \tau, z)$ в зависимости от координаты z при $r = 0,3$

представлены на рис. 4.1 – 4.6. Сплошные кривые соответствуют моменту времени $\tau = 0.7$, точечные - $\tau = 0.8$, а пунктирные - $\tau = 0.9$.

Отметим, что разрывы на графиках имеют место в точках, $r_3 = \tau/\gamma_k$ ($k = 1, 2, 3$), определяющих фронты волн в скелете и жидкости.

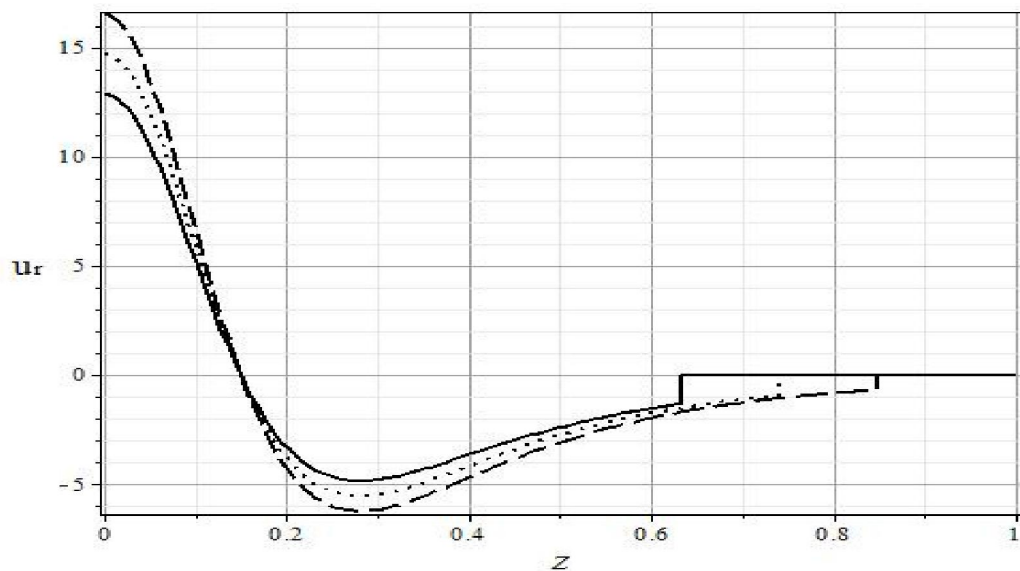


Рис. 4.1.

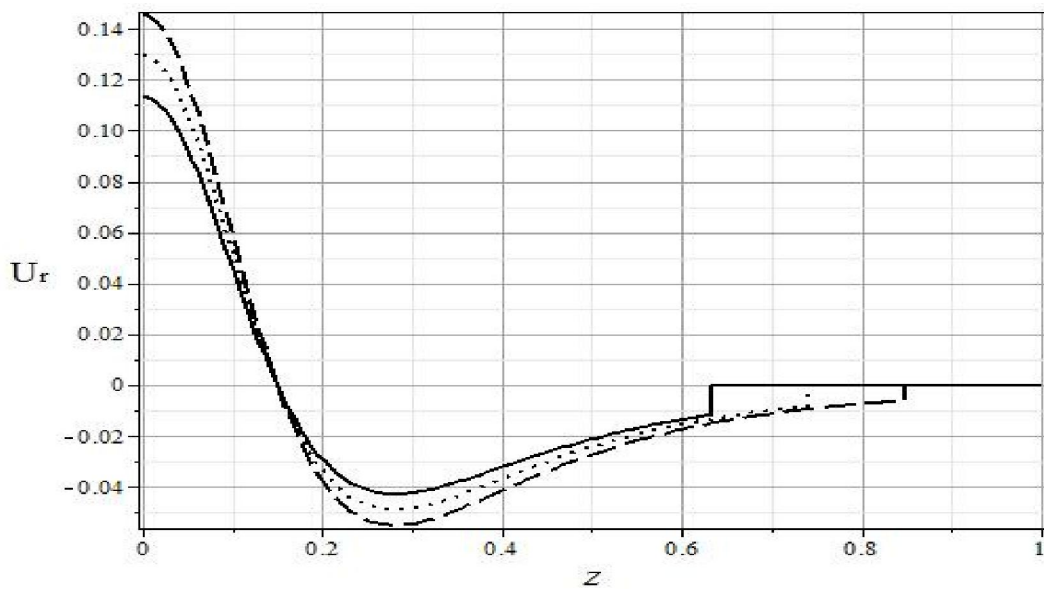


Рис. 4.2.

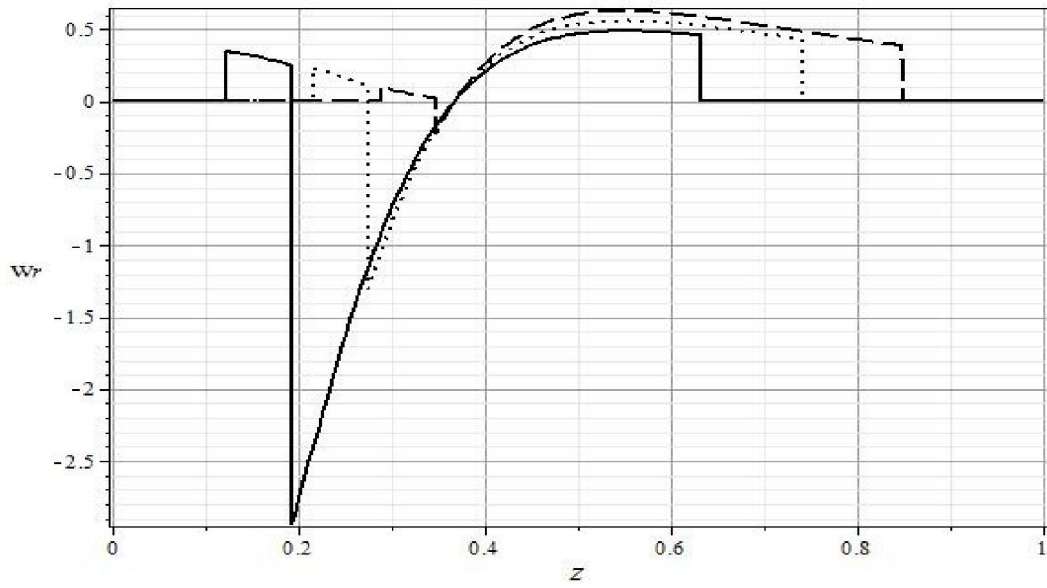


Рис. 4.3.

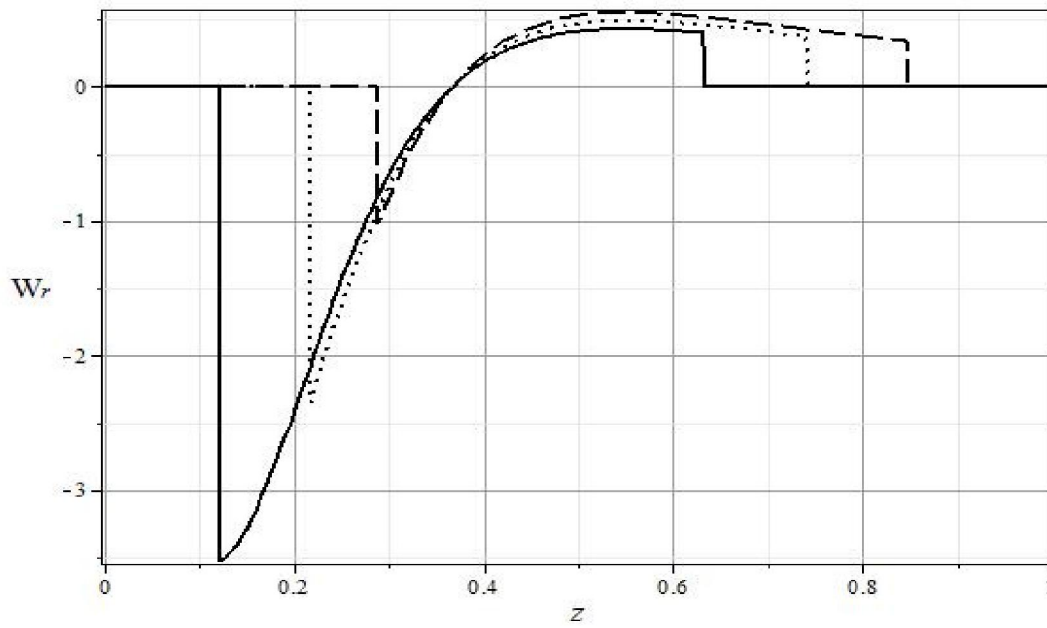


Рис. 4.4.

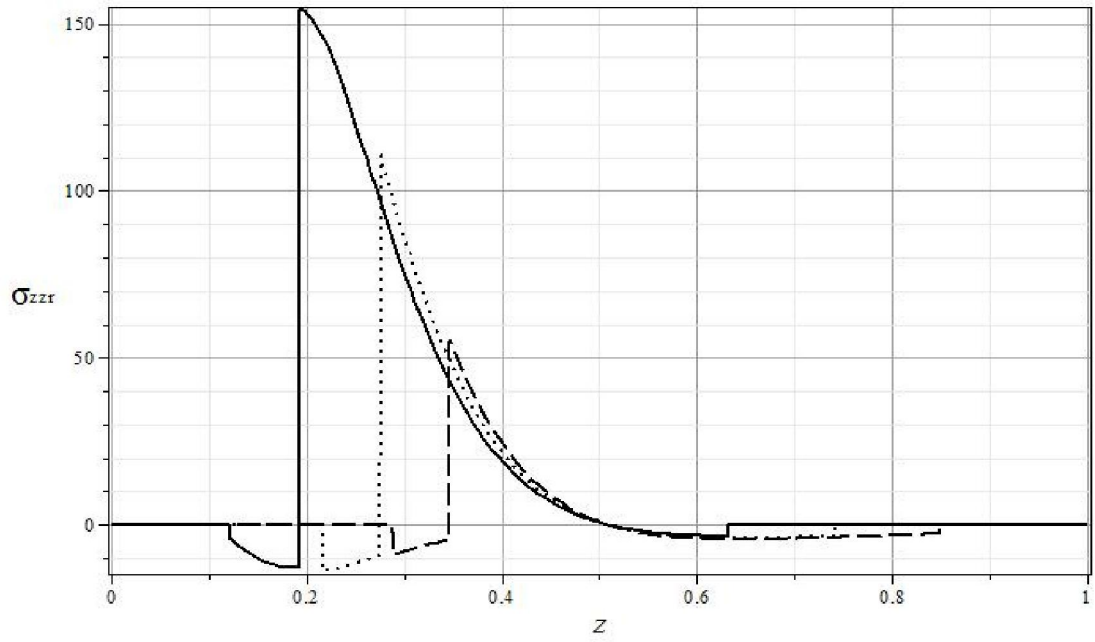


Рис. 4.5.

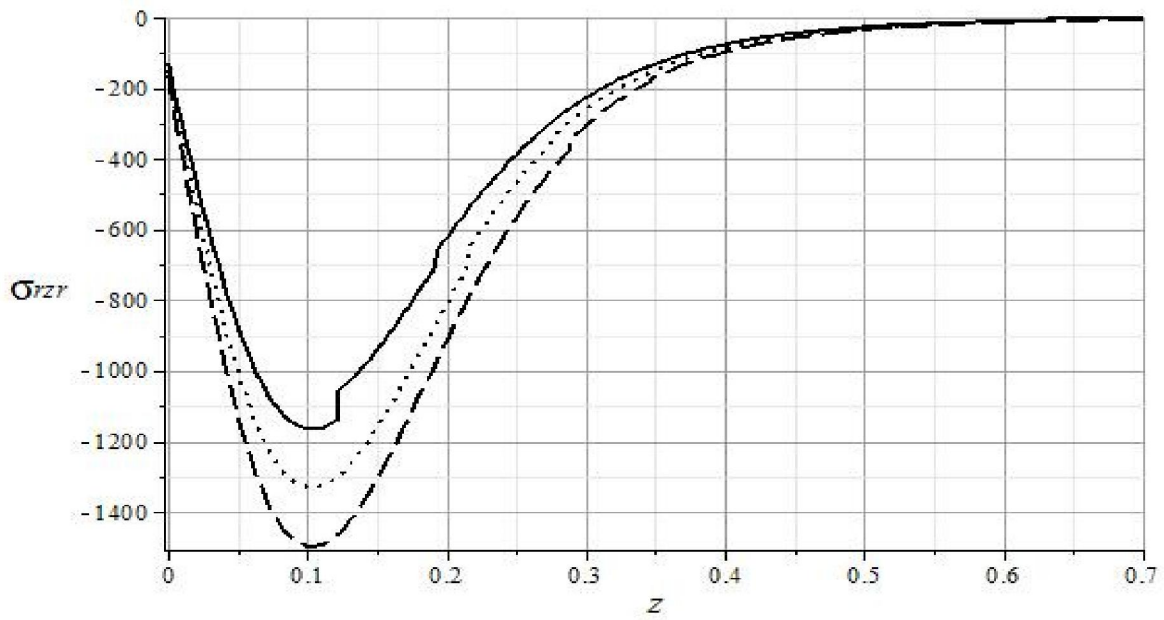


Рис. 4.6.

Глава 5

Полупространство под действием смешанных возмущений

(граничные условия четвертой группы)

5.1. Изображения функций влияния первой подгруппы

К граничным условиям (1.49) применяем использованные ранее преобразования:

$$u^{HL}\Big|_{z=0} = \frac{1}{2\pi}, \quad \sigma_{zz}^{HL}\Big|_{z=0} = 0, \quad \sigma^{HL}\Big|_{z=0} = 0 \quad (5.1)$$

Отсюда с учетом соотношений (2.5) и (2.6) получаем аналогичную (2.7) систему линейных алгебраических уравнений относительно постоянных интегрирования [25]:

$$\mathbf{A}_4 \mathbf{C} = -\frac{1}{2\pi} \mathbf{b}_1, \quad (5.2)$$

где

$$\mathbf{A}_4 = \begin{pmatrix} q & q & -k_3(q^2, s^2) \\ \kappa_1(q^2, s^2) & \kappa_2(q^2, s^2) & -2qk_3(q^2, s^2) \\ s^2\lambda_{231}\gamma_1^2 & s^2\lambda_{232}\gamma_2^2 & 0 \end{pmatrix}. \quad (5.3)$$

Ее решение имеет вид:

$$C_1 = \frac{\xi q}{\pi(\zeta_2^2 - \xi\zeta_1^2)s^2}, \quad C_2 = \frac{-q}{\pi(\zeta_2^2 - \xi\zeta_1^2)s^2},$$

$$C_3 = \frac{\xi\kappa_1(q^2, s^2) - \kappa_2(q^2, s^2)}{2\pi(\zeta_2^2 - \xi\zeta_1^2)s^2k_3(q^2, s^2)}, \quad \xi = \frac{\lambda_{232}\gamma_2^2}{\lambda_{231}\gamma_1^2}, \quad (5.4)$$

где величины ζ_l^2 определяются равенствами (4.16).

Используя его и формулы (2.5) и (2.6), находим изображения соответствующих функций влияния:

$$\begin{aligned}
G_{uu}^{(4)HL} &= u^{HL} = \sum_{j=1}^3 u_j^{HL}(q, s) E_j(q, z, s), \\
G_{wu}^{(4)HL} &= w^{HL} = \sum_{j=1}^3 w_j^{HL}(q, s) E_j(q, z, s), \\
G_{Uu}^{(4)HL} &= U^{HL} = \sum_{j=1}^3 U_j^{HL}(q, s) E_j(q, z, s), \\
G_{Wu}^{(4)HL} &= W^{HL} = \sum_{j=1}^3 W_j^{HL}(q, s) E_j(q, z, s);
\end{aligned} \tag{5.5}$$

$$\begin{aligned}
G_{zzu}^{(4)HL} &= \sigma_{zz}^{HL} = \sum_{j=1}^3 \sigma_{zzj}^{HL}(q, s) E_j(q, z, s), \\
G_{rzu}^{(4)HL} &= \sigma_{rz}^{HL} = \sum_{j=1}^3 \sigma_{rzj}^{HL}(q, s) E_j(q, z, s), \\
G_{\sigma u}^{(4)HL} &= \sigma_{\sigma u}^{HL} = \sum_{j=1}^3 \sigma_{\sigma uj}^{HL}(q, s) E_j(q, z, s).
\end{aligned} \tag{5.6}$$

Здесь

$$\begin{aligned}
u_l^{HL} &= (-1)^l \frac{\xi^{2-l} q^2}{\pi(\zeta_2^2 - \xi \zeta_1^2) s^2}, \quad u_3^{HL} = \frac{\xi \kappa_1(q^2, s^2) - \kappa_2(q^2, s^2)}{2\pi(\zeta_2^2 - \xi \zeta_1^2) s^2}, \\
w_l^{HL} &= (-1)^l \frac{\xi^{2-l} q k_l(q^2, s^2)}{\pi(\zeta_2^2 - \xi \zeta_1^2) s^2}, \quad w_3^{HL} = q \frac{\xi \kappa_1(q^2, s^2) - \kappa_2(q^2, s^2)}{2\pi(\zeta_2^2 - \xi \zeta_1^2) s^2 k_3(q^2, s^2)}, \\
U_j^{HL} &= \beta_j u_j^{HL}, \quad W_j^{HL}(q, z, s) = \beta_j w_j^{HL};
\end{aligned} \tag{5.7}$$

$$\begin{aligned}
\sigma_{rzl}^{HL} &= (-1)^{3-l} \frac{2\xi^{2-l} q^2 k_l(q^2, s^2)}{\pi(\zeta_2^2 - \xi\zeta_1^2)s^2}, \quad \sigma_{zzl}^{HL} = (-1)^{3-l} \frac{\xi^{2-l} q \kappa_l(q^2, s^2)}{\pi(\zeta_2^2 - \xi\zeta_1^2)s^2}, \\
\sigma_{rz3}^{HL} &= -\frac{\xi\kappa_1(q^2, s^2) - \kappa_2(q^2, s^2)}{2\pi(\zeta_2^2 - \xi\zeta_1^2)s^2 k_3(q^2, s^2)} \kappa_2(q^2, s^2), \\
\sigma_{zz3}^{HL} &= -2q \frac{\xi\kappa_1(q^2, s^2) - \kappa_2(q^2, s^2)}{2\pi(\zeta_2^2 - \xi\zeta_1^2)s^2}, \quad \sigma_l^{HL} = (-1)^{3-l} \frac{\xi^{2-l} q \lambda_{23l} \gamma_l^2}{\pi(\zeta_2^2 - \xi\zeta_1^2)}.
\end{aligned} \tag{5.8}$$

5.2. Изображения функций влияния второй подгруппы

Соответствующие изображения граничных условий (1.51)

записываются так:

$$u^{HL}|_{z=0} = 0, \quad \sigma_{zz}^{HL}|_{z=0} = \frac{1}{2\pi}, \quad \sigma_l^{HL}|_{z=0} = 0. \tag{5.9}$$

Постановка сюда соотношений (2.5) и (2.6) приводит к аналогичной (2.17) системе линейных алгебраических уравнений [25]:

$$\mathbf{A}_4 \mathbf{C} = \frac{1}{2\pi} \mathbf{b}_2, \tag{5.10}$$

Подставляя её решение

$$\begin{aligned}
C_1 &= \frac{-\xi}{2\pi(\zeta_2^2 - \xi\zeta_1^2)s^2}, \quad C_2 = \frac{1}{2\pi(\zeta_2^2 - \xi\zeta_1^2)s^2}, \\
C_3 &= \frac{q(1-\xi)}{2\pi(\zeta_2^2 - \xi\zeta_1^2)s^2 k_3(q^2, s^2)}
\end{aligned} \tag{5.11}$$

в (2.5) и (2.6) получаем изображения соответствующих функций влияния:

$$\begin{aligned}
G_{uzz}^{(4)HL} &= u^{HL} = \sum_{j=1}^3 u_j^{HL}(q, s) E_j(q, z, s), \\
G_{wzz}^{(4)HL} &= w^{HL} = \sum_{j=1}^3 w_j^{HL}(q, s) E_j(q, z, s), \\
G_{Uzz}^{(4)HL} &= U^{HL} = \sum_{j=1}^3 U_j^{HL}(q, s) E_j(q, z, s), \\
G_{Wzz}^{(4)HL} &= W^{HL} = \sum_{j=1}^3 W_j^{HL}(q, s) E_j(q, z, s);
\end{aligned} \tag{5.12}$$

$$\begin{aligned}
G_{zzz}^{(4)HL} &= \sigma_{zz}^{HL} = \sum_{j=1}^3 \sigma_{zzj}^{HL}(q, s) E_j(q, z, s), \\
G_{rzz}^{(4)HL} &= \sigma_{rz}^{HL} = \sum_{j=1}^3 \sigma_{rzj}^{HL}(q, s) E_j(q, z, s), \\
G_{\sigma zz}^{(4)HL} &= \sigma_{\sigma}^{HL} = \sum_{j=1}^3 \sigma_j^{HL}(q, s) E_j(q, z, s).
\end{aligned} \tag{5.13}$$

Здесь

$$\begin{aligned}
u_1^{HL} &= (-1)^{3-l} \frac{q \xi^{2-l}}{2\pi(\zeta_2^2 - \xi \zeta_1^2) s^2}, \quad u_3^{HL} = \frac{q(1-\xi)}{2\pi(\zeta_2^2 - \xi \zeta_1^2) s^2}, \\
w_1^{HL} &= (-1)^{3-l} \frac{\xi^{2-l} k_l(q^2, s^2)}{2\pi(\zeta_2^2 - \xi \zeta_1^2) s^2}, \quad w_3^{HL} = \frac{q^2(1-\xi)}{2\pi(\zeta_2^2 - \xi \zeta_1^2) s^2 k_3(q^2, s^2)}, \\
U_j^{HL} &= \beta_j u_j^{HL}, \quad W_j^{HL} = \beta_j w_j^{HL};
\end{aligned} \tag{5.14}$$

$$\begin{aligned}
\sigma_{rzl}^{HL} &= (-1)^l \frac{q \xi^{2-l} k_l(q^2, s^2)}{\pi(\zeta_2^2 - \xi \zeta_1^2) s^2}, \quad \sigma_{rz3}^{HL} = -\frac{q(1-\xi) \kappa_3(q^2, s^2)}{2\pi(\zeta_2^2 - \xi \zeta_1^2) s^2 k_3(q^2, s^2)}, \\
\sigma_{zzl}^{HL} &= (-1)^l \frac{\xi^{2-l} \kappa_l(q^2, s^2)}{2\pi(\zeta_2^2 - \xi \zeta_1^2) s^2}, \quad \sigma_{zz3}^{HL} = \frac{q^2(1-\xi)}{\pi(\zeta_2^2 - \xi \zeta_1^2) s^2}, \\
\sigma_l^{HL} &= (-1)^l \lambda_{23l} \gamma_l^2 \frac{\xi^{2-l}}{2\pi(\zeta_2^2 - \xi \zeta_1^2)}
\end{aligned} \tag{5.15}$$

5.3. Изображения функций влияния третьей подгруппы

В этой случае используем изображения граничных условий (1.53) записываются следующим образом:

$$u^{HL}|_{z=0} = 0, \sigma_{zz}^{HL}|_{z=0} = 0, \sigma^{HL}|_{z=0} = \frac{1}{2\pi}. \quad (5.16)$$

Постановка соотношений (2.5) и (2.6) в (5.16) приводит к системе линейных алгебраических уравнений относительно постоянных интегрирования [25]:

$$\mathbf{A}_4 \mathbf{C} = \frac{1}{2\pi} \mathbf{b}_3, \quad (5.17)$$

Её решение имеет вид:

$$C_1 = \frac{-\zeta_2^2}{2\pi s^2 (\lambda_{232} \gamma_2^2 \zeta_1^2 - \lambda_{231} \gamma_1^2 \zeta_2^2)}, \quad C_2 = \frac{\zeta_1^2}{2\pi s^2 (\lambda_{232} \gamma_2^2 \zeta_1^2 - \lambda_{231} \gamma_1^2 \zeta_2^2)}, \quad (5.18)$$

$$C_3 = \frac{q(\zeta_1^2 - \zeta_2^2)}{2\pi s^2 (\lambda_{232} \gamma_2^2 \zeta_1^2 - \lambda_{231} \gamma_1^2 \zeta_2^2) k_3(q^2, s^2)}.$$

Учитывая эти равенства, из (2.5) и (2.6) находим изображения соответствующих функций влияния:

$$\begin{aligned}
G_{u\sigma}^{(4)HL} &= u^{HL} = \sum_{j=1}^3 u_j^{HL}(q, s) E_j(q, z, s), \\
G_{w\sigma}^{(4)HL} &= w^{HL} = \sum_{j=1}^3 w_j^{HL}(q, s) E_j(q, z, s), \\
G_{U\sigma}^{(4)HL} &= U^{HL} = \sum_{j=1}^3 U_j^{HL}(q, s) E_j(q, z, s), \\
G_{W\sigma}^{(4)HL} &= W^{HL} = \sum_{j=1}^3 W_j^{HL}(q, s) E_j(q, z, s);
\end{aligned} \tag{5.19}$$

$$\begin{aligned}
G_{zz\sigma}^{(4)HL} &= \sigma_{zz}^{HL} = \sum_{j=1}^3 \sigma_{zzj}^{HL}(q, s) E_j(q, z, s), \\
G_{rz\sigma}^{(4)HL} &= \sigma_{rz}^{HL} = \sum_{j=1}^3 \sigma_{rzj}^{HL}(q, s) E_j(q, z, s), \\
G_{\sigma\sigma}^{(4)HL} &= \sigma_{\sigma}^{HL} = \sum_{j=1}^3 \sigma_j^{HL}(q, s) E_j(q, z, s).
\end{aligned} \tag{5.20}$$

Здесь

$$\begin{aligned}
u_l^{HL} &= \frac{(-1)^{3-l} q \zeta_{3-l}^2}{2\pi s^2 (\lambda_{232} \gamma_2^2 \zeta_1^2 - \lambda_{231} \gamma_1^2 \zeta_2^2)}, \quad u_3^{HL} = \frac{q(\zeta_1^2 - \zeta_2^2)}{2\pi s^2 (\lambda_{232} \gamma_2^2 \zeta_1^2 - \lambda_{231} \gamma_1^2 \zeta_2^2)}, \\
w_l^{HL} &= \frac{(-1)^{3-l} \zeta_{3-l}^2 k_l(q^2, s^2)}{2\pi s^2 (\lambda_{232} \gamma_2^2 \zeta_1^2 - \lambda_{231} \gamma_1^2 \zeta_2^2)}, \\
w_3^{HL} &= \frac{q^2 (\zeta_1^2 - \zeta_2^2)}{2\pi s^2 (\lambda_{232} \gamma_2^2 \zeta_1^2 - \lambda_{231} \gamma_1^2 \zeta_2^2) k_3(q^2, s^2)}, \\
U_j^{HL}(q, s) &= \beta_j u_j^{HL}(q, s), \quad W_j^{HL}(q, s) = \beta_j w_j^{HL}(q, s);
\end{aligned} \tag{5.21}$$

$$\begin{aligned}
\sigma_{rzi}^{HL} &= \frac{(-1)^l q \zeta_{3-l}^2 k_l(q^2, s^2)}{\pi s^2 (\lambda_{232} \gamma_2^2 \zeta_1^2 - \lambda_{231} \gamma_1^2 \zeta_2^2)}, \quad \sigma_{rz3}^{HL} = \frac{q(\zeta_1^2 - \zeta_2^2) \kappa_3(q^2, s^2)}{2\pi s^2 (\lambda_{232} \gamma_2^2 \zeta_1^2 - \lambda_{231} \gamma_1^2 \zeta_2^2) k_3(q^2, s^2)}, \\
\sigma_{zzi}^{HL} &= \frac{(-1)^l \zeta_{3-l}^2 \kappa_l(q^2, s^2)}{2\pi s^2 (\lambda_{232} \gamma_2^2 \zeta_1^2 - \lambda_{231} \gamma_1^2 \zeta_2^2)}, \quad \sigma_{zz3}^{HL} = -\frac{q^2 (\zeta_1^2 - \zeta_2^2) \kappa_3(q^2, s^2)}{\pi s^2 (\lambda_{232} \gamma_2^2 \zeta_1^2 - \lambda_{231} \gamma_1^2 \zeta_2^2) k_3(q^2, s^2)}, \quad (5.22) \\
\sigma_l^{HL} &= (-1)^l \frac{\zeta_{3-l}^2 \lambda_{23l} \gamma_l^2}{2\pi s^2 (\lambda_{232} \gamma_2^2 \zeta_1^2 - \lambda_{231} \gamma_1^2 \zeta_2^2)}.
\end{aligned}$$

5.4. Оригиналы функций влияния четвертой группы

Поскольку оригиналы всех функций влияния находятся этой группы аналогично, то ограничимся только третьей подгруппой. Предварительно преобразуем слагаемые в (5.19) и (5.20) с учетом (5.21) и (5.22) следующим образом [25]:

$$\begin{aligned}
u_j^{HL}(q, s, z) E_j(q, z, s) &= A_j q s^{-2} E_j(q, z, s), \quad U_j^{HL} = \beta_j u_j^{HL}, \quad W_j^{HL} = \beta_j w_j^{HL}, \\
w_l^{HL}(q, s, z) E_l(q, z, s) &= A_l s^{-2} k_l(q^2, s^2) E_l(q, z, s), \quad A_l = -\frac{a_l}{2\pi m \gamma_l^2} \quad (l=1, 2), \\
w_3^{HL}(q, s, z) E_3(q, z, s) &= \frac{A_3 q^2}{s^2 k_3(q, s)} E_3(q, z, s), \quad A_3 = \frac{a_3}{2\pi m \gamma_1^2 \gamma_2^2}, \quad (5.23) \\
a_1 &= \beta_0 (2 + \lambda_{122}) - (1 - \beta_0) \lambda_{232}, \quad a_2 = (1 - \beta_0) \lambda_{231} - \beta_0 (2 + \lambda_{121}), \\
a_3 &= a_1 \gamma_2^2 + a_2 \gamma_1^2, \quad m = (2 + \lambda_{122}) \lambda_{231} - (2 + \lambda_{121}) \lambda_{232} \quad (j=1, 2, 3);
\end{aligned}$$

$$\begin{aligned}
\sigma_{rzi}^{HL}(q, s, z) E_l(q, z, s) &= -2 A_l q s^{-2} k_l(q^2, s^2) E_l(q, z, s), \\
\sigma_l^{HL}(q, s, z) E_l(q, z, s) &= -A_l \lambda_{23l} \gamma_l^2 E_l(q, z, s), \\
\sigma_{zzi}^{HL}(q, s, z) E_l(q, z, s) &= -A_l s^{-2} \kappa_l(q^2, s^2) E_l(q, z, s), \quad (5.24) \\
\sigma_{rz3}^{HL}(q, s, z) E_3(q, z, s) &= -A_3 \frac{q \kappa_3(q^2, s^2)}{s^2 k_3(q^2, s^2)} E_3(q, z, s), \\
\sigma_{zz3}^{HL}(q, s, z) E_3(q, z, s) &= -\frac{2 A_3 q^2}{s^2} E_3(q, z, s).
\end{aligned}$$

Структура полученных изображений в (5.23) и (5.24) аналогично п.4.4 позволяет вычислить оригиналы аналитически последовательным

обращением преобразований с применением их свойств и таблиц [12]. При этом используются следующие дополнения и уточнения к указанным таблицам для оригиналов преобразования Ханкеля $z > 0, \operatorname{Re} a > 0, r_3 = \sqrt{r^2 + z^2}$ [25]:

$$\begin{aligned}
\left[\sqrt{q^2 + a^2} e^{-z\sqrt{q^2 + a^2}} \right]^{H_0^{-1}} &= \frac{1}{r_3^3} \left[\frac{2z^2 - r^2}{r_3} \left(a + \frac{1}{r_3} \right) + a^2 z^2 \right] e^{-ar_3}, \\
\left[q^2 e^{-z\sqrt{q^2 + a^2}} \right]^{H_0^{-1}} &= -\frac{z}{r_3^4} \left[3 \frac{3r^2 - 2z^2}{r_3^2} \left(a + \frac{1}{r_3} \right) + 2a^2 \frac{2r^2 - z^2}{r_3} + a^3 r^2 \right] e^{-ar_3}, \quad (5.25) \\
\left[q e^{-z\sqrt{q^2 + a^2}} \right]^{H_1^{-1}} &= \frac{rz}{r_3^3} \left(\frac{3}{r_3^2} + \frac{3a}{r_3} + a^2 \right) e^{-ar_3}, \\
\left[\frac{q^3 e^{-z\sqrt{q^2 + a^2}}}{\sqrt{q^2 + a^2}} \right]^{H_1^{-1}} &= \frac{r}{r_3^4} \left[3 \frac{4z^2 - r^2}{r_3^2} \left(a + \frac{1}{r_3} \right) + 2a^2 \frac{2z^2 - r^2}{r_3} - a^3 r^2 \right] e^{-ar_3}, \\
\left[q \sqrt{q^2 + a^2} e^{-z\sqrt{q^2 + a^2}} \right]^{H_1^{-1}} &= \frac{r}{r_3^4} \left[3 \frac{4z^2 - r^2}{r_3^2} \left(a + \frac{1}{r_3} \right) + a^2 \frac{5z^2 - r^2}{r_3} + a^3 z^2 \right] e^{-ar_3}
\end{aligned}$$

В результате приходим к следующим равенствам для оригиналов слагаемых в формулах (5.19) и (5.20) $j = 1, 2, 3 \quad l = 1, 2$

$$\begin{aligned}
\left[u_j^{HL} E_j(q, z, s) \right]^{H_1^{-1} L^{-1}} &= u_{jr}(r, \tau, z) + u_{js}(r, \tau, z), \\
\left[w_j^{HL} E_j(q, z, s) \right]^{H_0^{-1} L^{-1}} &= w_{jr}(r, \tau, z) + w_{js}(r, \tau, z), \\
\left[U_j^{HL} E_j(q, z, s) \right]^{H_1^{-1} L^{-1}} &= U_{jr}(r, \tau, z) + U_{js}(r, \tau, z), \\
\left[W_j^{HL} E_j(q, z, s) \right]^{H_0^{-1} L^{-1}} &= W_{jr}(r, \tau, z) + W_{js}(r, \tau, z), \\
\left[\sigma_{zj}^{HL} E_j(q, z, s) \right]^{H_0^{-1} L^{-1}} &= \sigma_{zjr}(r, \tau, z) + \sigma_{zjs}(r, \tau, z), \\
\left[\sigma_{rj}^{HL} E_j(q, z, s) \right]^{H_1^{-1} L^{-1}} &= \sigma_{rjr}(r, \tau, z) + \sigma_{rjs}(r, \tau, z),
\end{aligned} \tag{5.26}$$

$$\sigma_l(x, \tau, z) = \frac{-A_l \lambda_{23l} \gamma_l^2 z}{r_3^3} \left[\delta(\tau - \gamma_l r_3) + \gamma_l r_3 \delta'(\tau - \gamma_l r_3) \right]. \quad (5.27)$$

Здесь

$$u_{jr}(x, \tau, z) = 3A_j \frac{\tau r z}{r_3^5} H(\tau - \gamma_j r_3), \quad w_{jr}(x, \tau, z) = A_j \tau \frac{2z^2 - r^2}{r_3^5} H(\tau - \gamma_j r_3), \quad (5.28)$$

$$U_{jr}(x, \tau, z) = \beta_j u_{jr}(x, \tau, z), \quad W_{jr}(x, \tau, z) = \beta_j w_{jr}(x, \tau, z);$$

$$\sigma_{zzjr}(r, \tau, z) = 6A_j \tau z \frac{3r^2 - 2z^2}{r_3^7} H(\tau - \gamma_j r_3), \quad (5.29)$$

$$\sigma_{rzjr}(x, \tau, z) = -A_j \frac{6\tau r}{r_3^7} (4z^2 - r^2) H(\tau - \gamma_j r_3),$$

$$u_{js}(x, \tau, z) = A_j \gamma_j^2 \frac{r z}{r_3} \delta(\tau - \gamma_j r_3), \quad U_{js}(x, \tau, z) = \beta_j u_{js}(x, \tau, z); \quad (5.30)$$

$$w_{ls}(x, \tau, z) = A_l \gamma_l^2 \frac{z^2}{r_3} \delta(\tau - \gamma_l r_3), \quad w_{3s}(x, \tau, z) = -A_3 \gamma_3^2 \frac{z^2}{r_3} \delta(\tau - \gamma_3 r_3), \quad (5.31)$$

$$W_{js}(x, \tau, z) = \beta_j w_{js}(x, \tau, z)$$

$$\begin{aligned} \sigma_{zzls}(r, \tau, z) = & -\frac{A_l \gamma_l^2 z}{r_3^2} \left[\frac{1}{r_3} \left(\lambda_{12l} + 6 \frac{z^2 - r^2}{r_3^2} \right) \delta(\tau - \gamma_l r_3) \right. \\ & \left. + \gamma_l \left(\lambda_{12l} + \frac{2z^2}{r_3^2} \right) \delta'(\tau - \gamma_l r_3) \right], \end{aligned} \quad (5.32)$$

$$\begin{aligned} \sigma_{zz3s}(x, \tau, z) = & \frac{2A_3 \gamma_3^2 z}{r_3^4} \left[2 \frac{2r^2 - z^2}{r_3} \delta(\tau - \gamma_3 r_3) \right. \\ & \left. + \gamma_3 r^2 \delta'(\tau - \gamma_3 r_3) \right]; \end{aligned}$$

$$\begin{aligned}
\sigma_{r_z l s}(x, \tau, z) &= -2A_l \gamma_l^2 \frac{r}{r_3^5} \left[(5z^2 - r^2) \delta(\tau - \gamma_l r_3) + \gamma_l r_3^3 z^2 \delta'(\tau - \gamma_l r_3) \right], \\
\sigma_{r_z 3 s}(x, \tau, z) &= -A_3 \gamma_3^2 \frac{r}{r_3^4} \left[\frac{3}{r_3} (3z^2 - r^2) \delta(\tau - \gamma_3 r_3) + \gamma_3 (z^2 - r^2) \delta'(\tau - \gamma_3 r_3) \right].
\end{aligned} \tag{5.33}$$

Тогда в соответствии с (5.19), (5.19) и (5.26) получаем следующие равенства для функций влияния [20]:

$$\begin{aligned}
G_{uw}^{(4)}(r, \tau, z) &= u_r(r, \tau, z) + u_s(r, \tau, z), \\
G_{ww}^{(4)}(r, \tau, z) &= w_r(r, \tau, z) + w_s(r, \tau, z), \\
G_{Uw}^{(4)}(r, \tau, z) &= U_r(r, \tau, z) + U_s(r, \tau, z), \\
G_{Ww}^{(4)}(r, \tau, z) &= W_r(r, \tau, z) + W_s(r, \tau, z), \\
u_r(r, \tau, z) &= \sum_{j=1}^3 u_{jr}(r, \tau, z), \quad u_s(r, \tau, z) = \sum_{j=1}^3 u_{js}(r, \tau, z), \\
w_r(r, \tau, z) &= \sum_{j=1}^3 w_{jr}(r, \tau, z), \quad w_s(r, \tau, z) = \sum_{j=1}^3 w_{js}(r, \tau, z), \\
U_r(r, \tau, z) &= \sum_{j=1}^3 U_{jr}(r, \tau, z), \quad U_s(r, \tau, z) = \sum_{j=1}^3 U_{js}(r, \tau, z), \\
W_r(r, \tau, z) &= \sum_{j=1}^3 W_{jr}(r, \tau, z), \quad W_s(r, \tau, z) = \sum_{j=1}^3 W_{js}(r, \tau, z);
\end{aligned} \tag{5.34}$$

$$\begin{aligned}
G_{zzw}^{(4)}(r, \tau, z) &= \sigma_{zzr}(r, \tau, z) + \sigma_{zsz}(r, \tau, z), \\
G_{rzw}^{(4)}(r, \tau, z) &= \sigma_{r_z r}(r, \tau, z) + \sigma_{r_z s}(r, \tau, z), \\
G_{\sigma w}^{(4)}(r, \tau, z) &= \sum_{l=1}^2 \sigma_l(r, \tau, z); \\
\sigma_{zzr}(r, \tau, z) &= \sum_{j=1}^3 \sigma_{zzjr}(r, \tau, z), \quad \sigma_{zsz}(r, \tau, z) = \sum_{j=1}^3 \sigma_{zzjs}(r, \tau, z), \\
\sigma_{r_z r}(r, \tau, z) &= \sum_{j=1}^3 \sigma_{r_z jr}(r, \tau, z), \quad \sigma_{r_z s}(r, \tau, z) = \sum_{j=1}^3 \sigma_{r_z js}(r, \tau, z).
\end{aligned} \tag{5.35}$$

5.5. Примеры расчетов

Результаты вычислений для материала с физическими характеристиками, указанными в п.2.6, по формулам (5.34) и (5.35) регулярных составляющих функций влияния $u_r(r, \tau, z)$, $U_r(r, \tau, z)$, $w_r(r, \tau, z)$, $W_r(r, \tau, z)$, $\sigma_{zz}(r, \tau, z)$ и $\sigma_{rz}(r, \tau, z)$ в зависимости от координаты z при $r=0,3$ представлены на рис. 5.1 – 5.6.

Сплошные кривые соответствуют моменту времени $\tau=0,4$, точечные - $\tau=0,5$, а пунктирные - $\tau=0,6$. Аналогично п. 4.5 разрывы на графиках имеют место в точках, $r_3 = \tau/\gamma_k$ ($k=1,2,3$), определяющих фронты волн в скелете и жидкости.

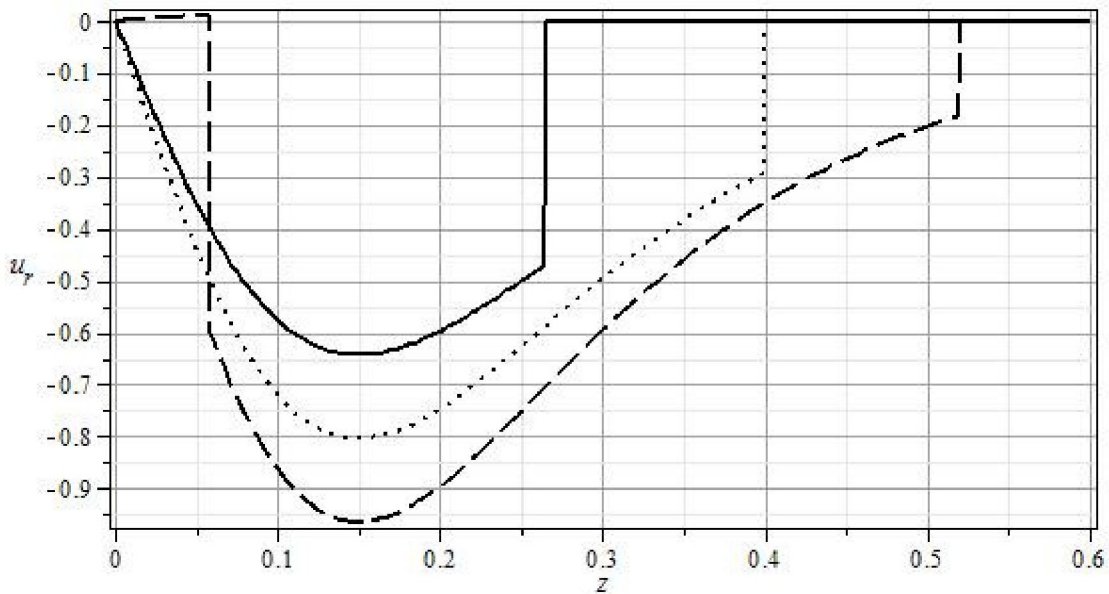


Рис. 5.1

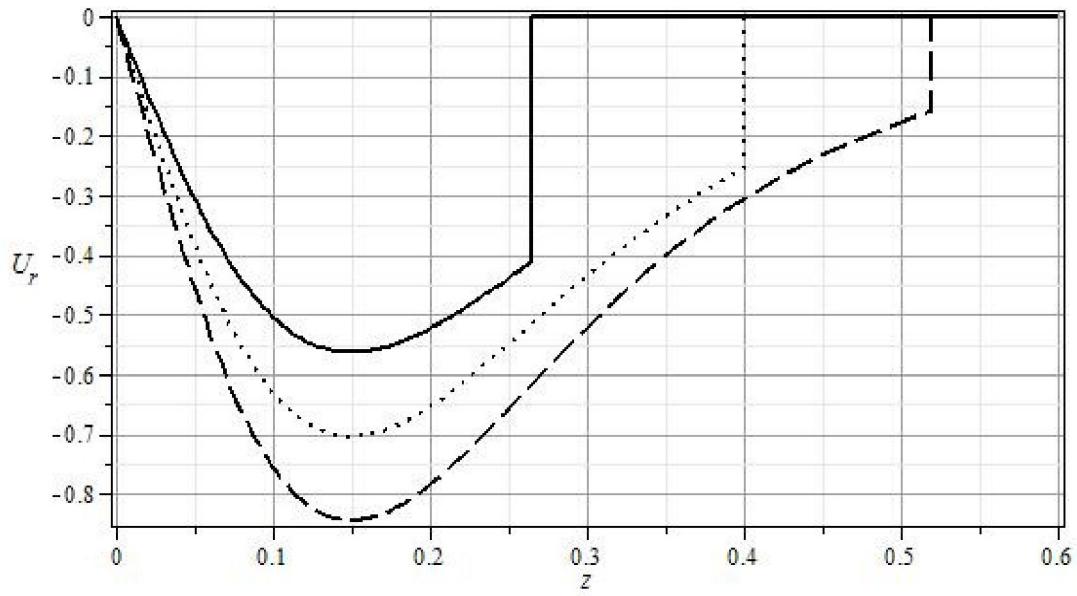


Рис. 5.2

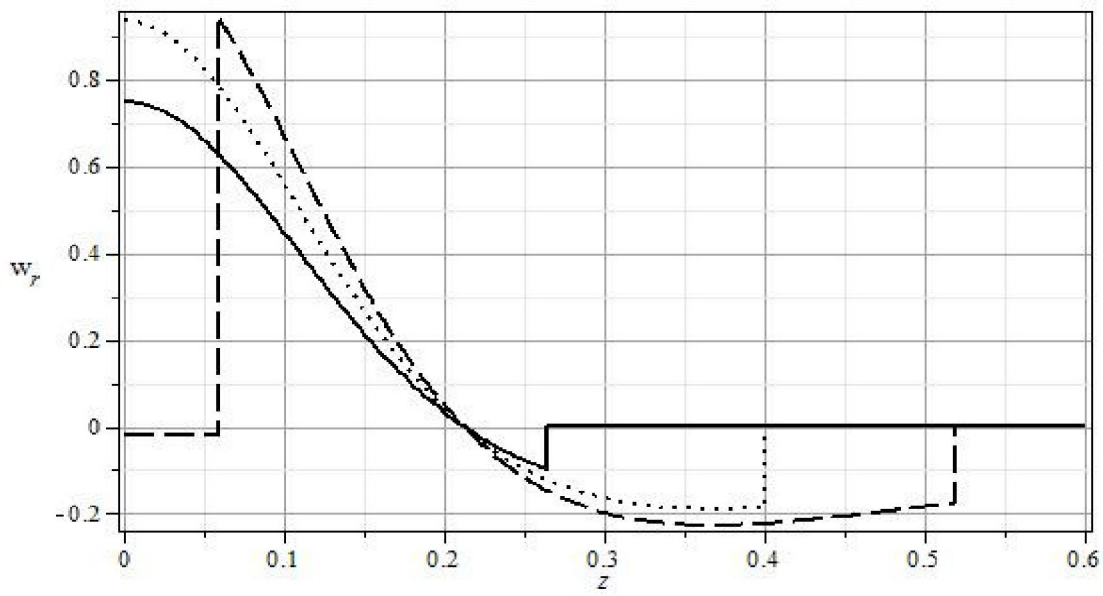


Рис. 5.3

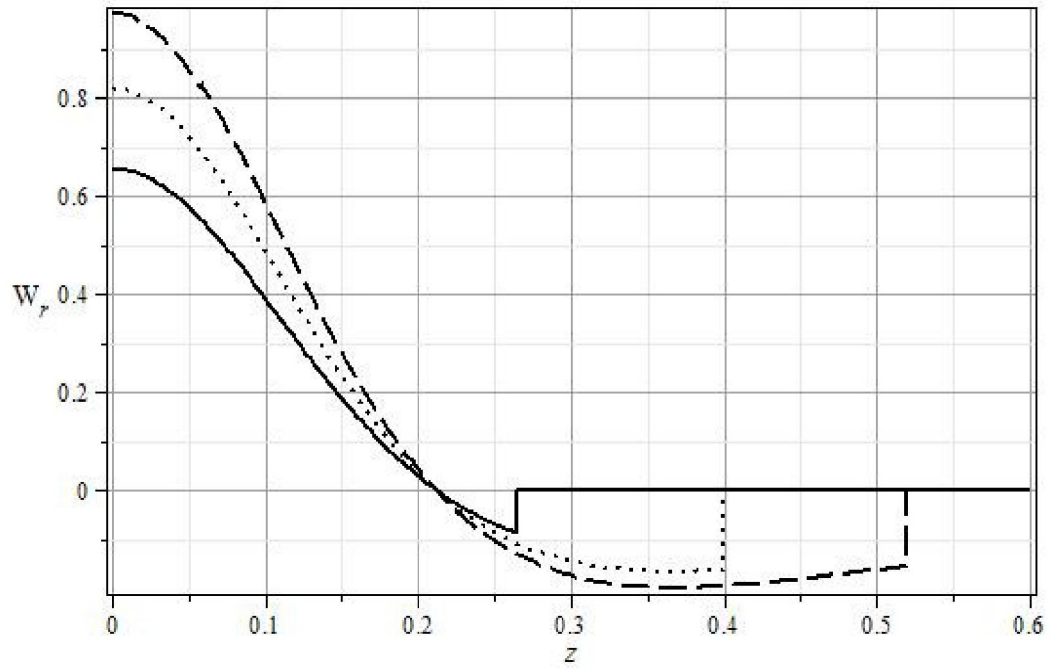


Рис. 5.4

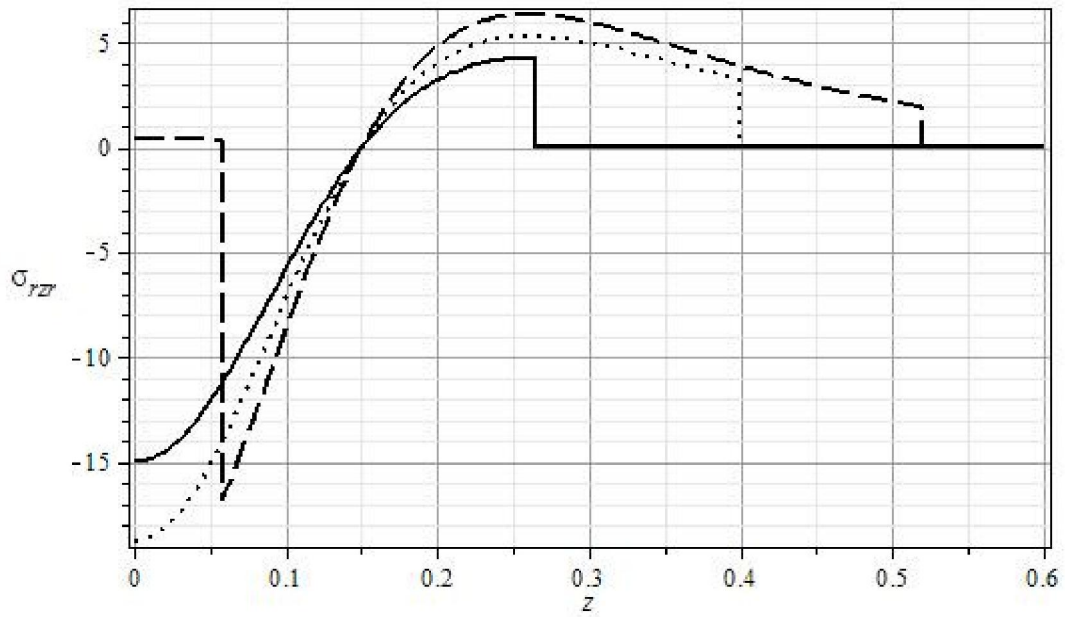


Рис. 5.5

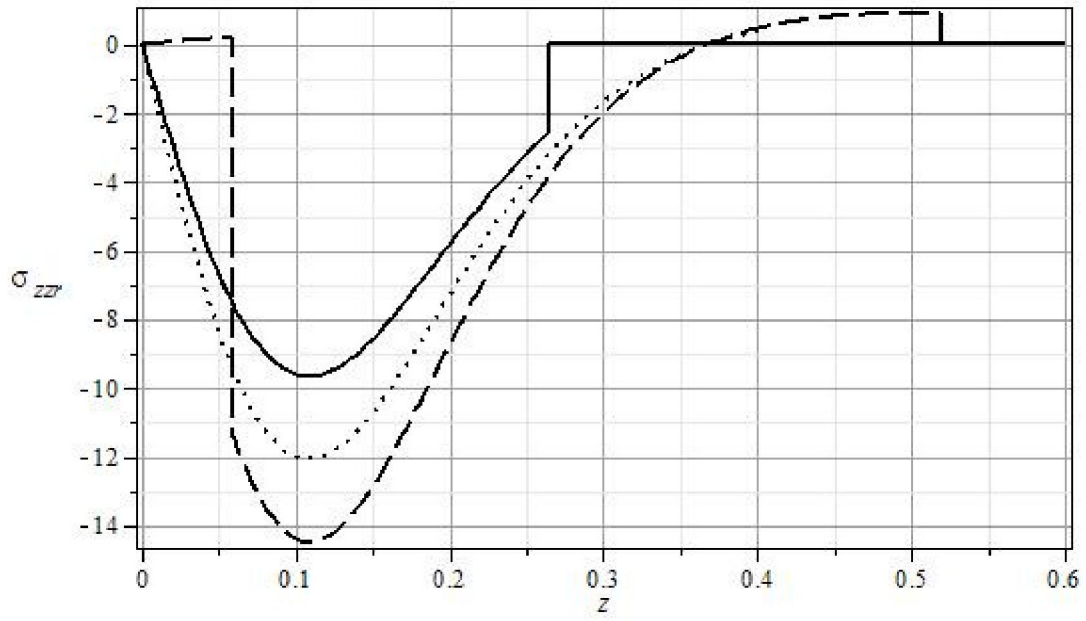


Рис. 5.6

Заключение

Основные результаты диссертационной работы следующие.

1. Построены интегральные представления решения осесимметричной задачи о распространении нестационарных поверхностных возмущений в упруго-пористом полупространстве.

2. Дана классификация всех ядер интегральных представлений (поверхностных функций влияния) и найдены их изображения в пространстве интегральных преобразований Лапласа и Ханкеля.

3. Оригиналы функций влияния для двух групп найдены с использованием связи осесимметричной и плоской задач.

4. Показано, что оригиналы функций влияния для двух других групп могут быть построены с помощью последовательного обращения преобразований. Найдены их явные выражения.

Список использованной литературы

1. **Абдуллаев С.А., Соатов Я.У.** Распространение упругих волн, вызванных движущейся нагрузкой, в изотропном упругом пористом полупространстве, насыщенном жидкостью // Изв. АН УзССР. Сер. техн. н. - 1986, № 6. - С. 64-67.
2. **Аменицкий А.В., Белов А.А., Игумнов Л.А., Карелин И.С.** Граничные интегральные уравнения для решения динамических задач трехмерной теории пороупругости // Проблемы прочности и пластичности / Межвуз.сб. Вып. 71. Н.Новгород: Изд-во ННГУ, 2009. – С. 164-171.
3. **Аменицкий А.В., Белов А.А., Игумнов Л.А.** Гранично-элементное решение динамической посадки пороупругой колонны // Проблемы прочности и пластичности: Межвуз.сб.– Н.Новгород: Изд-во ННГУ. – Вып. 72. – 2010. – С.154-158.
4. **Аменицкий А.В., Игумнов Л.А., Карелин И.С.** Развитие метода граничных элементов для решения проблемы распространения волн в пористых средах // Проблемы прочности и пластичности: Межиузовский сборник. Н.Новгород: Изд-во ННГУ. 2008. Вып.70. С. 71-78.
5. **Балуева А.В.** Новый метод решения пространственных задач для упругой пористой среды с полостями и трещинами при возможном налегании их поверхностей Числ. методы решения задач фильтрации многофаз. несжимаемой жидкости // Новосибирск, 1987. - С. 33-37.
6. **Баженов В.Г., Игумнов Л.А.** Методы граничных интегральных уравнений и граничных элементов в решении задач трехмерной динамической теории упругости с сопряженными полями: Монография. Москва: Изд-во Физматлит, 2008. – 352с.

7. **Белов А.А., Игумнов Л.А., Карелин И.С., Литвинчук С.Ю.** Применение метода ГИУ для решения краевых задач трехмерных динамических теорий вязко- и пороупругости // Электронный журнал «Труды МАИ». 2010. Вып. №40. С. 1-20.
8. **Био М.А.** Механика деформирования и распространения акустических волн в пористой среде // Механика. Сб.переводов, № 6. - С. 103-135.
9. **Боровиков В.А.** Дифракция на многоугольниках и многогранниках. - М.: Наука, 1966. - 455 с.
10. **Гафурбаева С.М., Наримов Ш.Н.** Направленное сосредоточенное воздействие в насыщенных пористых средах // Ташк. политехн. ин-т., 1990. - 9 с.
11. **Гафурбаева С.М., Наримов Ш.Н.** Автомодельные решения одной пространственной задачи теории насыщенных пористых сред. –Ташкент: Ташк. хим.-технол. ин-т., 1992. – 12 с.
12. **Горшков А.Г., Медведский А.Л., Рабинский Л.Н., Тарлаковский Д.В.** Волны в сплошных средах. - М.: Физматлит, 2004. - 472 с.
13. **Горшков А.Г., Салиев А.А., Тарлаковский Д.В.** Распространение нестационарных возмущений от сферической полости в упруго-пористой среде // ДАН УзССР, 1987, № 7. - С. 15-16.
14. **Горшков А.Г., Тарлаковский Д.В.** Динамические контактные задачи с подвижными границами. - М.: Физматлит, 1995. - 352 с.
15. **Горшков А.Г., Тарлаковский Д.В.** Нестационарная аэрогидроупругость тел сферической формы. - М.: Наука, 1990. - 352 с.

16. **Гузь А.Н., Кубенко В.Д., Черевко М.А.** Дифракция упругих волн. - Киев: Наукова думка, 1978. - 204 с.

17. **Данг Куанг Занг, Тарлаковский Д.В.** Осесимметричные нестационарные колебания упруго-пористого полупространства под действием поверхностного возмущения // Труды IX Всероссийской научной конференции «Нелинейные колебания механических систем» (Нижний Новгород, 24–29 сентября 2012 г.). - Нижний Новгород: Издательский дом «Наш дом», 2012. – С. 314-319.

18. **Данг Куанг Занг, Тарлаковский Д.В.** Упруго-пористое полупространство под действием осесимметричного нестационарного поверхностного кинематического возмущения // Нестационарные процессы деформирования элементов конструкций, обусловленные воздействием полей различной физической природы. – Львов: ИППММ им. Я.С. Подстригача. – 2012. - С. 51 – 55.

19. **Данг Куанг Занг, Тарлаковский Д.В.** Упруго-пористое полупространство под действием нестационарной нормальной силы // Тезисы докладов IV Всерос. симпоз. «Механика композиционных материалов и конструкций», 4-6 декабря 2012 г. – М.: ИПРИМ РАН, 2012. – С. 33.

20. **Данг Куанг Занг, Тарлаковский Д.В.** Распространение осесимметричных нестационарных возмущений в упруго-пористой плуплоскости под действием поверхностных касательных напряжений // Сб. тезисов докладов Московской молодежной научно-практической конференции «Инновация в авиации и космонавтике – 2013», 16-18 апреля 2013 года. – М.: ООО «Принт-салон», 2013. – С. 280-281.

21. **Данг Куанг Занг, Тарлаковский Д.В.** Распространение нестационарных возмущений в упруго-пористой полуплоскости по действием поверхностной

нормальной силы // Научная конференция «Ломоносовские чтения-2013». – М.: МГУ им. М.В. Ломоносова. - С. 128-129.

22. Данг Куанг Занг, Тарлаковский Д.В. Действие на упруго-пористое полупространство осесимметричной нестационарной поверхностной нагрузки // Материалы XIX Международного симпозиума «Динамические и технологические проблемы конструкций и сплошной сред» им. А.Г. Горшкова. Т.2. - М.: ООО «ТР-принт», 2013. - С 21-22.

23. Данг Куанг Занг, Тарлаковский Д.В. Упруго-пористое полупространство под действием осесимметричного нестационарного нормального перемещения его границы // 2-я Всероссийская научная конференция «Механика наноструктурированных материалов и систем». Т.1., 2014 – М.: ООО «Сам Полиграфист». - С. 70-77.

24. Данг Куанг Занг, Тарлаковский Д.В. Распространение осесимметричных поверхностных возмущений в упруго-пористом полупространстве // Электронный журнал “Труды МАИ”, 2014, № 76, <http://www.mai.ru/science/trudy>.

25. Данг Куанг Занг, Тарлаковский Д.В. Действие на границы упруго-пористого полупространства с касательной диафрагмой нестационарной нормальной осесимметричной нагрузки // Механика композиционных материалов и конструкций. – 2014, Т. 20, № 1. - С 148-158.

26. Данг Куанг Занг, Тарлаковский Д.В. Осесимметричная задача о действии нестационарных поверхностных касательных перемещений на упруго-пористое полупространство // Материалы XX Международного симпозиума «Динамические и технологические проблемы конструкций и сплошной сред» им. А.Г. Горшкова – 2014. - С. 16-17.

27. Данг Куанг Занг, Тарлаковский Д.В. Упруго- пористое полупространство под действием осесимметричного нестационарного нормального перемещения его границы // 2-я Всероссийская научная конференция «Механика наноструктурированных материалов и систем» - ИПРИМ РАН - 2013. – С. 27 – 28.
28. **Дмитриев В. Л.** Распространение линейных волн в насыщенных пористых средах с учетом межфазного теплообмена: Автореф. дис. на соиск. уч. степ. канд. физ.-мат. наук. Башк. гос. ун-т, Уфа, 2005. - 24 с.
29. **Джонс Д.Р.** Распространение импульса в пористоупругом теле // Тр. амер. об-ва инж. мех., Сер.Е: Прикл.мех, 1969, Т. 36, №4. - С.237-241.
30. **Егоров А. Г., Зайцев А. Н., Костерин А. В., Скворцов Э. В.** Акустические волны в насыщенной пористой среде // Числ. методы решения задач фильтрации многофаз. несжимаемой жидкости. – Новосибирск, 1987. - С. 115-119.
31. **Егоров А. Г., Костерин А. В.** О движении катка по поверхности насыщенного пористого полупространства // Докл. РАН, 1998, Т. 360, №6. - С.762-764.
32. **Егоров А. Г., Костерин А. В., Скворцов Э.В.** Консолидация и акустические волны в насыщенных пористых средах. – Казань: Изд-во Казан. ун-та, 1990. -102 с.
33. **Игумнов Л.А., Карелин И.С.** Решение трехмерных задач динамической теории пороупругости методом граничных элементов с применением параллельных вычислений // Вестник Нижегородского университета им. Н.И.

Лобачевского. Сер.Механика. Н.Новгород: Изд-во: Нижегородского госуниверситета. 2011, №3(1). - С. 153-157.

34. **Игумнов Л.А., Литвинчук С.Ю., Белов А.А.** Элементы метода граничных интегральных уравнений в решении задач динамической пороупругости. – Нижний Новгород: Нижегородский университет, 2010. – 45 с.

35. **Клейман Я.З.** Задача о волновых движениях в двухкомпонентной среде // Изв. АН СССР, ОТН. Сер. мех. и мат., 1960, №1. - С.60-70.

36. **Ляхов Г.М.** Ударные волны в многокомпонентных средах // Изв. АН СССР, ОТН. Сер. мех. и мат., 1959. - С.46-50.

37. **Ляхов Г.М.** Основы динамики взрывных волн в грунтах и жидких средах. - М.: Недра, 1974. - 200 с.

38. **Ляхов Г.М., Полякова И.И.** Волны в плотных средах и нагрузки на сооружения. - М.: Недра, 1967. - 231 с.

39. **Мардонов Б.О.** Распространении одномерных волн в двух- компонентных средах. - Изв. АН УзССР, сер.техн.наук, 1983. -С. 56-59.

40. **Мардонов Б.О., Ибраимов О.** Распространение цилиндрической волны в пористой среде // Изв. АН УзССР, сер. техн. наук, 1972, №4. - С.69-72.

41. **Малков М.А.** Двумерная задача об упругом соударении стержней // Докл. АН СССР, 1973, Т.148, № 4. - С.782-785.

42. **Михайлов Д.Н., Николаевский В.Н.** Динамика потока в пористых средах при нестационарных фазовых проницаемостях // Изв. РАН. Мех. жидкости и газа, 2000, № 5. - С. 103-113.

43. **Наримов Ш.Н.** Волновые процессы в насыщенных пористых средах. – Ташкент: Мехнат, 1988. - 304 с.
44. **Николаевский В.Н.** О распространение продольных волн в насыщенных жидкостью упругих пористых средах // Инж. журн. - 1963, Т.3, вып.2. - С. 251-261.
45. **Николаевский В.Н., Баскиев К.С., Горбунов А.Т., Зотов Т.А.** Механика насыщенных пористых сред. - М.: Недра, 1970. - 355 с.
46. **Нгуен Нгок Хоа, Тарлаковский Д.В.** Нестационарные поверхностные функции влияния для упруго-пористой полуплоскости // Электронный журнал «Труды МАИ», 2012, №53, www.mai.ru/science/trudy/.
47. **Нгуен Нгок Хоа, Тарлаковский Д.В.** Распространение нестационарных поверхностных кинематических возмущений в упруго-пористой полуплоскости // Механика композиционных материалов и конструкций, 2010, Т. 17, № 4. – С.567.576.
48. **Нгуен Нгок Хоа, Тарлаковский Д.В.** Действие нестационарной поверхностной нагрузки на упруго-пористую полуплоскость // Материалы XVIII Международного симпозиума «Динамические и технологические проблемы механики конструкций и сплошных сред им А.Г Горшкова». Т. 2. - М.: ООО «ТР-принт», 2012. -С.54-55.
49. **Партон В.З.** Распространение цилиндрических и сферических волн уплотнения в водонасыщенном грунте в линейном приближении // Инж. журн., 1964, Т. 4, № 1. - С. 121-126.
50. **Рахматулин Х.А.** Основы газодинамики взаимопроникающих движений сжимаемых сред // ПММ, 1956, Т. 20, вып.2. - С. 196-201.

51. **Рахматулин Х.А., Соатов Я.У., Филиппов И.Г., Артыков Т.У.** Волны в двухкомпонентных средах. - Ташкент: ФАН, 1974. -226 с.
52. **Соатов Я.У., Наримов Ш.Н., Кудратов О.** Действие сосредоточенных сил в бесконечном насыщенном пористом пространстве. - Ташкент: Ташк. политехн. ин-т., 1986. - 19 с.
53. **Соатов Я.У., Наримов Ш.Н., Кудратов О.** Стационарные поля смещений при действии сосредоточенной подвижной нагрузки движущейся вдоль линии с постоянной сверхзвуковой скоростью - Ташкент: Ташк. политехн. ин-т., 1986. - 11с.
54. **Сагомоян А.Я., Поручиков В.Б.** Пространственные задачи неустановившегося движения сжимаемой жидкости. - М.: Изд-во МГУ, 1970. - 120 с.
55. **Сагомоян А.Я.** Волны напряжения в сплошных средах. – М.: Изд. МГУ, 1985. - 416 с.
56. **Снеддон И.** Преобразования Фурье. – М: ИЛ, 1955. - 688 с.
57. **Слепян Л.И, Яколев Ю.С.** Интегральные преобразования в нестационарных задачах механики. – Л: Судостроение, 1980. -344 с.
58. **Соатов Я.У.** Плоские задачи механики упруго-пористых сред. - Ташкент: ФАН, 1975. - 249 с.
59. **Тарлаковский Д.В., Данг Куанг Занг.** Исследование процесса распространения осесимметричных поверхностных возмущений в упруго-пористом полупространстве с использованием связи с плоской задачей // Ломоносовские чтения. Тезисы докладов научной конференции. Секция

механики. 14–23 апреля 2014 г., Москва, МГУ имени М. В. Ломоносова. – М.: Издательство Московского университета, 2014. - С. 131.

60. **Трофимчук А.Н.** Асимптотические решения нестационарных контактных задач для насыщенных жидкостью пористоупругих сред // Смеш. задачи мех. деформируем. тела: 4 Всес. конф., 26-29 сент., 1989: Тез. докл. Ч. 2. Одесса, 1989. - С. 111.

61. **Трофимчук А. Н.** Численное моделирование динамического поведения пористоупругой насыщенной жидкостью среды // Доп. Нац. АН України, 1998, № 11. - С. 44-48.

62. **Трофимчук А. Н., Гомилко А.М., Савицкий О.А.** Динамика пористоупругих насыщенных жидкостью сред. – К.: Наука. Думка, 2003. - 230 с.

63. **Филиппов И.Г., Бахрамов Б.М.** Волны в упругих однородных и неоднородных средах. – Ташкент: ФАН, 1978. - 150 с.

64. **Филиппов И.Г., Бахрамов Б.М.** Некоторые задачи волновой динамики сплошных сред и вырожденных упругих систем. – Ташкент: ФАН, 1981. - 158 с.

65. **Филиппов И.Г., Чебан В.Г.** Неустановившиеся движения сплошных сжимаемых сред // Кишинев: ШТИНИЦА, 1973. - С.369.

66. **Филиппов И.Г.** К теории дифракции цилиндрических упругих и слабых ударных волн. – ПММ, 1964, Т. 28, вып.2. - С. 264-304.

67. **Филиппов А.Ф.** Некоторые задачи дифракции плоских упругих волн // ПММ, 1956, Т. 20, вып. 6. - С.688-703.

68. **Флорин В.А.** Основы механики грунтов, Т. 1. – Л.: Стройиздат, 1959. – 356 с.

69. **Френкель Я.И.** К теории сейсмических и сейсмоэлектрических явлений во влажной почве // Изв. АН СССР, сер. геогр. и геоф. – 1944. -С. 133-150.
70. **Цвинкер К., Костен К.** Звукопоглощающие материалы. - М.: Изд-во иностр. лит., 1952. - 160 с.
71. **Чебан В.Г.** Динамическая задача о нормальном ударе четверти упругого полупространства о неподвижную преграду. - Изв. АН Молд. ССР, сер. физ.-техн. и мат. наук, 1971. - С.19-28.
72. **Шехтер О.Я.** Распространение сферических волн в водонасыщенных грунтах // Вибрация оснований и фундаментов. Сб. НИИ Оснований, 1953, №22. - С. 47-78.
73. **Эйслер Л.А.** К вопросу о построении системы уравнений движения водонасыщенного несвязанного грунта как многокомпонентной среды. - Изв. ВНИИГ, 1968. - С. 236-245.
74. **Aramaki Gunji, Yasuhara Kazuya.** Application of the boundary element method for axisymmetric Biot's consolidation // Eng. Anal., 1985, № 4. - P. 184-191.
75. **Berryman James G., Thigpen Lewis, Chin Raymond C. Y.** Bulk elastic wave propagation in partially saturated porous solids // J. Acoust. Soc. Amer. - 1988, V. 84, №1. - P. 360-373.
76. **Biot M.A.** Theory of propagation of elastic waves if fluid–saturated porous solid. I. Low frequency range. // J. of the Acoust. Soc. of Amer., 1956, V. 28, № 2. - P.168-178.

77. **Biot M.A.** Theory of propagation of elastic waves in fluid-saturated porous solid. II. Higher frequency range. // J. of the Acoust. Soc. of Amer., 1956, V. 28, № 2. - P.179-191.
78. **Choch S. Ch.** Diffraction of compressional wave by rigid quarter-space // Gerlands Beitrage zur Geophysik, 1968, V. 77, № 4. - P. 353-362.
79. **Diebels S., Ehlers W.** Dynamik poroser Medien // Z. angew. Math. und Mech. – 1995, V. 75, Suppl. V. 1. - P. 151-152.
80. **Dziencielsk R.** Propagation of acceleration waves in a nonlinear porous medium // Теор. и прикл. мех., 5 Нац. конгр., Варна, 23-29 сент., 1985. Докл., кн. 2. - София, 1985. - С. 586-591.
81. **Dravinski M., Thau S.A.** Multiple diffraction of elastic waves by rigid rectangular foundation: plane-strain model // ASME, J. of Appl. Mech., Ser. E, 1976, V. 3, № 2. - P. 291-294.
82. **Gajo A., Mongiovi L.** An analytical solution for the transient response of saturated linear elastic porous media // Int. J. Numer. and Anal. Meth. Geomech., 1995, V. 19, № 6. - С. 399-433.
83. **Kumar R., Miglani A., Garg N. R.** Axisymmetric deformation of an isotropic elastic liquid-saturated porous medium using an eigenvalue approach // Int. J. Appl. Mech. and Eng., 2007, V. 12, № 4. - P. 1009-1025.
84. **Kumar R., Miglani Aseem, Garg N.R.** Plain strain problem of poroelasticity using eigenvalue approach // Proc. Indian Acad. Sci. Earth and Planet. Sci., 2000, V. 109, № 3. - P.371-380.

85. **Kraut E.A.** Diffraction of elastic waves by a rigid 90 wedge. Pt. I // Bulletin of the Seismologic. Soc. of Amer., 1968, V. 58, № 3. - P.1083-1096.
86. **Quiroga-Goode G., Carcione J. M.** Wave dynamics at an interface between porous media // Bull. geofis. teor. ed appl., 1997, V. 38, № 3. - P. 165-178.
87. **Sarmcu K. S., Thayuddin M.** Jorsional loading of a semi-infinite poroelastic cylinder // Indian J. of Pure and Apple. Math., 1978, V. 9, № 11. - P. 1147-1153.
88. **Van der Kogel H.** Wave phenomena // Comput. and Geotechn., 1987, V. 3, № 1. - P. 21-28.
89. **Yew C.H., Jogi P.N., Cray K.E.** Ettimation of the mechanical properties of fluid-saturated rocks using the measurea wave // Trans. ASME, J. Energe Resour. Technol., 1979, V. 101, № 2. - P.112-116.
90. **Yew C.H., Jogi P.N.** The determination of Biots parameters for sandstones // Exp. Mech., 1978, V. 18, № 5. - P.167-172.
91. **Zhang Wenfei.** A numerical method for wave propagation in viscoelastic stratified porous media // Transp. Porous Media, 2005, V. 61, № 1. - P. 15-24.